

Proračun čelične konstrukcije proizvodne hale

Radić, Natali

Undergraduate thesis / Završni rad

2024

Degree Grantor / Ustanova koja je dodijelila akademski / stručni stupanj:

University of Split, Faculty of Civil Engineering, Architecture and Geodesy / Sveučilište u Splitu, Fakultet građevinarstva, arhitekture i geodezije

Permanent link / Trajna poveznica: <https://um.nsk.hr/um:nbn:hr:123:304349>

Rights / Prava: [In copyright](#)/[Zaštićeno autorskim pravom.](#)

Download date / Datum preuzimanja: **2025-02-07**



Repository / Repozitorij:

[FCEAG Repository - Repository of the Faculty of Civil Engineering, Architecture and Geodesy, University of Split](#)



UNIVERSITY OF SPLIT



SVEUČILIŠTE U SPLITU
FAKULTET GRAĐEVINARSTVA, ARHITEKTURE I GEODEZIJE

ZAVRŠNI RAD

Natali Radić

Split, 2024.

SVEUČILIŠTE U SPLITU
FAKULTET GRAĐEVINARSTVA, ARHITEKTURE I GEODEZIJE

Proračun čelične konstrukcije proizvodne hale

Završni rad

Split, 2024.



SVEUČILIŠTE U SPLITU

FAKULTET GRAĐEVINARSTVA, ARHITEKTURE I GEODEZIJE

Split, Matice hrvatske 15

STUDIJ: **PRIJEDIPLOMSKI SVEUČILIŠNI STUDIJ
GRAĐEVINARSTVO**

KANDIDAT: NATALI RADIĆ

MATIČNI BROJ: 0083228448

KATEDRA: **Katedra za metalne i drvene konstrukcije**

PREDMET: Osnove metalnih konstrukcija

ZADATAK ZA ZAVRŠNI RAD

Tema: Proračun čelične konstrukcije proizvodne hale

Opis zadatka: Prema zadanim podacima potrebno je dimenzionirati čeličnu halu koja se sastoji od glavne nosive konstrukcije, sekundarnih nosača te spregova konstrukcije.

Način izvedbe: montažno

Materijal konstrukcije: S235

Lokacija objekta: Osijek

Razmak okvira: 4,9 (m)

U Splitu, 27.3.2024.

Voditelj Završnog rada: Dr. sc. Ivica Boko



Proračun čelične konstrukcije proizvodne hale

Sažetak:

Za čeličnu halu smještenu na području grada Osijeka, na temelju zadanih podataka i karakteristika tog područja, izvršeno je dimenzioniranje glavnih nosivih konstrukcija, sekundarnih nosača, spregova konstrukcija i spojeva. Proračun se provodio uzimajući u obzir granično stanje nosivosti (GSN) i granično stanje uporabljivosti (GSU). Razmatrana su stalna opterećenja (vlastita težina i dodatna stalna opterećenja) te promjenjiva opterećenja (snijeg i vjetar). Unutarnje sile izračunavaju se pomoću računalnog programa „SCIA Engineer 24.1“.

Ključne riječi: čelik, hala, glavna nosiva konstrukcija, sekundarna konstrukcija, dimenzioniranje, spojevi, granično stanje uporabljivosti, granično stanje nosivosti.

Calculation of a steel manufacturing hall

Abstract:

For a steel hall located in the city of Osijek, based on the given data and the characteristics of the area, the dimensioning of the main load-bearing structure, secondary supports, structural bracing, and connections was executed. The calculations were performed considering the limit states of load-bearing capacity (LSC) and serviceability (LSU). Both constant loads (dead weight and additional permanent loads) and variable loads (snow and wind) were taken into account. Internal forces were calculated using the software program „SCIA Engineer 24.1“.

Keywords: steel, hall, main load-bearing structure, secondary structure, dimensioning, connections, limit state of serviceability, limit state of load-bearing capacity.



Sadržaj

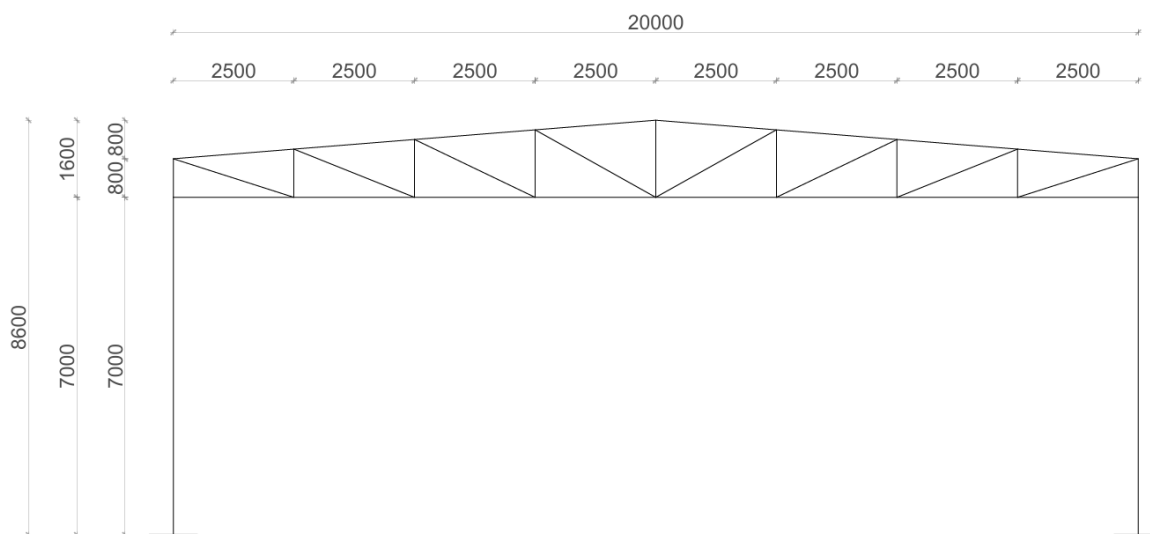
| | |
|---|-----------|
| 1. TEHNIČKI OPIS | 2 |
| 1.1. OPIS KONSTRUKCIJE | 2 |
| 1.1.1. KONSTRUKTIVNI ELEMETNI | 3 |
| 1.1.2. SPOJEVI | 3 |
| 1.2. STATIČKA ANALIZA SUSTAVA | 4 |
| 1.3. MATERIJALI | 4 |
| 1.4. PRIMJENJENI PROPISI | 4 |
| 2. ANALIZA OPTEREĆENJA | 5 |
| 2.1. STALNO OPTEREĆENJE | 5 |
| 2.2. PROMJENJIVO OPTEREĆENJE | 6 |
| 2.2.1. DJELOVANJE SNIJEGA | 6 |
| 2.2.2. OPTEREĆENJE VJETROM | 7 |
| 2.3. REZULTANTNO DJELOVANJE VJETRA | 12 |
| 3. KONTROLA PROGIBA | 17 |
| 3.1. VERTIKALNI PROGIB | 17 |
| 3.2. HORIZONTALNI PROGIB | 18 |
| 4. DIJAGRAMI REZIH SILA ZA KOMBINACIJE DJELOVANJA (GSN) | 19 |
| 4.1. GLAVNA NOSIVA KONSTRUKCIJA | 19 |
| 4.1.1. KOMBINACIJA $1,35 * (G_0 + G_1) + 0,9 W_{\text{Pritiskajući}} + 1,5 S$ | 19 |
| 4.1.2. KOMBINACIJA $1,35 * (G_0 + G_1) + 1,5 W_{\text{Pritiskajući}} + 0,9 S$ | 20 |
| 4.1.3. KOMBINACIJA $1,0 * (G_0 + G_1) + 1,5 W_{\text{Odižući}}$ | 22 |
| 4.2. SEKUNDARNA KONSTRUKCIJA | 24 |
| 4.2.1. ZABATNI STUPOVI | 24 |
| 4.2.2. KROVNI (HORIZONTALNI) SPREGOVI | 27 |
| 4.2.3. BOČNI (VERTIKALNI) SPREGOVI | 28 |
| 4.2.4. KROVNA PODROŽNICA | 29 |
| 4.2.5. BOČNA PODROŽNICA | 31 |
| 5. DIMENZIONIRANJE ELEMENATA KONSTRUKCIJE PREMA GRANIČNOM STANJU NOSIVOSTI | 32 |
| 5.1. GLAVNA NOSIVA KONSTRUKCIJA | 32 |
| 5.1.1. GORNJI POJAS REŠETKE (GP – POZICIJA 4 - 5) | 32 |
| 5.1.2. DONJI POJAS REŠETKE (DP – POZICIJA 2 - 3) | 33 |
| 5.1.3. DIJAGONALE REŠETKE (D – POZICIJA 12 - 15) | 35 |
| 5.1.4. VERTIKALE REŠETKE (V – POZICIJA 6 - 10) | 36 |
| 5.1.5. STUPOVI OKVIRA (S – POZICIJA 1) | 38 |
| 5.2. SEKUNDARNA KONSTRUKCIJA | 41 |
| 5.2.1. ZABATNI STUPOVI (ZS – POZICIJA 21 - 22) | 41 |
| 5.2.2. KROVNI SPREGOVI (SKD – POZICIJA 18) | 43 |
| 5.2.3. BOČNI (HORIZONTALNI) SPREGOVI (SB – POZICIJA 19 - 20) | 43 |
| 5.2.4. SPREG KROVNIH VERTIKALA (SKV – POZICIJA 11) | 44 |
| 5.2.5. KROVNE PODROŽNICE (KP – POZICIJA 16) | 45 |
| 5.2.6. BOČNE PODROŽNICE (BP – POZICIJA 17) | 47 |
| 6. DIMENZIONIRANJE SPOJEVA ELEMENATA KONSTRUKCIJE | 50 |
| 6.1. UPETI SPOJ TEMELJ - STUP (P1 – POZICIJA 23) | 50 |
| 6.2. VLAČNI NASTAVAK REŠETKE (P3 – POZICIJA 25) | 58 |
| 6.3. NASTAVAK GORNJEG POJASA (P5 – POZICIJA 27) | 60 |
| 6.4. SPOJ STUP REŠETKA (P2 – POZICIJA 24) | 61 |
| 6.5. SPOJ KROVNA PODROŽNICA - GORNJI POJAS (P4 – POZICIJA 26) | 63 |
| 7. LITERATURA | 64 |
| 8. NACRTI | 65 |



1. TEHNIČKI OPIS

1.1. OPIS KONSTRUKCIJE

Građevinski objekt tlocrtnih dimenzija 20,0 x 49,0 (m) i ukupne visine 8,6 (m) nalazi se u gradu Osijeku. Krovna ploha je u odnosu na horizontalnu ravninu nagnuta pod kutom $\alpha = 4,57^\circ$, što je ekvivalentno nagibu od 8%. Glavni nosivi sustav hale je zamišljen kao sustav 11 ravninskih rešetki raspona 20 (m), stabilnih u svojoj ravnini, na međusobnom razmaku od 4,9 (m). Objekt je izveden od materijala čelika kvalitete S235.



Prikaz poprečnog presjeka glavnog nosača

Na gornji pojas rešetke oslanjaju se sekundarni krovni nosači koje nazivamo krovne podrožnice te se nalaze na međusobnom osnom razmaku od 2,5 (m). Na stupove okvira se oslanjaju sekundarni bočni nosači na međusobnom osnom razmaku od 2,33 (m).

Stabilizacija hale u smjeru okomitom na glavni nosivi sustav ostvarena je spregovima u krovnim i bočnim ravninama i to u krajnjim poljima (prvom i posljednjem). Stupovi i grede su nosači međusobno spojeni upetim vezama zbog uvjeta uporabljivosti same hale. Spoj stupa i temelja ostvaren je zglobnom vezom.



1.1.1. KONSTRUKTIVNI ELEMETNI

GLAVNA REŠETKA

Glavne rešetke su dimenzionirane tako da prihvate utjecaj vlastite težine čitave konstrukcije i opterećenja od snijega i vjetrova. Profili gornjeg pojasa su kvadratnog šupljeg poprečnog presjeka CFRHS 120×120×6 (mm), a donjeg pojasa CFRHS 90×90×5 (mm) spojeni u čvorovima. Profili vertikala su kvadratnog šupljeg presjeka SHS 70×70×5 (mm), dok su profili dijagonala također kvadratnog šupljeg presjeka SHS 40×40×4 (mm). Sami elementi geometrije prikazani su na generalnom planu pozicija.

STUPOVI

Proračunom su odabrani stupovi valjanih I profila HE200A ukupne dužine 7,0 (m).

SEKUNDARNI KROVNI NOSAČI

Proračunom su odabrani sekundarni krovni nosači (podrožnice) valjanih I profila IPE 200.

SEKUNDARNI BOČNI NOSAČI

Proračunom su odabrani sekundarni bočni nosači (podrožnice) valjanih I profila IPE 140.

SPREGOVI

Za dijagonale krovnog i bočnog sprega su odabrani okrugli puni profili promjera 12 (mm).

1.1.2. SPOJEVI

SPOJ STUP-TEMELJ

Spoj se izvodi podložnom pločom dimenzija 400/240/35 (mm) navarenom na kraj stupa i pričvršćenom vijcima M22 k.v. 5.6., te sidrenima u armirano-betonski temelj. Između podložne ploče i armirano-betonskog temelja podlijeva se ekspandirajući mort.

SPOJ VLAČNOG NASTAVKA REŠETKE (NASTAVAK DONJEG POJASA)

Vlačni nastavak rešetke ostvaruje se s dvije pločice dimenzija 265/265/25 (mm) i vijcima M22 k.v. 5.6.

NASTAVAK GORNJEG POJASA

Nastavak gornjeg pojasa ostvaruje se s dvije pločice dimenzija 280/280/25 (mm) i vijcima M22 k.v. 5.6.

ZGLOBNI SPOJ STUP-REŠETKA

Spoj stup-rešetka ostvaruje se s dvije pločice dimenzija 240/240/10 (mm) i vijcima M22 k.v. 5.6.

KROVNA PODROŽNICA-GORNJI POJAS

Spoj krovna podrožnica-gornji pojas ostvaruje se navarivanjem pločice dimenzije 240/100/10 (mm) i vijcima M22 k.v. 5.6.



1.2. STATIČKA ANALIZA SUSTAVA

Proračun je izvršen prema EC 1.

Konstrukcija je izložena djelovanju sljedećih opterećenja: vlastita težina, vjetar i snijeg. Čelična hala se nalazi na području Osijeka, do 100 m nadmorske visine. Odgovarajući koeficijenti za vjetar i snijeg uzeti su prema karakteristikama grada Osijeka iz propisanih tablica.

Za statički proračun upotrijebljena je kombinacija s najvećim utjecajem, dakle vlastita težina konstrukcije + djelovanje snijega + djelovanje vjetra. Proračun reznih sila je pomoću računalnog programa Scia Engineer 24, na način da vertikale i dijagonale prenose samo uzdužnu silu. (FEM type-Axial force only).

Cilj ovog proračuna je prostorna stabilizacija konstrukcije.

1.3. MATERIJALI

Svi elementi konstrukcije (glavni nosivi okvir i spojne ploče) izrađeni su od građevinskog čelika S235.

$$\begin{aligned}f_y &= 235 \text{ N/mm}^2 \\E &= 210000 \text{ N/mm}^2 \\G &= 81000 \text{ N/mm}^2 \\ \rho &= 7850 \text{ kg/m}^3\end{aligned}$$

1.4. PRIMJENJENI PROPISI

Proračun čelične konstrukcije hale proveden je prema sljedećim propisima:

Analiza opterećenja

| | |
|----------------------|---|
| HRN EN 1991-1-1:2012 | EC1: Opća djelovanja – Dio 1-1: Obujamske težine, vlastite težine i uporabna opterećenja zgrada |
| HRN EN 1991-1-3:2012 | EC1: Opća djelovanja – Dio 1-3: Opterećenja snijegom |
| HRN EN 1991-1-4:2012 | EC1: Opća djelovanja – Dio 1-4: Djelovanja vjetra |

Dimenzioniranje

| | |
|----------------------|--|
| HRN EN 1993-1-1:2014 | EC3: Projektiranje čeličnih konstrukcija – Dio 1-1: Opća pravila i pravila za zgrade |
|----------------------|--|



2. ANALIZA OPTEREĆENJA

2.1. STALNO OPTEREĆENJE

- vlastita težina automatski je uključena u računalni program (SCIA 24)

- Sendvič paneli 0,2 kN/m²

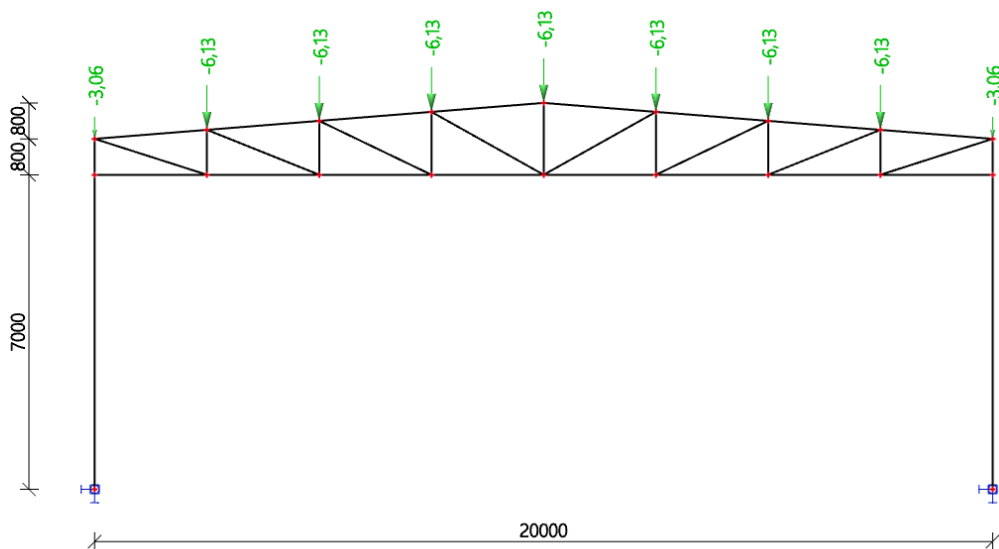
- Sekundarna konstrukcija i spregovi 0,2 kN/m²

- Instalacija 0,1 kN/m²

$$\Sigma = 0,5 \text{ kN/m}^2$$

$$\Sigma g_{\text{slojevi}} = 0,50 \text{ kN/m}^2$$

$$G_k = 0,50 \text{ kN/m}^2 \cdot 4,9 \text{ m} \cdot 2,5 \text{ m} = 6,13 \text{ kN}$$





2.2. PROMJENJIVO OPTEREĆENJE

2.2.1. DJELOVANJE SNIJEGA

| Nadmorska visina do [m] | 1. područje – priobalje i otoci [kN/m ²] | 2. područje – zaleđe Dalmacije, Primorja i Istre [kN/m ²] | 3. područje – kontinentalna Hrvatska [kN/m ²] | 4. područje – gorska Hrvatska [kN/m ²] |
|-------------------------|--|---|---|--|
| 100 | 0,50 | 0,75 | 1,00 | 1,25 |

Karakteristične vrijednosti opterećenja snijegom za pojedina područja i nadmorske visine

Opterećenje snijegom na krovu (po tlocrtnoj površini krova) određuje se po formuli:

$$s = s_k \cdot \mu_i \cdot c_e \cdot c_t \text{ [kN/m}^2\text{]}$$

$s_k \Rightarrow$ karakteristična vrijednost opterećenja na tlu u kN/m²

$s_k = 1,00 \text{ kN/m}^2 \Rightarrow$ za Osijek, do 100 m nadmorske visine

$\mu_i \Rightarrow$ koeficijent oblika za opterećenje snijegom, očitava se ovisno o obliku i nagibu krova

$0^\circ < \alpha = 4,57^\circ \leq 30^\circ \Rightarrow \mu_i = 0,8$

$c_e \Rightarrow$ koeficijent izloženosti

$c_e = 1,0$

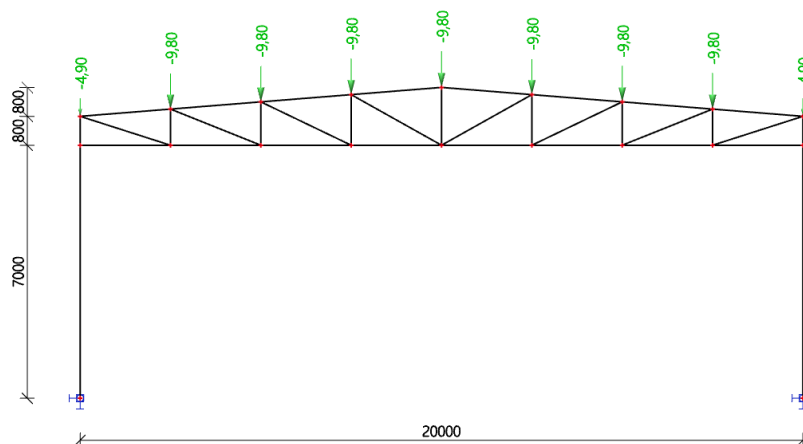
$c_t \Rightarrow$ toplinski koeficijent

$c_t = 1,0$

Opterećenje snijegom preko cijele krovne površine:

$$s = 1,0 \cdot 0,8 \cdot 1,0 \cdot 1,0 = 0,8 \text{ (kN/m}^2\text{)}$$

$$S = 0,80 \text{ (kN/m}^2\text{)} \cdot 4,9 \text{ m} \cdot 2,5 \text{ m} = 9,8 \text{ kN}$$





2.2.2. OPTEREĆENJE VJETROM

Materijal izrade: S235

Lokacija objekta: Osijek

Kategorija terena II

$$H_{uk} = 7,0 + 1,6 = 8,6 \text{ m}$$

Opterećenje vjetrom djeluje okomito na površinu.

$$w_e = q_p(z_e) \cdot c_{pe} \text{ [kN/m}^2\text{]} - \text{ pritisak vjetra na vanjske površine}$$

$$w_i = q_p(z) \cdot c_{pi} \text{ [kN/m}^2\text{]} - \text{ pritisak vjetra na unutarnje površine}$$

$$q_p = C_e(z) \cdot q_b$$

$C_e(z)$ => faktor izloženosti (ovisi o visini iznad terena (z) i kategoriji terena)

Određivanje pritiska vjetra q_b uslijed osnovne brzine vjetra v_b :

$$q_b = \frac{1}{2} \cdot \rho_z \cdot v_b^2$$

q_b = referentni pritisak osnovne brzine vjetra

ρ_z => gustoća zraka, $\rho = 1,25 \text{ kg/m}^3$

v_b - osnovna brzina vjetra

C_{DIR} - koeficijent smjera vjetra (obično se uzima vrijednost 1,0)

C_{SEASON} - koeficijent ovisan o godišnjem dobu (obično se uzima vrijednost 1,0)

$v_{B;0} = 20 \text{ m/s}$ → očitano s vjetrovne karte za grad Osijek

$$C_{DIR} = 1,0$$

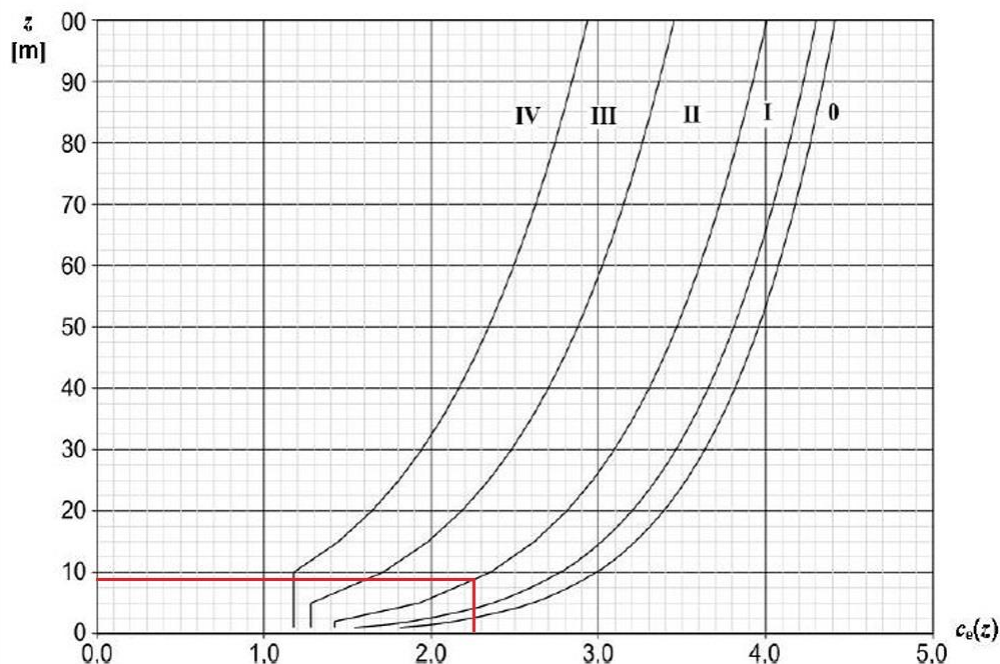
$$C_{SEASON} = 1,0$$

$$v_b = C_{DIR} \cdot C_{SEASON} \cdot v_{B;0} = 1,0 \cdot 1,0 \cdot 20 = 20 \text{ m/s}$$

$$q_b = \frac{1}{2} \cdot 1,25 \cdot 20^2$$

$$q_b = 0,25 \text{ (kN/m}^2\text{)}$$

Određivanje pritiska brzine vjetra pri udaru:



Grafički prikaz faktora izloženosti $C_e(z)$ za $C_0=1,0$ i $k_t=1,0$

$$q_P(z) = C_e(z) \cdot q_b$$

$$C_e(z) = 2,25 \text{ (očitano za kategoriju terena II) (z = 8,6 m)}$$

$$q_b = 0,25 \text{ (kN/m}^2\text{)}$$

$$q_P(z) = 2,25 \cdot 0,25 = 0,563 \text{ (kN/m}^2\text{)}$$

Određivanje koeficijenata vanjskog pritiska:

Za dvostrešne krovove koeficijenti vanjskog pritiska određuju se na način da krovnu površinu podijelimo na zone, dok se referentna visina (z_e) uzima kao ukupna visina građevine. Koeficijenti tlaka za svako područje ovise o veličini površine opterećene zone građevine. Za krovna područja (dvostrešni ravni krov), krov s vrijednosti kuta nagiba $-5^\circ < \alpha < 5^\circ$ se klasificira kao ravni krov.

Određivanje pritiska na halu za vertikalne zidove:

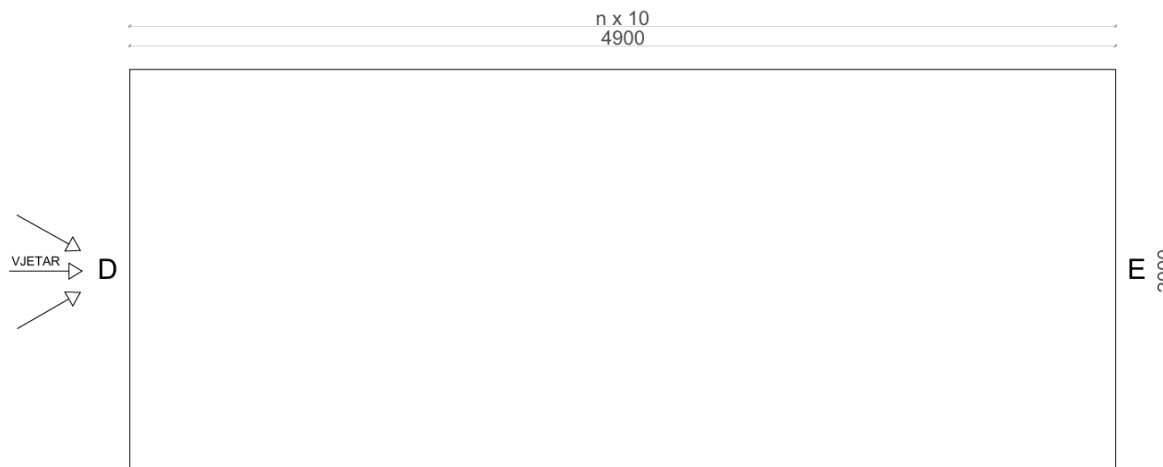
$$e = \min \{b, 2h\} = \min \{49 \text{ m}, 2 \cdot 8,6 \text{ m}\} = \min \{49 \text{ m}, 17,2 \text{ m}\} = 17,2 \text{ m}$$

$$d = 20 \text{ m}$$

Odabiremo manju vrijednost ($e < d$) $\rightarrow e = 17,2 \text{ m}$



Prikaz područja vjetra za vertikalne zidove:



$$h/d = 8,6/20 = 0,43$$

| Područje | A | | B | | C | | D | | E | |
|-----------------|-------------|------------|-------------|------------|-------------|------------|-------------|------------|-------------|------------|
| | $c_{pe,10}$ | $c_{pe,1}$ |
| $h/d \geq 5$ | -1,4 | -1,7 | -0,8 | -1,1 | -0,5 | -0,7 | +0,8 | +1,0 | -0,5 | -0,7 |
| 1 | -1,2 | -1,4 | -0,8 | -1,1 | -0,5 | | +0,8 | +1,0 | -0,5 | |
| $h/d \leq 0,25$ | -1,2 | -1,4 | -0,8 | -1,1 | -0,5 | | +0,7 | +1,0 | -0,3 | -0,5 |

NAPOMENA: Za pojedinačne zgrade na otvorenome terenu u područjima u zavjetrini mogu nastupiti i veće sile.
 Međuvrijednosti se smiju linearno interpolirati.
 Za zgrade čiji je omjer $h/d > 5$, ukupno opterećenje vjetrom smije se temeljiti na odredbama iz točaka od 7.6 do 7.8 i 7.9.2.

Vrijednosti koeficijenata vanjskog pritiska za vertikalne zidove

zona D

| H/d | $C_{pe,10}$ |
|-------------|-------------|
| 1 | +0,8 |
| $\leq 0,25$ | +0,7 |

$C_{pe,10} = + 0,72$

zona E

| H/d | $C_{pe,10}$ |
|-------------|-------------|
| 1 | -0,5 |
| $\leq 0,25$ | -0,3 |

$C_{pe,10} = - 0,35$

$$w_e = q_p \cdot c_{pe} \text{ [kN/m}^2\text{]}$$

$$q_p = 0,563 \text{ kN/m}^2$$



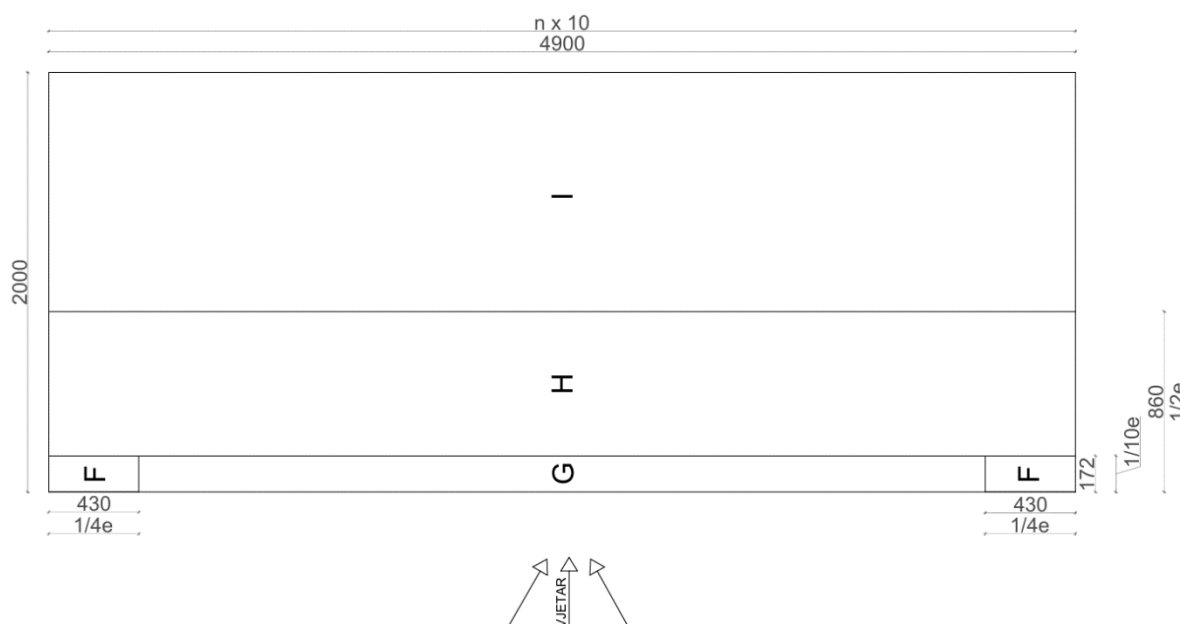
| PODRUČJE | D | E |
|-----------------------------|--------|--------|
| $C_{pe,10}$ | +0.72 | -0.35 |
| W_e [kN/m ²] | +0.405 | -0.197 |

Određivanje pritiska na halu za krovno područje (dvostrešni ravni krov):

$$e = \min \{b, 2h\} = \min \{49 \text{ m}, 2 \cdot 8,6 \text{ m}\} = \min \{49 \text{ m}, 17,2 \text{ m}\} = 17,2 \text{ m}$$

$$d = 20 \text{ m}$$

Odabiremo manju vrijednost ($e < d$) $\rightarrow e = 17,2 \text{ m}$



$$h/d = 8,6/20 = 0,43$$

| Vrsta krova | Područje | | | | | | | |
|--------------|-------------|------------|-------------|------------|-------------|------------|-------------|------------|
| | F | | G | | H | | I | |
| | $c_{pe,10}$ | $c_{pe,1}$ | $c_{pe,10}$ | $c_{pe,1}$ | $c_{pe,10}$ | $c_{pe,1}$ | $c_{pe,10}$ | $c_{pe,1}$ |
| Oštri zabati | -1,8 | -2,5 | -1,2 | -2,0 | -0,7 | -1,2 | +0,2 | -0,2 |

Preporučene vrijednosti koeficijenata vanjskog tlaka za ravne krovove

zona F $C_{pe,10} = -1,8$

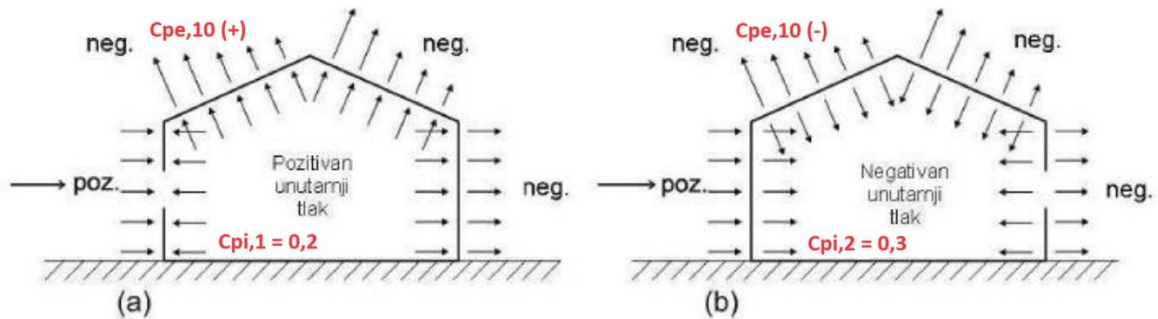
zona G $C_{pe,10} = -1,2$

zona H $C_{pe,10} = -0,7$

zona I $C_{pe,10} = \pm 0,2$

Određivanje koeficijenata unutarnjeg tlaka:

Tamo gdje za neki određeni slučaj nije moguća procjena vrijednosti koeficijenta μ ili ju se smatra neopravdanom, za c_{pi} treba odabrati nepovoljniju vrijednost između + 0,2 i - 0,3.



Tlak na zidove i krovne plohe

$$C_{pi,1} = + 0.2 \text{ (odizanje)}$$

$$C_{pi,2} = - 0.3 \text{ (pritisak)}$$



2.3. REZULTANTNO DJELOVANJE VJETRA

(Dobije se kombinacijom vanjskog i unutarnjeg učinka vjetra)

1. Pozitivan vanjski tlak - Pozitivan unutarnji tlak

$$w = w_e + w_i \rightarrow w = q_p * |C_{pe} + C_{pi}| \text{ [kN/m}^2\text{]}$$

$$q_p(z) = 0,563 \text{ kN/m}^2$$

| ZONA | C _{pe} | C _{pi} | q _p (z)* C _{pe} + C _{pi} | PREDZNAK | w [kN/m ²] |
|------|-----------------|-----------------|---|----------|-------------------------|
| D | +0,72 | +0,2 | 0,563 (0,72 + 0,2) | + | 0,293 |
| E | -0,35 | +0,2 | 0,563 (0,35 + 0,2) | - | 0,310 |
| F | -1,8 | +0,2 | 0,563 (1,8 + 0,2) | - | 1,126 |
| G | -1,2 | +0,2 | 0,563 (1,2 + 0,2) | - | 0,788 |
| H | -0,7 | +0,2 | 0,563 (0,7 + 0,2) | - | 0,507 |
| I | +0,2 | +0,2 | 0,563 (0,2 + 0,2) | 0 | 0 |

2. Pozitivan vanjski tlak - Negativni unutarnji tlak

$$w = w_e + w_i \rightarrow w = q_p * |C_{pe} - C_{pi}| \text{ [kN/m}^2\text{]}$$

$$q_p(z) = 0,563 \text{ kN/m}^2$$

| ZONE | C _{pe} | C _{pi} | q _p (z) * C _{pe} - C _{pi} | PREDZNAK | w [kN/m ²] |
|------|-----------------|-----------------|---|----------|-------------------------|
| D | +0,72 | -0,3 | 0,563 (0,72 + 0,3) | + | 0,574 |
| E | -0,35 | -0,3 | 0,563 (0,35 - 0,3) | - | 0,028 |
| F | -1,8 | -0,3 | 0,563 (1,8 - 0,3) | - | 0,845 |
| G | -1,2 | -0,3 | 0,563 (1,2 - 0,3) | - | 0,507 |
| H | -0,7 | -0,3 | 0,563 (0,7 - 0,3) | - | 0,225 |
| I | +0,2 | -0,3 | 0,563 (0,2 + 0,3) | + | 0,282 |



3. Negativan vanjski tlak - Pozitivan unutarnji tlak

$$w = w_e + w_i \rightarrow w = q_p * |C_{pe} + C_{pi}| \text{ [kN/m}^2\text{]}$$

$$q_p(z) = 0,563 \text{ kN/m}^2$$

| ZONA | C _{pe} | C _{pi} | q _p (z)* C _{pe} + C _{pi} | PREDZNAK | w [kN/m ²] |
|------|-----------------|-----------------|---|----------|------------------------|
| D | +0,72 | +0,2 | 0,563 (0,72 + 0,2) | + | 0,293 |
| E | -0,35 | +0,2 | 0,563 (0,35 + 0,2) | - | 0,310 |
| F | -1,8 | +0,2 | 0,563 (1,8 + 0,2) | - | 1,126 |
| G | -1,2 | +0,2 | 0,563 (1,2 + 0,2) | - | 0,788 |
| H | -0,7 | +0,2 | 0,563 (0,7 + 0,2) | - | 0,507 |
| I | -0,2 | +0,2 | 0,563 (0,2 + 0,2) | - | 0,225 |

4. Negativan vanjski tlak - Negativan unutarnji tlak

$$w = w_e + w_i \rightarrow w = q_p * |C_{pe} + C_{pi}| \text{ [kN/m}^2\text{]}$$

$$q_p(z) = 0,563 \text{ kN/m}^2$$

| ZONE | C _{pe} | C _{pi} | q _p (z) * C _{pe} + C _{pi} | PREDZNAK | w [kN/m ²] |
|------|-----------------|-----------------|---|----------|------------------------|
| D | +0,72 | -0,3 | 0,563 (0,72 + 0,3) | + | 0,574 |
| E | -0,35 | -0,3 | 0,563 (0,35 - 0,3) | - | 0,028 |
| F | -1,8 | -0,3 | 0,563 (1,8 - 0,3) | - | 0,845 |
| G | -1,2 | -0,3 | 0,563 (1,2 - 0,3) | - | 0,507 |
| H | -0,7 | -0,3 | 0,563 (0,7 - 0,3) | - | 0,225 |
| I | -0,2 | -0,3 | 0,563 (0,2 - 0,3) | + | 0,056 |

KOMBINACIJE DJELOVANJA VJETRA: Zabatno pročelje

Negativan vanjski tlak - Pozitivan unutarnji tlak (maksimalno razvlačenje zabatnog pročelja)

$$w = w_e + w_i \rightarrow w = q_p * |C_{pe} + C_{pi}| \text{ [kN/m}^2\text{]}$$

$$q_p(z) = 0,563 \text{ kN/m}^2$$

| ZONE | C _{pe} | C _{pi} | q _p (z) * C _{pe} + C _{pi} | " " | w [kN/m ²] |
|------|-----------------|-----------------|---|-----|------------------------|
| A | -1,2 | +0,2 | 0,563 (1,2 + 0,2) | - | 0,79 |
| B | -0,8 | +0,2 | 0,563 (0,8 + 0,2) | - | 0,56 |
| C | -0,5 | +0,2 | 0,563 (0,5 + 0,2) | - | 0,39 |



Negativan vanjski tlak - Negativan unutarnji tlak

$$w = w_e + w_i \rightarrow w = q_p * |C_{pe} + C_{pi}| \text{ [kN/m}^2\text{]}$$

$$q_p(z) = 0,563 \text{ kN/m}^2$$

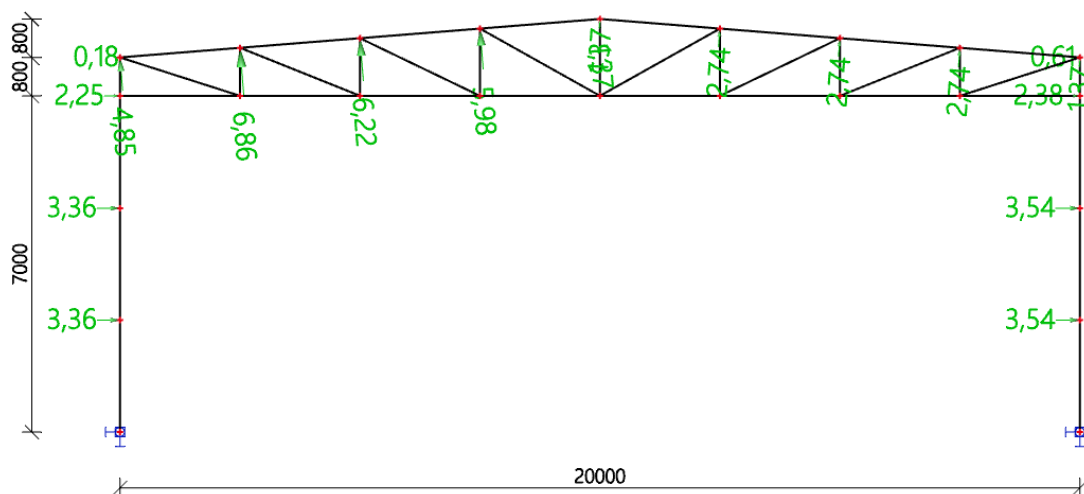
| ZONE | C _{pe} | C _{pi} | $q_p(z) * C_{pe} + C_{pi} $ | " " | w [kN/m ²] |
|------|-----------------|-----------------|------------------------------|-----|------------------------|
| A | -1,2 | -0,3 | 0,563 (1,2 - 0,3) | - | 0,51 |
| B | -0,8 | -0,3 | 0,563 (0,8 - 0,3) | - | 0,28 |
| C | -0,5 | -0,3 | 0,563 (0,5 - 0,3) | - | 0,11 |

KOMBINACIJA 1 - Maksimalno odizanje rešetke

(negativan vanjski tlak – pozitivan unutarnji tlak)

| REŠETKA | | | | | |
|---------|---------------------------|----------------------------|------------------|----------------------|---------------|
| ČVOR | OPTEREĆENJE | OSNI RAZMAK STUPOVA (m) | IZNOS (kN/m') | RAZMAK OKVIRA (m) | IZNOS (kN) |
| 1 | $0,5 * W_G * 2,5$ | 2,50 | 0,99 | 4,90 | 4,85 |
| 2 | $0,46 * W_G + 2,04 * W_H$ | 2,50 | 1,40 | 4,90 | 6,86 |
| 3 | $W_H * 2,5$ | 2,50 | 1,27 | 4,90 | 6,22 |
| 4 | $2,34 * W_H + 0,16 * W_i$ | 2,50 | 1,22 | 4,90 | 5,98 |
| 5 | $0,5 * W_i * 2,5$ | 2,50 | 0,28 | 4,90 | 1,37 |
| 6 | $0,5 * W_i * 2,5$ | 2,50 | 0,28 | 4,90 | 1,37 |
| 7 | $W_i * 2,5$ | 2,50 | 0,56 | 4,90 | 2,74 |
| 8 | $W_i * 2,5$ | 2,50 | 0,56 | 4,90 | 2,74 |
| 9 | $W_i * 2,5$ | 2,50 | 0,56 | 4,90 | 2,74 |
| 10 | $0,5 * W_i * 2,5$ | 2,50 | 0,28 | 4,90 | 1,37 |

| STUPOVI | | | | | |
|---------|--------------------|-----------------------------|-----------------------------|--------------------------------|------------------------------|
| ČVOR | (1) OPTEREĆENJE | (2) RAZMAK OKVIRA (m) | (1)*(2) IZNOS (kN/m') | (3) UTJECAJNA VISINA (m) | (1)*(2)*(3) IZNOS (kN) |
| 1 | $W_D = 0,293$ | 4,90 | 1,44 | 2,33 | +3,36 |
| 2 | W_D | 4,90 | 1,44 | 2,33 | +3,36 |
| 3 | W_D | 4,90 | 1,44 | $0,5 * 2,33 + 0,5 * 0,8$ | +2,25 |
| 4 | W_D | 4,90 | 1,44 | $0,5 * 0,8$ | +0,18 |
| 5 | $W_E = 0,310$ | 4,90 | 1,52 | 2,33 | -3,54 |
| 6 | W_E | 4,90 | 1,52 | 2,33 | -3,54 |
| 7 | W_E | 4,90 | 1,52 | $0,5 * 2,33 + 0,5 * 0,8$ | -2,38 |
| 8 | W_E | 4,90 | 1,52 | $0,5 * 0,8$ | -0,61 |

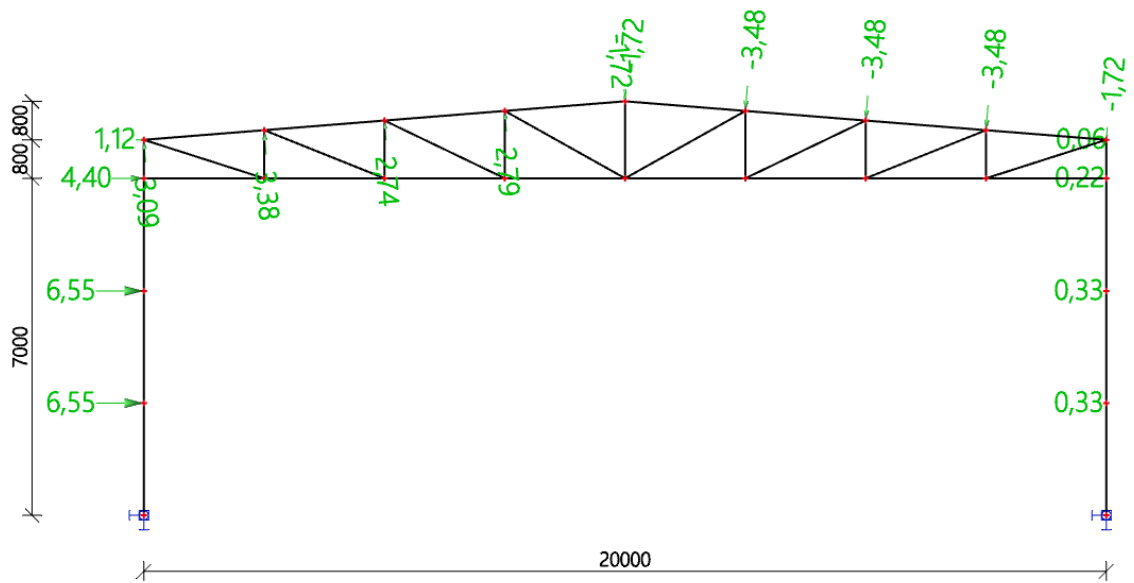


KOMBINACIJA 2 - Maksimalni pritisak rešetke

(pozitivan vanjski tlak – negativni unutarnji tlak)

| REŠETKA | | | | | |
|---------|-----------------------------------|-------------------------|---------------|-------------------|------------|
| ČVOR | OPTEREĆENJE | OSNI RAZMAK STUPOVA (m) | IZNOS (kN/m') | RAZMAK OKVIRA (m) | IZNOS (kN) |
| 1 | $0,5 \cdot W_G \cdot 2,5$ | 2,50 | 0,63 | 4,90 | -3,09 |
| 2 | $0,46 \cdot W_G + 2,04 \cdot W_H$ | 2,50 | 0,69 | 4,90 | -3,38 |
| 3 | $W_H \cdot 2,5$ | 2,50 | 0,56 | 4,90 | -2,74 |
| 4 | $2,34 \cdot W_H + 0,16 \cdot W_i$ | 2,50 | 0,57 | 4,90 | -2,79 |
| 5 | $0,5 \cdot W_i \cdot 2,5$ | 2,50 | 0,35 | 4,90 | 1,72 |
| 6 | $0,5 \cdot W_i \cdot 2,5$ | 2,50 | 0,35 | 4,90 | 1,72 |
| 7 | $W_i \cdot 2,5$ | 2,50 | 0,71 | 4,90 | 3,48 |
| 8 | $W_i \cdot 2,5$ | 2,50 | 0,71 | 4,90 | 3,48 |
| 9 | $W_i \cdot 2,5$ | 2,50 | 0,71 | 4,90 | 3,48 |
| 10 | $0,5 \cdot W_i \cdot 2,5$ | 2,50 | 0,35 | 4,90 | 1,72 |

| STUPOVI | | | | | |
|---------|---------------|-------------------|---------------|----------------------------------|------------|
| ČVOR | OPTEREĆENJE | RAZMAK OKVIRA (m) | IZNOS (kN/m') | UTJECAJNA VISINA (m) | IZNOS (kN) |
| 1 | $W_D = 0,574$ | 4,90 | 2,81 | 2,33 | +6,55 |
| 2 | W_D | 4,90 | 2,81 | 2,33 | +6,55 |
| 3 | W_D | 4,90 | 2,81 | $0,5 \cdot 2,33 + 0,5 \cdot 0,8$ | +4,40 |
| 4 | W_D | 4,90 | 2,81 | $0,5 \cdot 0,8$ | +1,12 |
| 5 | $W_E = 0,028$ | 4,90 | 0,14 | 2,33 | -0,33 |
| 6 | W_E | 4,90 | 0,14 | 2,33 | -0,33 |
| 7 | W_E | 4,90 | 0,14 | $0,5 \cdot 2,33 + 0,5 \cdot 0,8$ | -0,22 |
| 8 | W_E | 4,90 | 0,14 | $0,5 \cdot 0,8$ | -0,06 |



3. KONTROLA PROGIBA

3.1. VERTIKALNI PROGIB

1D deformations

Values: u_z

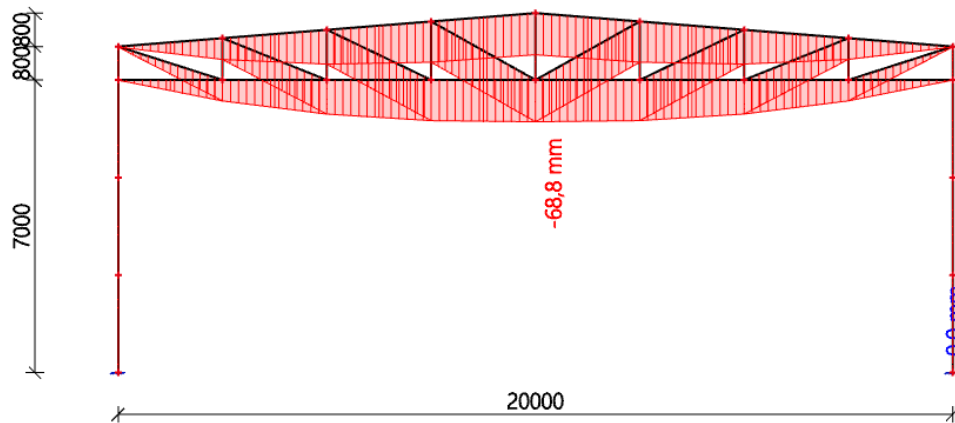
Linear calculation

Combination: GSU1

Coordinate system: Global

Extreme 1D: Global

Selection: All



Vertikalni progib glavnog nosača

Najveći progib krovišta dobivamo za kombinaciju: **1,0G₀+1,0G₁+1,0S**

Dopušteni progib: $L/250 = 20000\text{mm}/250 = 80\text{ mm}$

$$68,8/80 = 0,86 = 86,0\%$$

Najveći progib krovišta zadovoljava u odnosu na dopušteni sa iskoristivosti 86,0%.

3.2. HORIZONTALNI PROGIB

1D deformations

Values: u_x

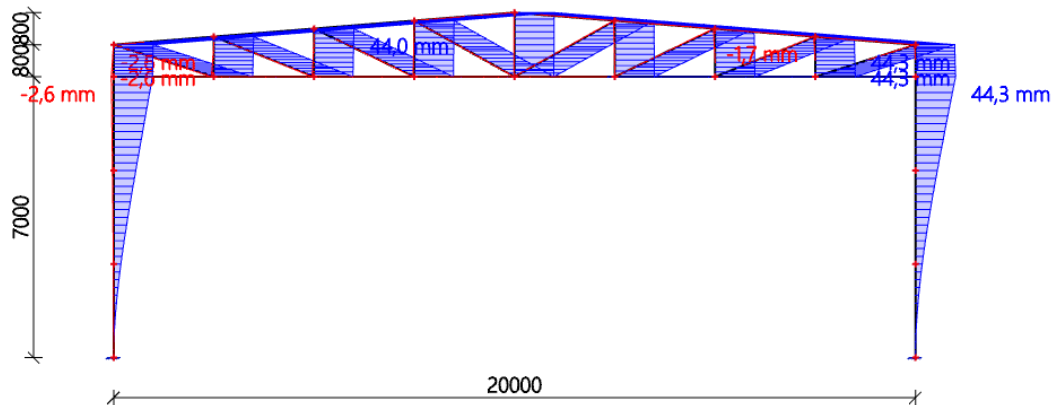
Linear calculation

Combination: GSU2

Coordinate system: Global

Extreme 1D: Cross-section

Selection: All



Horizontalni progib glavnog nosača

Najveći progib krovišta dobivamo za kombinaciju: $1,0G_0 + 1,0G_1 + 1,0W$ (ODIŽUĆI)

Dopušteni progib: $L/150 = 7800\text{mm}/150 = 52\text{mm}$

$$44,3/52 = 0,852 = 85,2\%$$

Najveći progib stupova zadovoljava u odnosu na dopušteni sa iskoristivosti 85,2%

Korišteni profili za GSU:

Stupovi - HEA200

Donji pojas - CFRHS 80 x 80 x 5

Gornji pojas - CFRHS 80 x 80 x 5

Dijagonale - SHS 30 x 30 x 4

Vertikale - SHS 30 x 30 x 4

4. DIJAGRAMI REZIH SILA ZA KOMBINACIJE DJELOVANJA (GSN)

4.1. GLAVNA NOSIVA KONSTRUKCIJA

4.1.1. KOMBINACIJA $1,35 * (G_0 + G_1) + 0,9 W_{\text{Pritiskajući}} + 1,5 S$

1D internal forces

Values: M_y

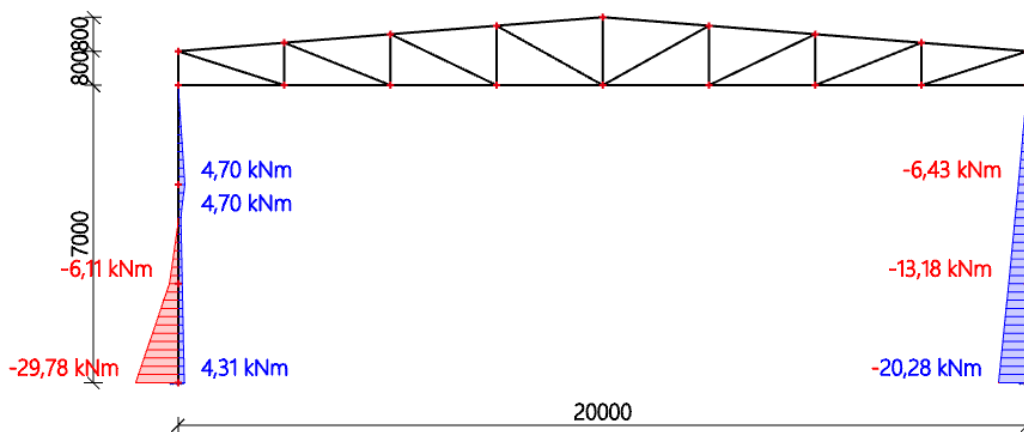
Linear calculation

Combination: GSN1

Coordinate system: Member

Extreme 1D: Member

Selection: All



Momentni dijagram kombinacije 1

1D internal forces

Values: V_z

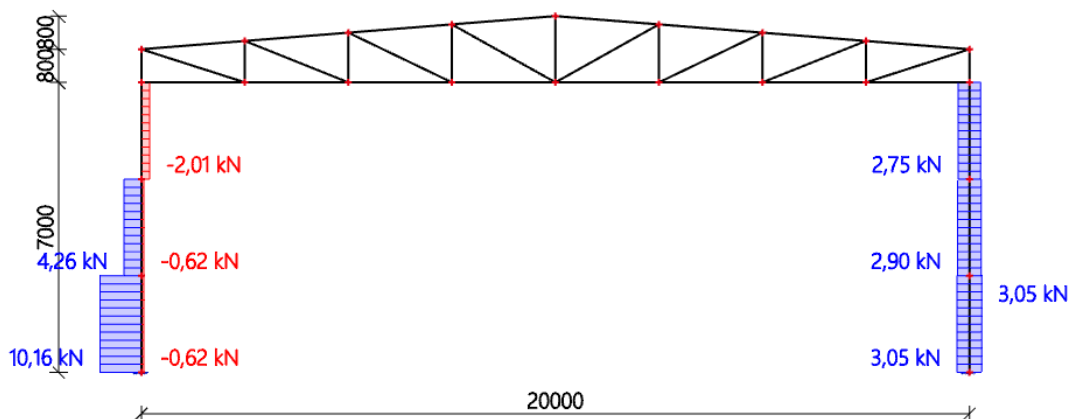
Linear calculation

Combination: GSN1

Coordinate system: Member

Extreme 1D: Member

Selection: All

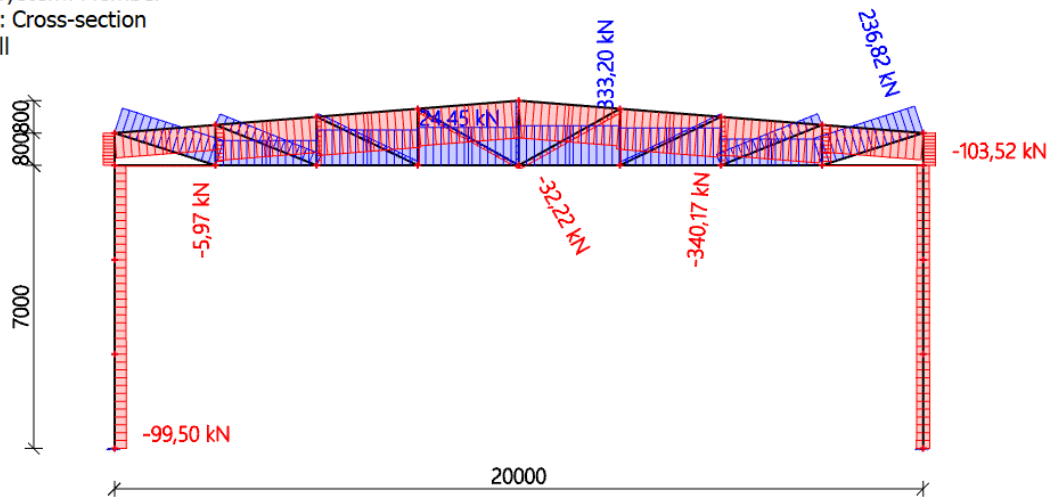


Dijagram poprečnih sila kombinacije 1



1D internal forces

Values: **N**
 Linear calculation
 Combination: GSN1
 Coordinate system: Member
 Extreme 1D: Cross-section
 Selection: All

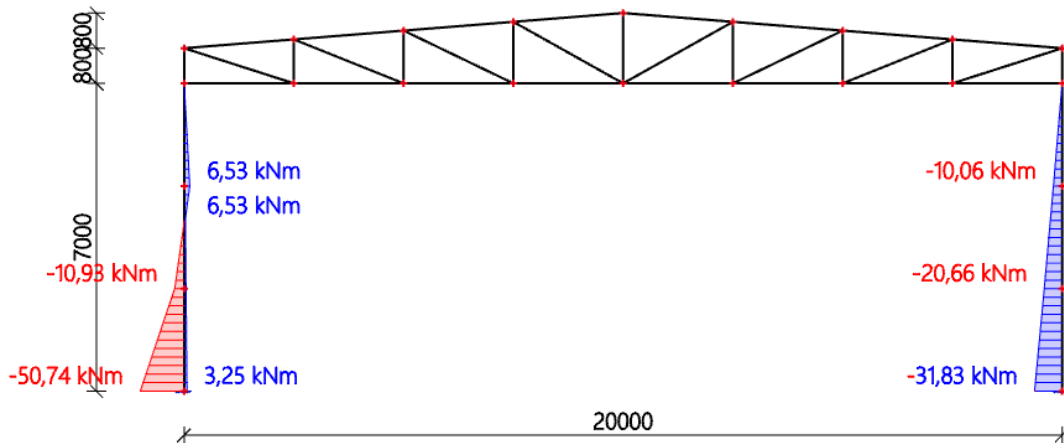


Dijagram uzdužnih sila kombinacije 1

4.1.2. KOMBINACIJA $1,35 * (G_0+G_1) + 1,5 W_{\text{Pritiskajući}} + 0,9 S$

1D internal forces

Values: **M_y**
 Linear calculation
 Combination: GSN2
 Coordinate system: Member
 Extreme 1D: Member
 Selection: All



Momentni dijagram kombinacije 2



1D internal forces

Values: V_z

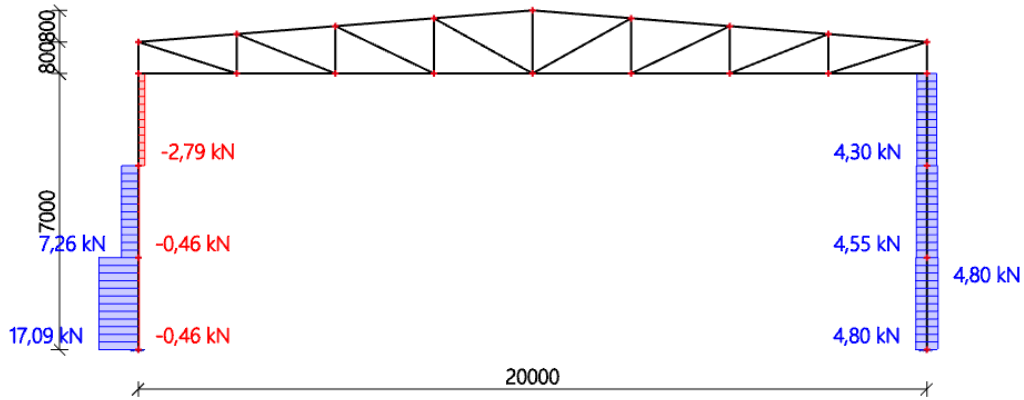
Linear calculation

Combination: GSN2

Coordinate system: Member

Extreme 1D: Member

Selection: All



Dijagram poprečnih sila kombinacije 2

1D internal forces

Values: N

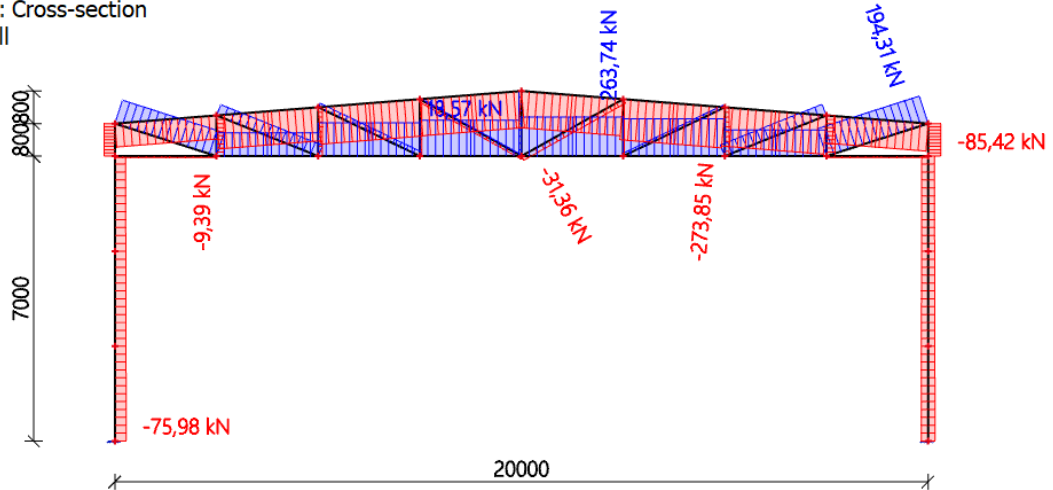
Linear calculation

Combination: GSN2

Coordinate system: Member

Extreme 1D: Cross-section

Selection: All



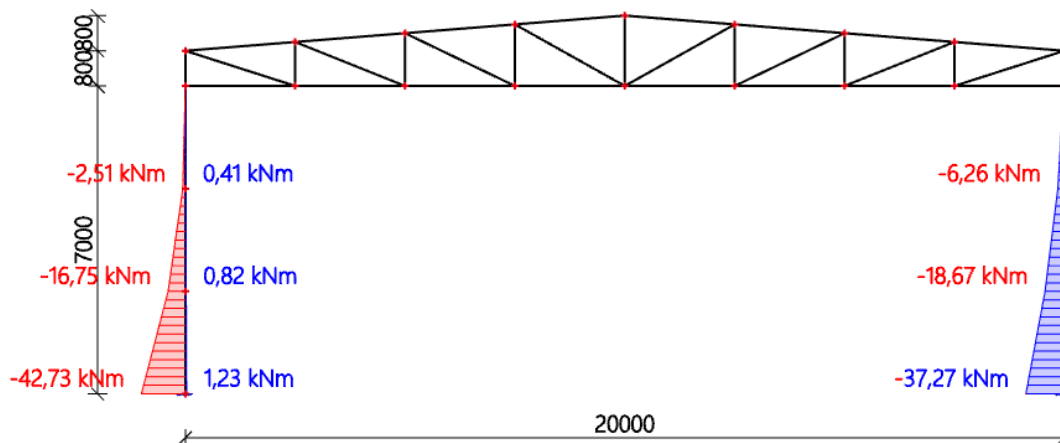
Dijagram uzdužnih sila kombinacije 2



4.1.3. KOMBINACIJA $1,0 * (G_0+G_1) + 1,5 W_{Odižući}$

1D internal forces

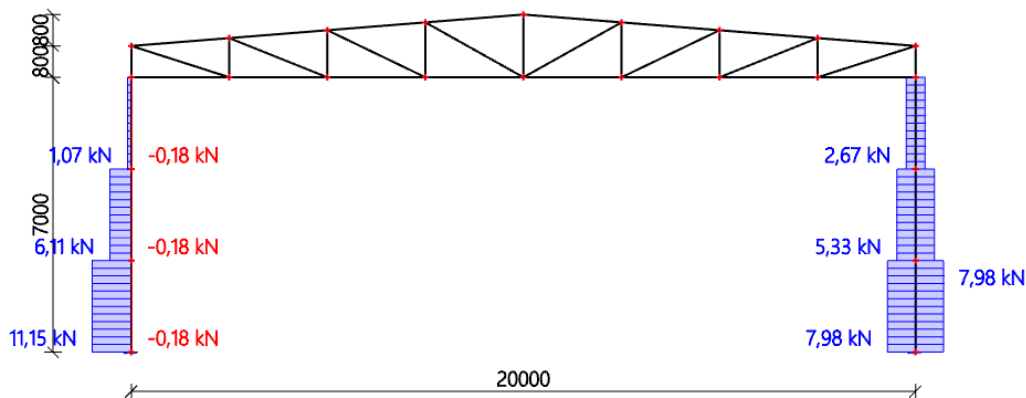
Values: M_y
 Linear calculation
 Combination: GSN3
 Coordinate system: Member
 Extreme 1D: Member
 Selection: All



Momentni dijagram kombinacije 3

1D internal forces

Values: V_z
 Linear calculation
 Combination: GSN3
 Coordinate system: Member
 Extreme 1D: Member
 Selection: All



Dijagram poprečnih sila kombinacije 3



1D internal forces

Values: **N**

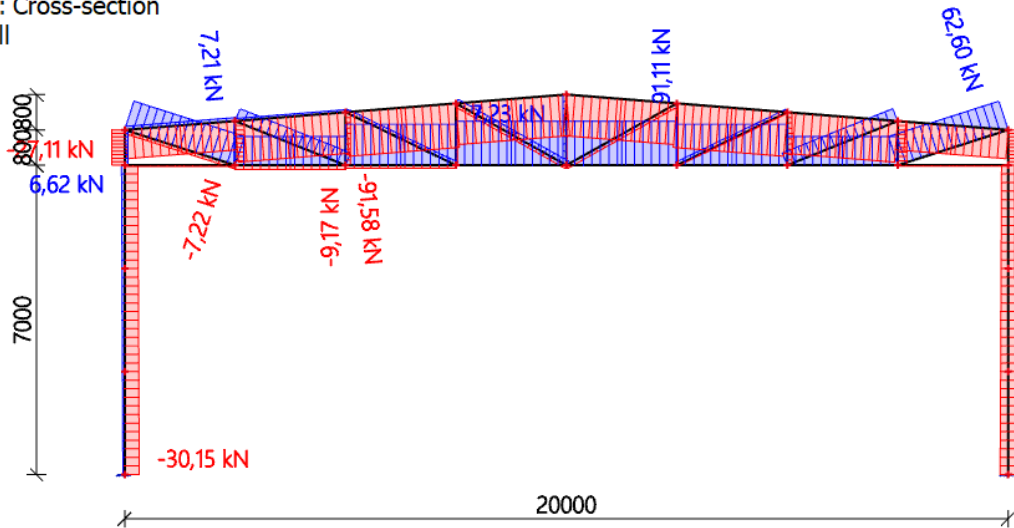
Linear calculation

Combination: GSN3

Coordinate system: Member

Extreme 1D: Cross-section

Selection: All



Dijagram uzdužnih sila kombinacije 3



4.2. SEKUNDARNA KONSTRUKCIJA

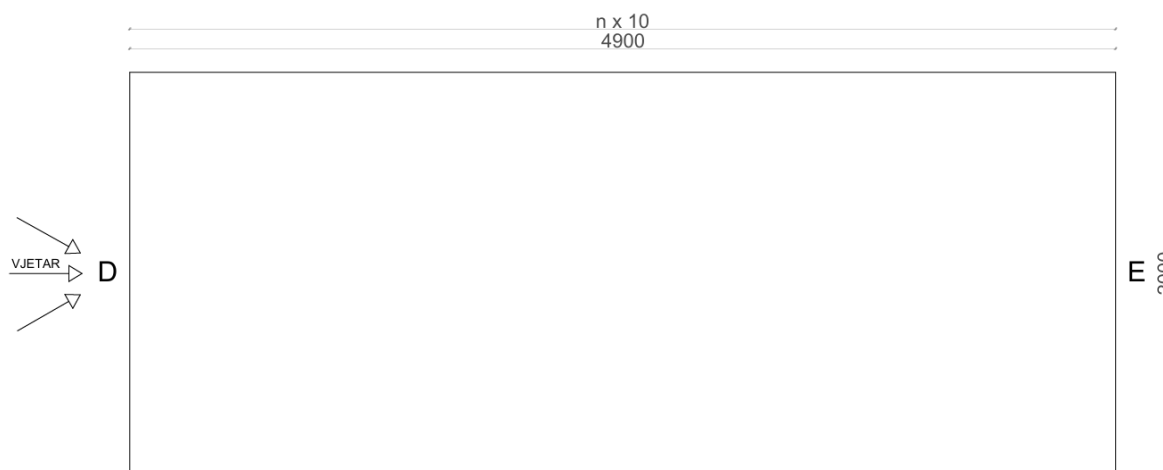
4.2.1. ZABATNI STUPOVI

Određivanje pritiska na zabatno pročelje:

$$e = \min \{b, 2h\} = \min \{49 \text{ m}, 2 \cdot 8,6 \text{ m}\} = \min \{49 \text{ m}, 17,2 \text{ m}\} = 17,2 \text{ m}$$

$$d = 20 \text{ m}$$

Odabiremo manju vrijednost ($e < d$) $\rightarrow e = 17,2 \text{ m}$



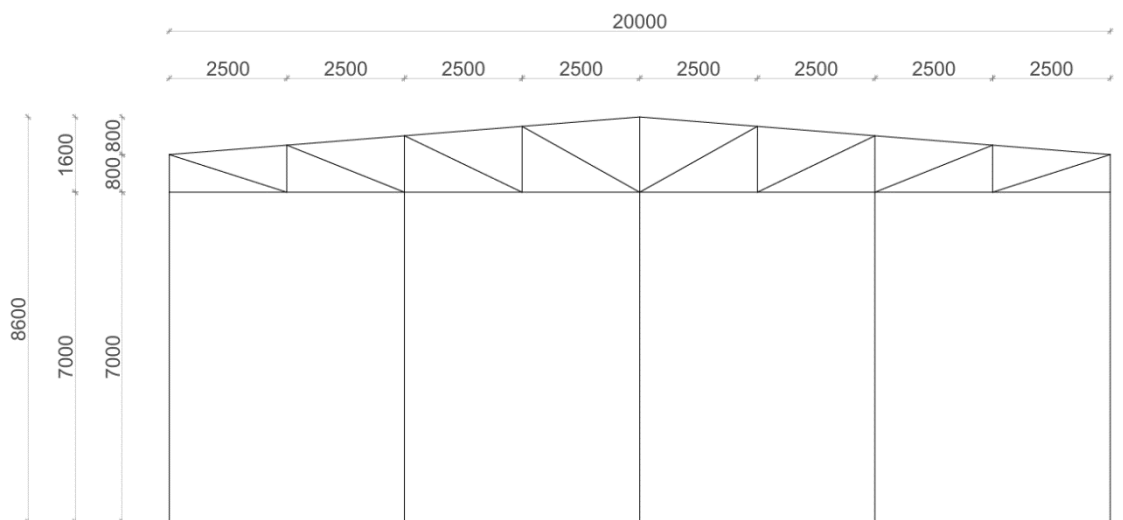
$$h/d = 8,6/49 = 0,176$$

| Područje | A | | B | | C | | D | | E | |
|-------------|-------------|------------|-------------|------------|-------------|------------|-------------|------------|-------------|------------|
| | $C_{pe,10}$ | $C_{pe,1}$ |
| ≥ 5 | -1,4 | -1,7 | -0,8 | -1,1 | -0,5 | -0,7 | +0,8 | +1,0 | -0,5 | -0,7 |
| 1 | -1,2 | -1,4 | -0,8 | -1,1 | -0,5 | | +0,8 | +1,0 | -0,5 | |
| $\leq 0,25$ | -1,2 | -1,4 | -0,8 | -1,1 | -0,5 | | +0,7 | +1,0 | -0,3 | -0,5 |

NAPOMENA: Za pojedinačne zgrade na otvorenome terenu u područjima u zavjetrini mogu nastupiti i veće sile.
 Međuvrijednosti se smiju linearno interpolirati.
 Za zgrade čiji je omjer $h/d > 5$, ukupno opterećenje vjetrom smije se temeljiti na odredbama iz točaka od 7.6 do 7.8 i 7.9.2.

$$W_D = q_p(z) \cdot D = 0,563 \text{ (kN/m}^2\text{)} \cdot 0,7 = 0,394$$

Ovaj iznos svodimo na linijsko opterećenje množeći ga sa utjecajnom širinom.



$$W_1 = W_D \cdot 5/2 = 0,394 \cdot 2,5 = 0,99 \text{ (kN/m')}$$

$$W_2 = W_D \cdot (2,5 + 2,5) = 0,394 \cdot 5,0 = 1,97 \text{ (kN/m')}$$

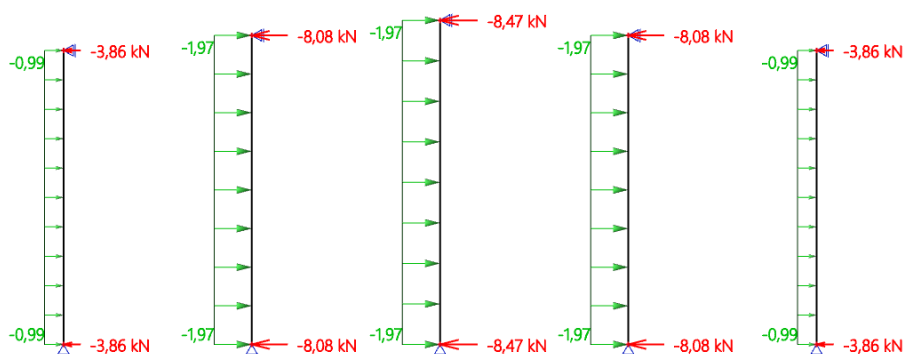
$$W_3 = W_D \cdot (2,5 + 2,5) = 0,394 \cdot 5,0 = 1,97 \text{ (kN/m')}$$

$$W_4 = W_D \cdot (2,5 + 2,5) = 0,394 \cdot 5,0 = 1,97 \text{ (kN/m')}$$

$$W_5 = W_D \cdot 5/2 = 0,394 \cdot 2,5 = 0,99 \text{ (kN/m')}$$

Reactions

Values: R_x
 Linear calculation
 Load case: LC2
 System: Global
 Extreme: Member
 Selection: All

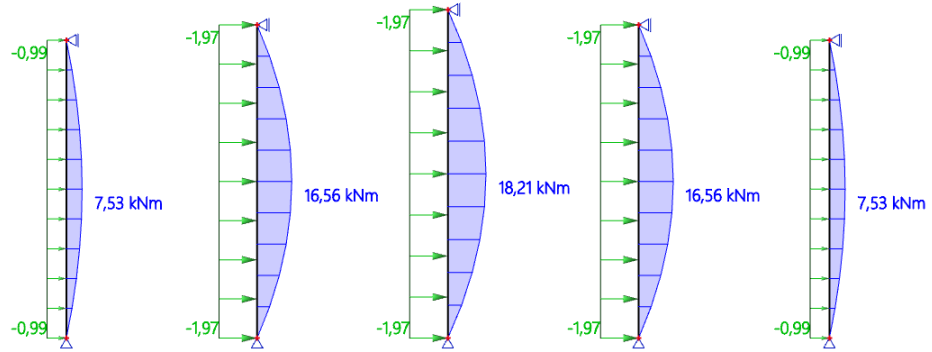


Reakcije za djelovanje vjetra W1



1D internal forces

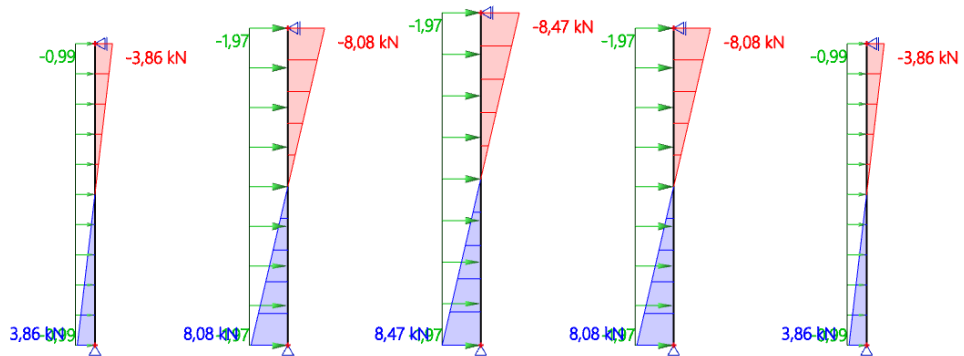
Values: M_y
 Linear calculation
 Load case: LC2
 Coordinate system: Member
 Extreme 1D: Member
 Selection: All



Momentni dijagram za djelovanje vjetra W1

1D internal forces

Values: V_z
 Linear calculation
 Load case: LC2
 Coordinate system: Member
 Extreme 1D: Member
 Selection: All



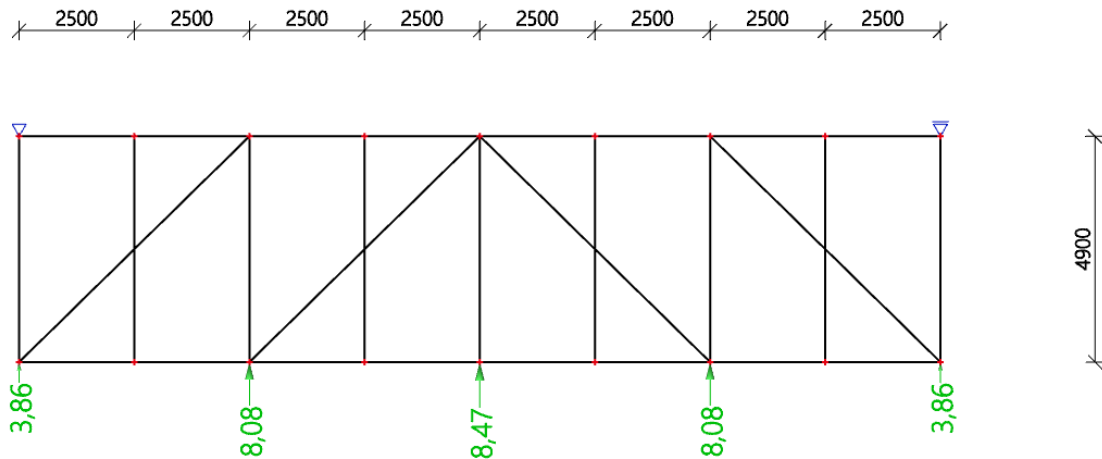
Dijagram poprečnih sila za djelovanje vjetra W1



4.2.2. KROVNI (HORIZONTALNI) SPREGOVI

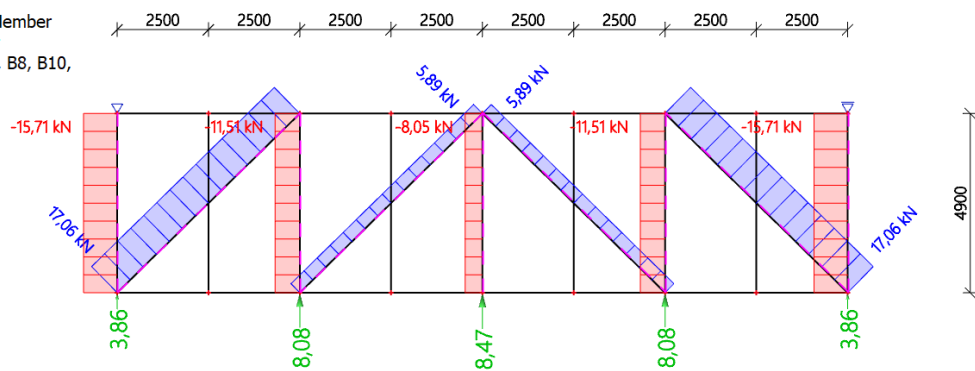
Sile koje djeluju na krovne spregove su prenesene reakcije sa zabatnih stupova.

Odabrani profil - RND 12



Model krovnog sprega

1D internal forces
 Values: **N**
 Linear calculation
 Load case: LC2
 Coordinate system: Member
 Extreme 1D: Member
 Selection: B1, B3, B6, B8, B10,
 B12..B15

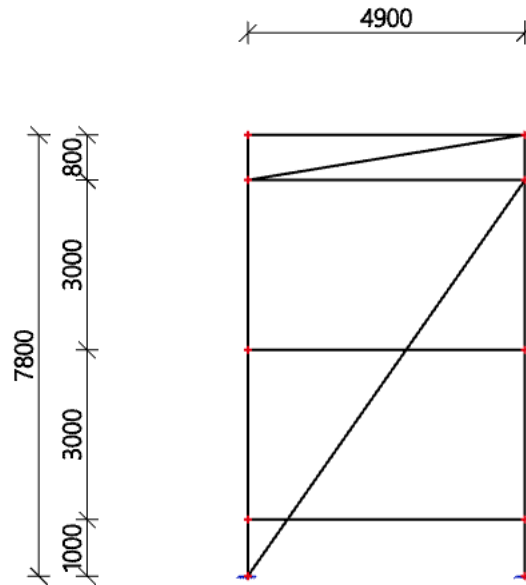


Dijagram uzdužnih sila horizontalnog sprega

4.2.3. BOČNI (VERTIKALNI) SPREGOVI

Sile koje djeluju na bočne spregove su prenesene reakcije sa krovnih spregova.

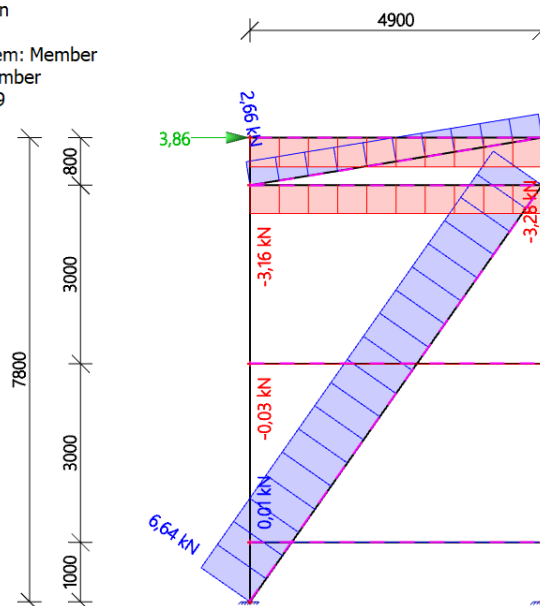
Odabrani profil - RND 12



Model bočnog sprega

1D internal forces

Values: **N**
Linear calculation
Load case: LC2
Coordinate system: Member
Extreme 1D: Member
Selection: B4..B9



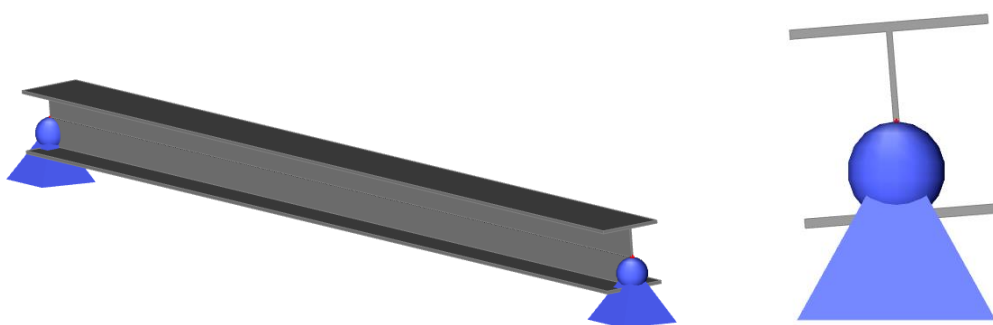
Dijagram uzdužnih sila vertikalnog sprega

4.2.4. KROVNA PODROŽNICA

Krovne podrožnice su duljine 4,9 m. Nalaze se na osnom razmaku od 2,5 m i pod kutom su od $\alpha = 4,57^\circ$.

Djelovanja na krovnu podrožnicu su sljedeća:

- Dodatno stalno opterećenje G_1
- Vlastita težina G_0
- Snijeg S
- Vjetar $W_{\text{pritiskajući}}$
- Vjetar $W_{\text{odižući}}$



Model krovne podrožnice

Mjerodavna kombinacija: $1,35(G_0 + G_1) + 1,5*S + 0,9*W_p$

1D internal forces

Values: M_y

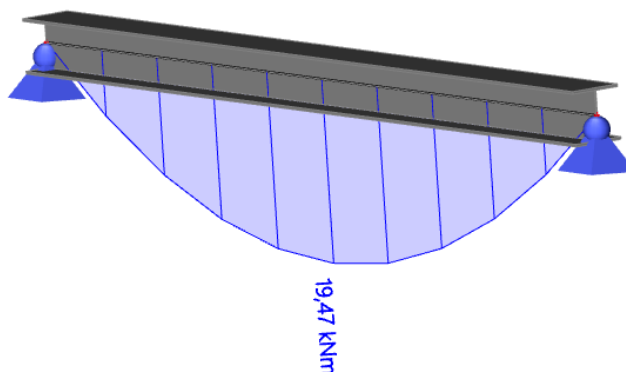
Linear calculation

Combination: GSN1

Coordinate system: Principal

Extreme 1D: Global

Selection: All



Momentni dijagram M_y za mjerodavnu kombinaciju

1D internal forcesValues: M_z

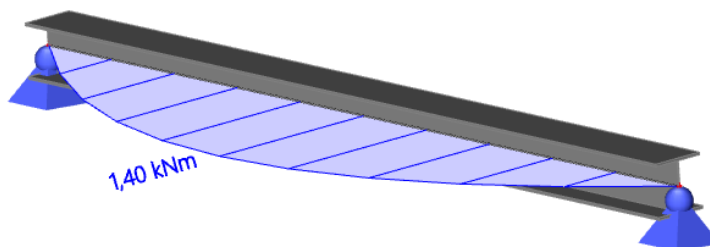
Linear calculation

Combination: GSN1

Coordinate system: Principal

Extreme 1D: Global

Selection: All

*Momentni dijagram M_z za mjerodavnu kombinaciju***1D internal forces**Values: V_y

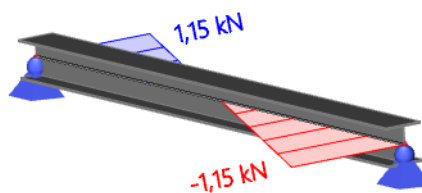
Linear calculation

Combination: GSN1

Coordinate system: Principal

Extreme 1D: Global

Selection: All

*Dijagram poprečnih sila V_y za mjerodavnu kombinaciju***1D internal forces**Values: V_z

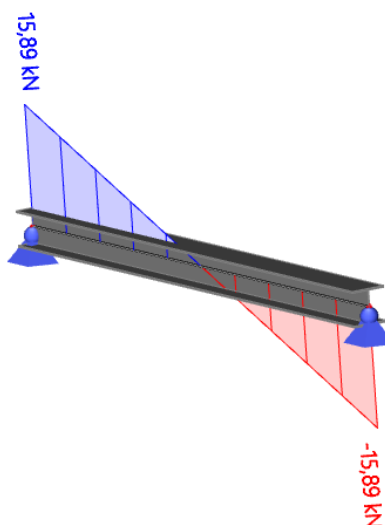
Linear calculation

Combination: GSN1

Coordinate system: Principal

Extreme 1D: Global

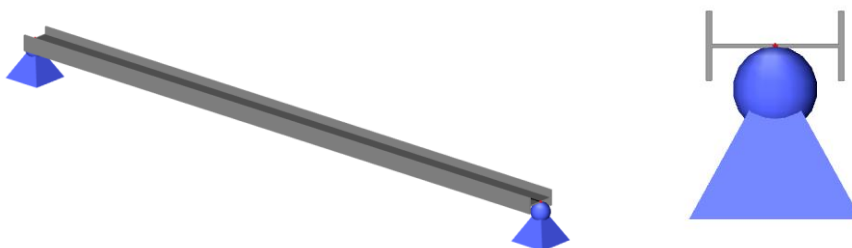
Selection: All

*Dijagram poprečnih sila V_z za mjerodavnu kombinaciju*

4.2.5. BOČNA PODROŽNICA

Djelovanja na krovnu podrožnicu su sljedeća:

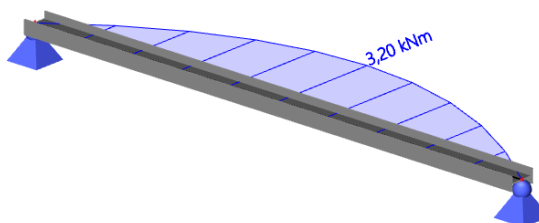
- Dodatno stalno opterećenje G_1
- Vlastita težina G_0
- Vjetar $W_{\text{pritiskajući}}$



Model bočne podrožnice

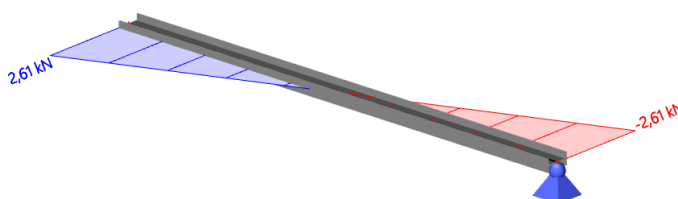
Mjerodavna kombinacija: $1,35(G_0 + G_1) + 1,5 \cdot W_p$

1D internal forces
Values: M_y
Linear calculation
Combination: GSN
Coordinate system: Principal
Extreme 1D: Global
Selection: All



Momentni dijagram M_y za mjerodavnu kombinaciju

1D internal forces
Values: V_z
Linear calculation
Combination: GSN
Coordinate system: Principal
Extreme 1D: Global
Selection: All



Dijagram poprečnih V_z sila za mjerodavnu kombinaciju



5. DIMENZIONIRANJE ELEMENATA KONSTRUKCIJE PREMA GRANIČNOM STANJU NOSIVOSTI

5.1. GLAVNA NOSIVA KONSTRUKCIJA

5.1.1. GORNJI POJAS REŠETKE (GP – POZICIJA 4 - 5)

| | | | | | |
|--------------------------------------|--------------|------------------------------------|----------------------|-------|------|
| PROFIL: | vrućevaljani | CFRHS 120x120x6 | $\varepsilon = 1,00$ | | |
| KVALITETA ČELIKA: | S235 | $f_y = 23,5$ (kN/cm ²) | | | |
| GEOMETRIJSKI PODATCI PROFILA: | | | | | |
| b (cm) | 12,0 | t (cm) | 0,6 | | |
| h (cm) | 12,0 | A (cm ²) | 26,43 | | |
| W _{pl,Y} (cm ³) | 111,61 | I _y (cm ⁴) | 562,16 | | |
| W _{pl,Z} (cm ³) | 111,61 | I _z (cm ⁴) | 562,16 | | |
| MEHANIČKI PODATCI ČELIKA: | | | | | |
| E (kN/cm ²) | 21000 | G (kN/cm ²) | 8077 | ν | 0,30 |

Rezne sile uslijed kritične kombinacije (GSN 1):

$$M_{Ed} = 0 \text{ (kNm)}$$

$$V_{Ed} = 0 \text{ (kN)}$$

$$N_{Ed} = -344,41 \text{ (kN)}$$

Klasifikacija poprečnog presjeka:

$$\frac{d}{t} = \frac{h-3*t}{t} = 17$$

$$\text{Uvjet za klasu 1: } \frac{d}{t} \leq 33 * \varepsilon = 33$$

Hrbat je klase 1

Poprečni presjek je klase 1.

Otpornost poprečnog presjeka:

- Uzdužna tlačna sila

$$N_{c,Rd} = N_{pl,Rd} = \frac{A \cdot f_y}{\gamma_{M,0}} = \frac{26,43 \cdot 23,5}{1} = 621,11 \text{ (kN)} \geq N_{Ed} = 344,41 \text{ (kN)}$$

Otpornost poprečnog presjeka:

- Tlačna sila:

$$L_i^Z = 5.0 \text{ (m)} = 500 \text{ (cm)}$$

$$L_i^Y = 2.5 \text{ (m)} = 250 \text{ (cm)}$$

$$N_{CR}^Z = \frac{\pi^2 * E * I_z}{L_i^2} = 466,04 \text{ (kN)}$$

$$N_{CR}^Y = \frac{\pi^2 * E * I_y}{L_i^2} = 1864,23 \text{ (kN)}$$



Izvijanje oko osi: Y-Y ili Z-Z

Vruće dogotovljeni profil → Linija izvijanja: a → Faktor imperfekcije: $\alpha=0.21$

oko osi z-z

$$\lambda^Z = \sqrt{\frac{A \cdot f_y}{N_{CR}^Z}} = 1,154$$

$$\varphi = 0,5 \cdot (1 + \alpha(\lambda - 0,2) + \lambda^2) = 1,267$$

$$\chi = 1 / (\varphi + \sqrt{\varphi^2 + \lambda^2})$$

$$\chi^Z = 0,559$$

$$N_{b,Rd} = (\chi \cdot A \cdot f_y) / \gamma_{M1} = 347,45 \text{ kN}$$

$$N_{Ed} / N_{b,Rd} = 344,41 / 347,45 = 0,99125 = 99,13\%$$

Profil CFRHS 120/120/6 zadovoljava otpornost elementa s iskoristivošću od 99,13% oko osi z-z.

oko osi y-y

$$\lambda^Y = \sqrt{\frac{A \cdot f_y}{N_{CR}^Y}} = 0,577$$

$$\varphi = 0,5 \cdot (1 + \alpha(\lambda - 0,2) + \lambda^2) = 0,706$$

$$\chi = 1 / (\varphi + \sqrt{\varphi^2 + \lambda^2})$$

$$\chi^Y = 0,898$$

$$N_{b,Rd} = (\chi \cdot A \cdot f_y) / \gamma_{M1} = 558,08 \text{ kN}$$

$$N_{Ed} / N_{b,Rd} = 344,41 / 558,02 = 0,61720 = 61,72\%$$

Profil CFRHS 120/120/6 zadovoljava otpornost elementa s iskoristivošću od 61,72% oko osi y-y.

5.1.2. DONJI POJAS REŠETKE (DP – POZICIJA 2 - 3)

| | | | | | |
|--------------------------------------|--------------|---------------------------------------|----------------------|---|------|
| PROFIL: | vrućevaljani | CFRHS 90x90x5 | $\varepsilon = 1,00$ | | |
| KVALITETA ČELIKA: | S235 | $f_y = 23,5 \text{ (kN/cm}^2\text{)}$ | | | |
| GEOMETRIJSKI PODATCI PROFILA: | | | | | |
| b (cm) | 9,0 | t (cm) | 0,5 | | |
| h (cm) | 9,0 | A (cm ²) | 16,36 | | |
| W _{pl,Y} (cm ³) | 64,59 | I _y (cm ⁴) | 271,10 | | |
| W _{pl,Z} (cm ³) | 64,59 | I _z (cm ⁴) | 271,10 | | |
| MEHANIČKI PODATCI ČELIKA: | | | | | |
| E (kN/cm ²) | 21000 | G (kN/cm ²) | 8077 | v | 0,30 |



Rezne sile uslijed kritičnih kombinacija za donji pojas rešetke:

| GSN 2 | GSN 1 |
|-----------------------|-------------------------|
| $M_{Ed} = 0$ (kNm) | $M_{Ed} = 0$ (kNm) |
| $V_{Ed} = 0$ (kN) | $V_{Ed} = 0$ (kN) |
| $N_{Ed} = -9,35$ (kN) | $N_{Ed} = +341,75$ (kN) |

Klasifikacija poprečnog presjeka:

- Hrbat:

$$\frac{d}{t} = \frac{h-3*t}{t} = 17$$

$$\text{Uvjet za klasu 1: } \frac{d}{t} \leq 33 * \epsilon = 33$$

Hrbat je klase 1

Poprečni presjek je klase 1.

Otpornost poprečnog presjeka:

- Uzdužna vlačna sila $N_{Ed} = +341,75$ (kN)

$$N_{t,Rd} = N_{pl,Rd} = \frac{A \cdot f_y}{\gamma_{M,0}} = \frac{16,36 \cdot 23,5}{1} = 384,46 \text{ (kN)} \geq N_{Ed} = 341,75 \text{ (kN)}$$

$$N_{Ed} / N_{t,Rd} = 341,75 / 384,46 = 0,88891 = 88,89\%$$

Profil CFRHS 90/90/5 zadovoljava otpornost elementa s iskoristivošću od 88,89%.

- Uzdužna tlačna sila $N_{Ed} = -9,35$ (kN) za duljinu izvijanja $l = l/4 = 2500/4 = 625$ cm

$$N_{CR}^Z = \frac{\pi^2 * E * I_z}{L_i^2} = 102,37 \text{ (kN)}$$

Vruće dogotovljeni profil → Linija izvijanja: a → Faktor imperfekcije: $\alpha = 0,21$

$$\lambda^Z = \sqrt{\frac{A * f_y}{N_{CR}^Z}} = 1,938$$

$$\varphi = 0,5 \cdot (1 + \alpha(\lambda - 0,2) + \lambda^2) = 2,560$$

$$\chi = 1 / (\varphi + \sqrt{(\varphi^2 + \lambda^2)})$$

$$\chi^Z = 0,236$$

$$N_{b,Rd} = (\chi \cdot A \cdot f_y) / \gamma_{M1} = 90,81 \text{ kN}$$

$$N_{Ed} / N_{b,Rd} = 9,35 / 90,81 = 0,10296 = 10,30 \%$$

Profil CFRHS 90/90/5 zadovoljava otpornost elementa s iskoristivošću od 10,30 % oko osi Z-Z.



5.1.3. DIJAGONALE REŠETKE (D – POZICIJA 12 - 15)

| | | | | | |
|--------------------------------------|--------------|---------------------------------------|------|----------------------|------|
| PROFIL: | vrućevaljani | SHS 70x70x5 | | $\varepsilon = 1,00$ | |
| KVALITETA ČELIKA: | S235 | $f_y = 23.5 \text{ (kN/cm}^2\text{)}$ | | | |
| GEOMETRIJSKI PODATCI PROFILA: | | | | | |
| b (cm) | 7,0 | t (cm) | 0,5 | | |
| h (cm) | 7,0 | A (cm ²) | 12,7 | | |
| W _{El,Y} (cm ³) | 25,3 | I _y (cm ⁴) | 88,5 | | |
| W _{Pl,Z} (cm ³) | 30,8 | I _z (cm ⁴) | 88,5 | | |
| MEHANIČKI PODATCI ČELIKA: | | | | | |
| E (kN/cm ²) | 21000 | G (kN/cm ²) | 8077 | v | 0,30 |

Rezne sile uslijed kritične kombinacije (GSN 1):

$$M_{Ed} = 0 \text{ (kNm)}$$

$$V_{Ed} = 0 \text{ (kN)}$$

$$N_{Ed} = - 32,95 \text{ (kN)}$$

$$N_{Ed} = + 242,95 \text{ (kN)}$$

Klasifikacija poprečnog presjeka:

- Hrnat:

$$\frac{d}{t} = \frac{h-3*t}{t} = 11$$

$$\text{Uvjet za klasu 1: } \frac{d}{t} \leq 33*\varepsilon = 33$$

Hrnat je klase 1

Poprečni presjek je klase 1.

Otpornost poprečnog presjeka:

- Uzdužna vlačna sila $N_{Ed} = + 242,95 \text{ (kN)}$

$$N_{t,Rd} = N_{pl,Rd} = \frac{A \cdot f_y}{\gamma_{M,0}} = \frac{12,7 \cdot 23,5}{1} = 298,45 \text{ (kN)} \geq N_{Ed} = + 242,95 \text{ (kN)}$$

$$N_{Ed} / N_{t,Rd} = + 242,95 / 298,45 = 0,81403 = 81,40\%$$

Profil SHS 70/70/5 zadovoljava otpornost elementa s iskoristivošću od 81,40%.

- Uzdužna tlačna sila $N_{Ed} = -32,95 \text{ (kN)}$ za duljinu izvijanja $l=262,49 \text{ cm}$

$$N_{CR}^Z = \frac{\pi^2 * E * I_z}{L_i^2} = 266,22 \text{ (kN)}$$



Vruće dogotovljeni profil → Linija izvijanja: a → Faktor imperfekcije: $\alpha=0.21$

$$\lambda = \sqrt{\frac{A \cdot f_y}{N_{CR}}} = 1,059$$

$$\varphi = 0,5 \cdot (1 + \alpha(\lambda - 0,2) + \lambda^2) = 1,151$$

$$\chi = 1 / (\varphi + \sqrt{\varphi^2 + \lambda^2})$$

$$\chi = 0,624$$

$$N_{b,Rd} = (\chi \cdot A \cdot f_y) / Y_{M1} = 186,38 \text{ kN}$$

$$N_{Ed} / N_{b,Rd} = 32,95 / 186,38 = 0,17679 = 17,68 \%$$

Profil SHS 70/70/5 zadovoljava otpornost elementa s iskoristivošću od 17,68 % oko obje osi.

5.1.4. VERTIKALE REŠETKE (V – POZICIJA 6 - 10)

| | | | | | |
|--------------------------------------|--------------|---------------------------------------|------|----------------------|------|
| PROFIL: | vrućevaljani | SHS 40x40x4 | | $\varepsilon = 1,00$ | |
| KVALITETA ČELIKA: | S235 | $f_y = 23.5 \text{ (kN/cm}^2\text{)}$ | | | |
| GEOMETRIJSKI PODATCI PROFILA: | | | | | |
| b (cm) | 4,0 | t (cm) | 0,4 | | |
| h (cm) | 4,0 | A (cm ²) | 5,59 | | |
| W _{El,Y} (cm ³) | 5,91 | I _y (cm ⁴) | 11,8 | | |
| W _{Pl,Z} (cm ³) | 7,44 | I _z (cm ⁴) | 11,8 | | |
| MEHANIČKI PODATCI ČELIKA: | | | | | |
| E (kN/cm ²) | 21000 | G (kN/cm ²) | 8077 | v | 0,30 |

Rezne sile uslijed kritične kombinacije (GSN 1):

$$M_{Ed} = 0 \text{ (kNm)}$$

$$V_{Ed} = 0 \text{ (kN)}$$

$$N_{Ed} = - 106,10 \text{ (kN)}$$

$$N_{Ed} = + 25,41 \text{ (kN)}$$

Klasifikacija poprečnog presjeka:

- Hrbat:

$$\frac{d}{t} = \frac{h-3 \cdot t}{t} = 7$$

$$\text{Uvjet za klasu 1: } \frac{d}{t} \leq 33 \cdot \varepsilon = 33$$

Hrbat je klase 1

Poprečni presjek je klase 1.



Otpornost poprečnog presjeka:

- Uzdužna vlačna sila $N_{Ed} = +25,41$ (kN)

$$N_{t,Rd} = N_{pl,Rd} = \frac{A \cdot f_y}{\gamma_{M,0}} = \frac{5,59 \cdot 23,5}{1} = 131,37 \text{ (kN)} \geq N_{Ed} = +25,61 \text{ (kN)}$$

$$N_{Ed} / N_{t,Rd} = +25,61 / 131,37 = 0,19495 = 19,5\%$$

Profil SHS 40/40/4 zadovoljava otpornost elementa s iskoristivošću od 19,5%

- Uzdužna tlačna sila $N_{Ed} = -106,10$ (kN) za duljinu izvijanja $l = 80$ cm

$$N_{CR}^Z = \frac{\pi^2 \cdot E \cdot I_z}{L_i^2} = 382,14 \text{ (kN)}$$

Vruće dogotovljeni profil \rightarrow Linija izvijanja: a \rightarrow Faktor imperfekcije: $\alpha = 0,21$

$$\lambda = \sqrt{\frac{A \cdot f_y}{N_{CR}^Z}} = 0,586$$

$$\varphi = 0,5 \cdot (1 + \alpha(\lambda - 0,2) + \lambda^2) = 0,712$$

$$\chi = 1 / (\varphi + \sqrt{\varphi^2 + \lambda^2})$$

$$\chi = 0,895$$

$$N_{b,Rd} = (\chi \cdot A \cdot f_y) / \gamma_{M1} = 117,59 \text{ kN}$$

$$N_{Ed} / N_{b,Rd} = 106,10 / 117,59 = 0,90229 = 90,23\%$$

Profil SHS 40/40/4 zadovoljava otpornost elementa s iskoristivošću od 90,23% oko obje osi.

Odabrani profili rešetke:

GORNJI POJAS REŠETKE - CFRHS 120x120x6 (GP – POZICIJA 4 - 5)

DONJI POJAS REŠETKE - CFRHS 90x90x5 (DP – POZICIJA 2 - 3)

VANJSKE DIJAGONALE - SHS 70x70x5 (D – POZICIJA 12 - 15)

VANJSKE VERTIKALE - SHS 40x40x4 (V – POZICIJA 6 - 10)



5.1.5. STUPOVI OKVIRA (S – POZICIJA 1)

| | | | | | |
|--------------------------------------|--------------|---------------------------------------|------|--------------------------|--------|
| PROFIL: | vrućevaljani | HE 200 A | | $\varepsilon = 1,00$ | |
| KVALITETA ČELIKA: | S235 | $f_y = 23.5 \text{ (kN/cm}^2\text{)}$ | | | |
| GEOMETRIJSKI PODATCI PROFILA: | | | | | |
| b (cm) | 20,0 | r (cm) | 1,8 | t_f (cm) | 1,0 |
| h (cm) | 19,0 | A (cm ²) | 53,8 | t_w (cm) | 0,7 |
| $W_{El,Y}$ (cm ³) | 389 | I_y (cm ⁴) | 3690 | I_w (cm ⁶) | 108000 |
| $W_{Pl,Y}$ (cm ³) | 429,17 | I_z (cm ⁴) | 1340 | I_T (cm ⁴) | 21 |
| MEHANIČKI PODATCI ČELIKA: | | | | | |
| E (kN/cm ²) | 21000 | G (kN/cm ²) | 8077 | ν | 0,30 |

Rezne sile uslijed kritičnih kombinacija za mjerodavni stup:

| GSN 2 |
|--------------------------------|
| $M_{Ed} = 50,85 \text{ (kNm)}$ |
| $V_{Ed} = 17,10 \text{ (kN)}$ |
| $N_{Ed} = -78,50 \text{ (kN)}$ |

Klasifikacija profila:

- Hrnat (savijanje):

$$\frac{d}{t_w} = \frac{h-2*t_f-2*r}{t_w} = 19,14$$

$$\text{Uvjet za klasu 1: } \frac{d}{t_w} \leq 72*\varepsilon = 72$$

Hrnat je klase 1

- Pojasnice (tlak):

$$\frac{c}{t_f} = \frac{0.5*(b-2*r-t_w)}{t_f} = 7,85$$

$$\text{Uvjet za klasu 1: } \frac{c}{t_f} \leq 9*\varepsilon = 9$$

Pojasnice su klase 1

Poprečni presjek je klase 1.

Klasifikacija hrpta izloženog tlaku i savijanju:

$$\frac{d}{t_w} \leq \frac{396 \cdot \varepsilon}{13 \cdot \alpha - 1}$$

$$a = N_{Ed} / (2 \cdot t_w) \cdot f_y / Y_{M0} = 2,39$$

$$\alpha = (1/d) \cdot ((d/2)+a) = 0,69$$

$$\frac{d}{t_w} = \frac{h-2*t_f-2*r}{t_w} = 19,14 < \frac{396 * \varepsilon}{13\alpha - 1} = 49,69$$



Hrpat je klase 1.

Otpornost poprečnog presjeka:

- Savijanje:

$$M_{c,Rd} = M_{pl,Rd} = \frac{W_{pl,y} * f_y}{\gamma_{mo}} = \frac{429,71 * 23,5}{1} = 10085,50 \text{ (kNm)} = 100,86 \text{ (kNm)}$$

$$M_{c,Rd} = 100,86 \text{ (kNm)} \geq M_{Ed}^{GSN1} = 50,85 \text{ (kNm)}$$

- Posmik:

$$\frac{h_w}{t_w} = \frac{h - 2 * t_f}{t_w} = \frac{17,0}{0,7} = 24,29 \leq 72 \frac{\epsilon}{\eta} = 72 \frac{1}{1,20} = 60 \quad 24,29 \leq 60$$

Nije potrebna kontrola izbočavanja hrpta uslijed djelovanja posmika!

$$A_{v,z} = A - 2 * b * t_f + (t_w + 2 * r) * t_f = 29,20 \text{ (cm}^2) \geq \eta * h_w * t_w = 14,28 \text{ (cm}^2)$$

Uvjet zadovoljen!

$$V_{Rd}^Z = V_{pl,Rd} = \frac{A_{v,z} * f_y}{\sqrt{3} * \gamma_{mo}} = \frac{29,20 * 23,5}{1,7321} = 393,74 \text{ (kN)}$$

$$V_{Rd}^Z = 393,74 \text{ (kN)} \geq V_{Ed}^{GSN1} = 17,10 \text{ (kN)}$$

- Uzdužna tlačna sila

$$N_{c,Rd} = N_{pl,Rd} = \frac{A * f_y}{\gamma_{M,0}} = \frac{53,8 * 23,5}{1} = 1264,30 \text{ (kN)}$$

$$N_{c,Rd} = 1264,30 \text{ (kN)} \geq N_{Ed}^{GSN1} = 78,50 \text{ (kN)}$$

- Interakcija M-V-N (za kritičniju V-N kombinaciju GSN 1):

$$0,25 * N_{c,Rd} = 316,08 \text{ (kN)} \geq N_{Ed}^{GSN1} = 78,50 \text{ (kN)}$$

$$0,5 * V_{z,Rd} = 196,87 \text{ (kN)} \geq V_{Ed}^{GSN1} = 17,10 \text{ (kN)}$$

Nema redukcije $M_{c,Rd}$ uslijed interakcije reznih sila!

Otpornost elementa:

- Savijanje:

$$L_{CR} = 14,0 \text{ (m)} = 1400 \text{ (cm)}$$

$$k = 1,0 \quad k_w = 1,0$$

$$C_1 = 1,77 \quad C_2 = 0,0$$

$$M_{CR} = C_1 * \frac{\pi^2 * E * I_z}{(k * L_{CR})^2} * \left[\sqrt{\left(\frac{k}{k_w}\right)^2 * \frac{I_w}{I_z} + \frac{(k * L_{CR})^2 * G * I_T}{\pi^2 * E * I_z}} + (C_2 * z_g)^2 \right] - C_2 * z_g = 8964,8 \text{ (kNm)} = 89,65 \text{ (kNm)}$$

$$\lambda_{LT} = \sqrt{\frac{W_{PL,Y} * f_y}{M_{CR}}} = 1,061 \geq \lambda_{LT,0} = 0,4$$

Reduciramo $M_{c,Rd}$ zbog mogućnosti instabiliteta elementa.



Faktor imperfekcije: $\alpha_{LT} = 0.21 \leftarrow$ Krivulja izvijanja : a $\left\{ \begin{array}{l} \frac{h}{b} = 0,95 \leq 2 \\ \text{Vruće valjani I presjek} \end{array} \right.$

$$\Phi_{LT} = 0.5 * (1 + \alpha_{LT}(\lambda_{LT} - 0.2) + \lambda_{LT}^2) = 1,153$$

$$\chi_{LT} = \frac{1}{\Phi_{LT} * \sqrt{\Phi_{LT}^2 - \lambda_{LT}^2}} = 0,623$$

$$M_{B,Rd} = \chi_{LT} * \frac{W_{pl,y} * f_y}{\gamma_{m1}} = 0,623 * \frac{429,17 * 23,5}{1} = 6285,13 \text{ (kNcm)} = 62,85 \text{ (kNm)} \geq M_{Ed}^{GSN1} = 50,85 \text{ (kNm)}$$

- Tlačna sila:

$$L_i^Z = 7 * 0,7 \text{ (m)} = 490 \text{ (cm)}$$

$$L_i^Y = 2 * 7 \text{ (m)} = 1400 \text{ (cm)}$$

$$N_{CR}^Z = \frac{\pi^2 * E * I_z}{L_i^2} = 1156,73 \text{ (kN)}$$

$$N_{CR}^Y = \frac{\pi^2 * E * I_y}{L_i^2} = 390,20 \text{ (kN)}$$

Izvijanje oko osi Z-Z: Faktor imperfekcije: $\alpha = 0.49 \leftarrow$ Linija izvijanja: b $\left\{ \begin{array}{l} t_f \leq 100 \text{ (mm)} \\ \frac{h}{b} = 0,95 < 1.2 \end{array} \right.$

Izvijanje oko osi Y-Y: Faktor imperfekcije: $\alpha = 0.34 \leftarrow$ Linija izvijanja: a $\left\{ \begin{array}{l} t_f \leq 100 \text{ (mm)} \\ \frac{h}{b} = 0,95 < 1.2 \end{array} \right.$

$$\lambda^Z = \sqrt{\frac{A * f_y}{N_{CR}^Z}} = 1,045$$

$$\lambda^Y = \sqrt{\frac{A * f_y}{N_{CR}^Y}} = 1,800$$

$$N_{B,Rd} = \chi^Y * \frac{A * f_y}{\gamma_{m1}} = 318,67 \geq N_{Ed}^{GSN1} = 78,50$$

- Interakcija M_b-N_b (jednoosno savijanje):

$$C_{MY} = C_{MLT} = 0.30 \leftarrow 0.2 + 0.8\alpha_s \geq 0.4 \left\{ \begin{array}{l} \alpha_s = 0,13 \\ \psi = 0 \end{array} \right.$$

$$k_{yy} = C_{MY} \left(1 + (\chi^Y - 0.2) \frac{N_{Ed}}{\chi^Y * N_{Rd}} \right) \leq C_{MY} \left(1 + 0.8 \frac{N_{Ed}}{\chi^Y * N_{Rd}} \right) \quad k_{yy} = 0,42$$

$$k_{zy} = 0.6 + \lambda^Z \leq \left(1 - \frac{0.1\lambda^Z}{C_{MLT}} * \frac{N_{Ed} * \gamma_{m1}}{\chi^Y * N_{Rk}} \right) \quad k_{zy} = 0,75$$

$$\frac{N_{Ed} * \gamma_{m1}}{\chi^Y * N_{Rk}} + k_{yy} \frac{M_{Ed}^Y * \gamma_{m1}}{\chi^{LT} * M_{Rk}^Y} = 0,5963$$

$$\frac{N_{Ed} * \gamma_{m1}}{\chi^Z * N_{Rk}} + k_{zy} \frac{M_{Ed}^Y * \gamma_{m1}}{\chi^{LT} * M_{Rk}^Y} = 0,7278$$

Profil HE 200 A zadovoljava otpornost elementa s iskoristivošću od 72,78 %.



5.2. SEKUNDARNA KONSTRUKCIJA

5.2.1. ZABATNI STUPOVI (ZS – POZICIJA 21 - 22)

| | | | | | |
|--------------------------------------|--------------|---------------------------------------|---------|--------------------------|----------|
| PROFIL: | vrućevaljani | HE 140 A | | $\varepsilon = 1,00$ | |
| KVALITETA ČELIKA: | S235 | $f_y = 23.5 \text{ (kN/cm}^2\text{)}$ | | | |
| GEOMETRIJSKI PODATCI PROFILA: | | | | | |
| b (cm) | 14,00 | r (cm) | 1,20 | t_f (cm) | 0,90 |
| h (cm) | 13,30 | A (cm ²) | 31,40 | t_w (cm) | 0,60 |
| $W_{EL,Y}$ (cm ³) | 155,00 | I_y (cm ⁴) | 1030,00 | I_w (cm ⁶) | 15064,00 |
| $W_{PL,Y}$ (cm ³) | 173,33 | I_z (cm ⁴) | 389,00 | I_t (cm ⁴) | 8,13 |
| MEHANIČKI PODATCI ČELIKA: | | | | | |
| E (kN/cm ²) | 21000 | G (kN/cm ²) | 8077 | ν | 0,30 |

Rezne sile uslijed kritične kombinacije (GSN 5.2.1.) za mjerodavni zabatni stup:

$$M_{Ed} = 18,21 \text{ (kNm)}$$

$$V_{Ed} = 8,47 \text{ (kN)}$$

$$N_{Ed} = 0 \text{ (kN)} \rightarrow \text{zanemarena vlastita težina}$$

Klasifikacija profila:

- Hrbat (savijanje):

$$\frac{d}{t_w} = \frac{h - 2 \cdot t_f - 2 \cdot r}{t_w} = 15,17$$

$$\text{Uvjet za klasu 1: } \frac{d}{t_w} \leq 72 \cdot \varepsilon = 72$$

Hrbat je klase 1

- Pojasnice (tlak):

$$\frac{c}{t_f} = \frac{0.5 \cdot (b - 2 \cdot r - t_w)}{t_f} = 6,11$$

$$\text{Uvjet za klasu 1: } \frac{c}{t_f} \leq 9 \cdot \varepsilon = 9$$

Pojasnice su klase 1

Poprečni presjek je klase 1.

Otpornost poprečnog presjeka:

- Savijanje:

$$M_{c,Rd} = M_{pl,Rd} = \frac{W_{pl,y} \cdot f_y}{\gamma_{m0}} = \frac{173,33 \cdot 23,5}{1} = 4073,23 \text{ (kNcm)} = 40,73 \text{ (kNm)}$$

$$M_{c,Rd} = 40,73 \text{ (kNm)} \geq M_{Ed} = 18,21 \text{ (kNm)}$$

- Posmik:

$$\frac{h_w}{t_w} = \frac{h - 2 \cdot t_f}{t_w} = \frac{11,2}{0,6} = 18,67 \leq 72 \cdot \frac{\varepsilon}{\eta} = 72 \cdot \frac{1,00}{1,20} = 60$$

Nije potrebna kontrola izbočavanja hrpta uslijed djelovanja posmika!



$$A_{v,z} = A - 2 \cdot b \cdot t_f + (t_w + 2 \cdot r) \cdot t_f = 8,90 \text{ (cm}^2) \geq \eta \cdot h_w \cdot t_w = 8,28 \text{ (cm}^2)$$

Uvjet zadovoljen!

$$V_{Rd}^Z = V_{Pl,Rd} = \frac{A_{v,z} \cdot f_y}{\sqrt{3} \cdot \gamma_{m0}} = \frac{8,90 \cdot 23,5}{1,7321} = 120,75 \text{ (kN)}$$

$$V_{Rd}^Z = 120,75 \text{ (kN)} \geq V_{Ed} = 8,47 \text{ (kN)}$$

Interakcija M-V:

$$0,5 \cdot V_{z,Rd} = 60,38 \text{ (kN)} \geq V_{Ed} = 8,47 \text{ (kN)}$$

Nema redukcije $M_{c,Rd}$ uslijed interakcije reznih sila!**Otpornost elementa:**

- Savijanje:

$$L_{CR} = 8,6 \text{ (m)} = 860 \text{ (cm)}$$

$$K = 1,0 \quad C_1 = 1,127$$

$$k_w = 1,0 \quad C_2 = 0,454$$

$$M_{CR} = C_1 \cdot \frac{\pi^2 \cdot E \cdot I_z}{(k \cdot L_{CR})^2} \cdot \left[\sqrt{\left(\frac{k}{k_w}\right)^2 \cdot \frac{I_w}{I_z} + \frac{(k \cdot L_{CR})^2 \cdot G \cdot I_T}{\pi^2 \cdot E \cdot I_z}} + (C_2 \cdot z_g)^2 - C_2 \cdot z_g \right] = 2747,11 \text{ (kNcm)} = 27,47 \text{ (kNm)}$$

$$\lambda_{LT} = \sqrt{\frac{W_{pl,y} \cdot f_y}{M_{CR}}} = 1,22 \geq \lambda_{LT,0} = 0,4$$

Reduciramo $M_{c,Rd}$ zbog mogućnosti instabiliteta elementa.

$$\text{Faktor imperfekcije: } \alpha_{LT} = 0,21 \quad \leftarrow \quad \text{Krivulja izvijanja : } a \begin{cases} \frac{h}{b} = 0,9 \leq 2 \\ \text{Vruće valjani I presjek} \end{cases}$$

$$\Phi_{LT} = 0,5 \cdot (1 + \alpha_{LT}(\lambda_{LT} - 0,2)) + \lambda_{LT}^2 = 1,35$$

$$\chi_{LT} = \frac{1}{\Phi_{LT} \cdot \sqrt{\Phi_{LT}^2 - \lambda_{LT}^2}} = 0,52$$

$$M_{B,Rd} = \chi_{LT} \cdot \frac{W_{pl,y} \cdot f_y}{\gamma_{m1}} = 0,503 \cdot \frac{324,9 \cdot 35,5}{1} = 2118,09 \text{ (kNcm)} = 21,18 \text{ (kNm)} \geq M_{Ed} = 18,21 \text{ (kNm)}$$

Profil HE 140 A zadovoljava otpornost elementa s iskoristivošću od 85,98%.



5.2.2. KROVNI SPREGOVI (SKD – POZICIJA 18)

| | | | | | |
|-------------------------------|--------------|---------------------------------------|------|----------------------|------|
| PROFIL: | vrućevaljani | RND 12 | | $\varepsilon = 1,00$ | |
| KVALITETA ČELIKA: | S235 | $f_y = 23.5 \text{ (kN/cm}^2\text{)}$ | | | |
| GEOMETRIJSKI PODATCI PROFILA: | | | | | |
| d (cm) | 1,2 | r (cm) | 0,6 | A (cm ²) | 1,13 |
| MEHANIČKI PODATCI ČELIKA: | | | | | |
| E (kN/cm ²) | 21000 | G (kN/cm ²) | 8077 | v | 0,30 |

Rezne sile uslijed kritične kombinacije

$$M_{Ed} = 0 \text{ (kNm)}$$

$$V_{Ed} = 0 \text{ (kN)}$$

$$N_{Ed} = +17,16 \text{ (kN)}$$

Otpornost poprečnog presjeka:

- Vlačna sila:

$$N_{t,Rd} = \frac{A \cdot f_y}{\gamma_{M0}} = \frac{1,13 \cdot 23,5}{1} = 26,56 \text{ (kN)} \geq N_{Ed} = 17,20 \text{ (kN)}$$

Profil RND 12 zadovoljava otpornost elementa s usvojenom iskoristivošću od 64,76%.

5.2.3. BOČNI (HORIZONTALNI) SPREGOVI (SB – POZICIJA 19 - 20)

| | | | | | |
|-------------------------------|--------------|---------------------------------------|------|----------------------|------|
| PROFIL: | vrućevaljani | RND 12 | | $\varepsilon = 1,00$ | |
| KVALITETA ČELIKA: | S235 | $f_y = 23.5 \text{ (kN/cm}^2\text{)}$ | | | |
| GEOMETRIJSKI PODATCI PROFILA: | | | | | |
| d (cm) | 1,2 | r (cm) | 0,6 | A (cm ²) | 1,13 |
| MEHANIČKI PODATCI ČELIKA: | | | | | |
| E (kN/cm ²) | 21000 | G (kN/cm ²) | 8077 | v | 0,30 |

Rezne sile uslijed kritične kombinacije (GSN 5.2.3.):

$$M_{Ed} = 0 \text{ (kNm)}$$

$$V_{Ed} = 0 \text{ (kN)}$$

$$N_{Ed} = +6,64 \text{ (kN)}$$

Otpornost poprečnog presjeka:

- Vlačna sila:

$$N_{t,Rd} = \frac{A \cdot f_y}{\gamma_{M0}} = \frac{1,13 \cdot 23,5}{1} = 26,56 \text{ (kN)} \geq N_{Ed} = 6,45 \text{ (kN)}$$

Profil RND 12 zadovoljava otpornost elementa s usvojenom iskoristivošću od 24,28%.



5.2.4. SPREG KROVNIH VERTIKALA (SKV – POZICIJA 11)

| | | | | | |
|--------------------------------------|--------------|---------------------------------------|----------------------|---|------|
| PROFIL: | vrućevaljani | CFRHS 50x50x4 | $\varepsilon = 1,00$ | | |
| KVALITETA ČELIKA: | S235 | $f_y = 23.5 \text{ (kN/cm}^2\text{)}$ | | | |
| GEOMETRIJSKI PODATCI PROFILA: | | | | | |
| b (cm) | 5,0 | t (cm) | 0,4 | | |
| h (cm) | 5,0 | A (cm ²) | 6,95 | | |
| W _{EL,Y} (cm ³) | 9,49 | I _y (cm ⁴) | 23,74 | | |
| W _{PL,Z} (cm ³) | 11,73 | I _z (cm ⁴) | 23,74 | | |
| MEHANIČKI PODATCI ČELIKA: | | | | | |
| E (kN/cm ²) | 21000 | G (kN/cm ²) | 8077 | v | 0,30 |

- Tlačna sila:

$$N_{C,Rd} = \frac{A \cdot f_y}{\gamma_{M0}} = \frac{6,95 \cdot 23,5}{1} = 163,33 \text{ (kN)} \geq N_{Ed} = 15,71 \text{ (kN)}$$

Otpornost elementa na izvijanje:

Dužina izvijanja elementa: $L_{cr,y} = 490 \text{ (cm)}$

$$L_{cr,z} = 490 \text{ (cm)}$$

$$N_{CR}^Z = \frac{\pi^2 \cdot E \cdot I_z}{L_i^2} = 20,47 \text{ (kN)}$$

$$\lambda^Z = \sqrt{\frac{A \cdot f_y}{N_{CR}^Z}} = 2,82$$

Faktor imperfekcije: $\alpha_{LT} = 0.21$

$$\varphi = 0,5 \cdot (1 + \alpha(\lambda - 0,2)) + \lambda^2 = 4,75$$

$$\chi = 1 / (\varphi + \sqrt{\varphi^2 + \lambda^2})$$

$$\chi^Z = 0,097$$

$$N_{b,Rd} = \chi^Z \cdot N_{C,Rd} = 15,84 \geq 15,71$$

Profil CFRHS 50/50/4 zadovoljava otpornost elementa s iskoristivosti od 99,18%.



5.2.5. KROVNE PODROŽNICE (KP – POZICIJA 16)

| | | | | | |
|--------------------------------------|--------------|---------------------------------------|--------|--------------------------|---------|
| PROFIL: | vrućevaljani | IPE 200 | | $\varepsilon = 1,00$ | |
| KVALITETA ČELIKA: | S235 | $f_y = 23,5 \text{ (kN/cm}^2\text{)}$ | | | |
| GEOMETRIJSKI PODATCI PROFILA: | | | | | |
| b (cm) | 10,0 | r (cm) | 1,20 | t_f (cm) | 0,90 |
| h (cm) | 20,0 | A (cm ²) | 28,50 | t_w (cm) | 0,60 |
| $W_{el,Y}$ (cm ³) | 194,0 | I_y (cm ⁴) | 1943,0 | I_w (cm ⁶) | 13000,0 |
| $W_{pl,Y}$ (cm ³) | 221,0 | I_z (cm ⁴) | 142,0 | I_T (cm ⁴) | 6,98 |
| $W_{el,Z}$ (cm ³) | 28,50 | $A_{v,Z}$ (cm ²) | 11,45 | | |
| $W_{pl,Z}$ (cm ³) | 44,60 | $A_{v,Y}$ (cm ²) | 17,73 | | |
| MEHANIČKI PODATCI ČELIKA: | | | | | |
| E (kN/cm ²) | 21000 | G (kN/cm ²) | 8077 | ν | 0,30 |

Rezne sile uslijed kritične kombinacije (GSN 5.2.4.):

| Y-Y | Z-Z |
|----------------------------------|---------------------------------|
| $M_{Ed,Y} = 16,83 \text{ (kNm)}$ | $M_{Ed,Z} = 1,19 \text{ (kNm)}$ |
| $V_{Ed,Y} = 0,97 \text{ (kN)}$ | $V_{Ed,Z} = 13,74 \text{ (kN)}$ |

Klasifikacija profila:

- Hrbat (savijanje)

$$\frac{d}{t_w} = \frac{h-2*t_f-2*r}{t_w} = 26,33$$

$$\text{Uvjet za klasu 1: } \frac{d}{t_w} \leq 72 \varepsilon = 72$$

Hrbat je klase 1

- Pojasnice (tlak):

$$\frac{c}{t_f} = \frac{0,5*(b-2*r-t_w)}{t_f} = 3,89$$

$$\text{Uvjet za klasu 1: } \frac{c}{t_f} \leq 9 \varepsilon = 9$$

Pojasnice su klase 1

Poprečni presjek je klase 1.

Otpornost poprečnog presjeka:

- Savijanje (Y-Y):

$$M_{c,Rd}^Y = M_{pl,Rd}^Y = \frac{W_{pl,y} * f_y}{\gamma_{mo}} = \frac{221,0 * 23,5}{1} = 5193,50 \text{ (kNcm)} = 51,94 \text{ (kNm)}$$

$$M_{c,Rd}^Y = 51,94 \text{ (kNm)} \geq M_{Ed}^Y = 16,83 \text{ (kNm)}$$

- Savijanje (Z-Z):

$$M_{c,Rd}^Z = M_{pl,Rd}^Z = \frac{W_{pl,z} * f_y}{\gamma_{mo}} = \frac{44,60 * 23,5}{1} = 1048,10 \text{ (kNcm)} = 10,48 \text{ (kNm)}$$

$$M_{c,Rd}^Z = 10,48 \text{ (kNm)} \geq M_{Ed}^Z = 1,19 \text{ (kNm)}$$



- Posmik (Z)

$$\frac{h_w}{t_w} = \frac{h-2*t_f}{t_w} = \frac{18,20}{0,60} = 30,33 \leq 72 \frac{\varepsilon}{\eta} = 72 \frac{1,00}{1,20} = 60,0$$

Nije potrebna kontrola izbočavanja hrpta uslijed djelovanja posmika!

$$A_{V,Z} = A - 2*b*t_f + (t_w+2*r)*t_f = 13,29 \text{ (cm}^2) \geq \eta * h_w * t_w = 13,10 \text{ (cm}^2) \quad \text{Uvjet zadovoljen!}$$

$$V_{Rd}^Z = V_{Pl,Rd} = \frac{A_{v,z}*f_y}{\sqrt{3}*\gamma_{m0}} = \frac{13,29 * 23.5}{1.7321} = 180,32 \text{ (kN)}$$

$$V_{Rd}^Z = 180,32 \text{ (kN)} \geq V_{Ed}^Z = 13,74 \text{ (kN)}$$

- Posmik (Y)

$$\frac{h_w}{t_w} = \frac{h-2*t_f}{t_w} = \frac{18,20}{0,60} = 30,33 \leq 72 \frac{\varepsilon}{\eta} = 72 \frac{1,00}{1,20} = 60,0$$

Nije potrebna kontrola izbočavanja hrpta uslijed djelovanja posmika!

$$A_{V,Y} = A - \Sigma h_w * t_w \text{ (cm}^2) = 17,58 \geq \eta * h_w * t_w = 13,10 \text{ (cm}^2) \quad \text{Uvjet zadovoljen!}$$

$$V_{Rd}^Y = V_{Pl,Rd} = \frac{A_{v,y}*f_y}{\sqrt{3}*\gamma_{m0}} = \frac{17,58 * 23.5}{1.7321} = 238,52 \text{ (kN)}$$

$$V_{Rd}^Y = 238,52 \text{ (kN)} \geq V_{Ed}^Y = 0,97 \text{ (kN)}$$

$$0.5*V_{RdZ} = 90,16 \text{ (kN)} \geq V_{Ed,z} = 13,74 \text{ (kN)}$$

$$0.5*V_{RdY} = 119,26 \text{ (kN)} \geq V_{Ed,Y} = 0,97 \text{ (kN)}$$

Nema redukcije $M_{c,Rd}$ uslijed interakcije reznih sila!

- Savijanje:

$$L_{CR} = 4.90 \text{ (m)} = 490 \text{ (cm)}$$

$$K = 1,0 \quad C_1 = 1,127$$

$$k_w = 1,0 \quad C_2 = 0,454$$

$$M_{CR} = C_1 * \frac{\pi^2 * E * I_z}{(k * L_{CR})^2} * \left[\sqrt{\left(\frac{k}{k_w}\right)^2 * \frac{I_w}{I_z} + \frac{(k * L_{CR})^2 * G * I_T}{\pi^2 * E * I_z}} + (C_2 * z_g)^2 - C_2 * z_g \right] = 2677,1 \text{ (kNm)} = 26,77 \text{ (kNm)}$$

$$\lambda_{LT} = \sqrt{\frac{W_{PL,Y} * f_y}{M_{CR}}} = 1,39 \geq \lambda_{LT,0} = 0.4$$

Reduciramo $M_{c,Rd}$ zbog mogućnosti instabiliteta elementa.



Faktor imperfekcije: $\alpha_{LT} = 0.21 \leftarrow$ Krivulja izvijanja : a $\left\{ \begin{array}{l} \frac{h}{b} = 2 \leq 2 \\ \text{Vruće valjani I presjek} \end{array} \right.$

$$\Phi_{LT} = 0.5 * (1 + \alpha_{LT}(\lambda_{LT} - 0.2) + \lambda_{LT}^2) = 1,60$$

$$\chi_{LT} = \frac{1}{\Phi_{LT} * \sqrt{\Phi_{LT}^2 - \lambda_{LT}^2}} = 0,42$$

$$M_{B,Rd} = \chi_{LT} * \frac{W_{pl,y} * f_y}{\gamma_{m1}} = 2188,62 \text{ (kNcm)} = 21,89 \text{ (kNm)} \geq M_{Ed}^Y = 16,83 \text{ (kNm)}$$

Profil IPE 200 zadovoljava otpornost elementa s iskoristivošću od 76,88%

5.2.6. BOČNE PODROŽNICE (BP – POZICIJA 17)

| | | | | | |
|--------------------------------------|--------------|---------------------------------------|-------|-----------------------------------|--------|
| PROFIL: | vrućevaljani | IPE 140 | | $\varepsilon = 1,00$ | |
| KVALITETA ČELIKA: | S235 | $f_y = 23.5 \text{ (kN/cm}^2\text{)}$ | | | |
| GEOMETRIJSKI PODATCI PROFILA: | | | | | |
| b (cm) | 7,30 | r (cm) | 0,70 | t _f (cm) | 0,70 |
| h (cm) | 14,0 | A (cm ²) | 16,40 | t _w (cm) | 0,50 |
| W _{el,Y} (cm ³) | 77,33 | I _y (cm ⁴) | 541,0 | I _w (cm ⁶) | 1980,0 |
| W _{pl,Y} (cm ³) | 88,30 | I _z (cm ⁴) | 44,90 | I _T (cm ⁴) | 2,45 |
| W _{el,Z} (cm ³) | 12,30 | A _{v,Z} (cm ²) | 6,62 | | |
| W _{pl,Z} (cm ³) | 19,30 | A _{v,Y} (cm ²) | 10,34 | | |
| MEHANIČKI PODATCI ČELIKA: | | | | | |
| E (kN/cm ²) | 21000 | G (kN/cm ²) | 8077 | ν | 0,30 |

Rezne sile uslijed kritične kombinacije (GSN 5.2.5.):

| Y-Y | Z-Z |
|-------------------------------|--------------------------------|
| M _{Ed,Y} = 3,20 | M _{Ed,Z} = 5,85 (kNm) |
| V _{Ed,Y} = 4,55 (kN) | V _{Ed,Z} = 2,61 (kN) |
| | |

Klasifikacija profila:

- Hrnat (savijanje)

$$\frac{d}{t_w} = \frac{h - 2 * t_f - 2 * r}{t_w} = 22,40$$

Uvjet za klasu 1: $\frac{d}{t_w} \leq 72 \varepsilon = 72$

Hrnat je klase 1

- Pojasnice (tlak):

$$\frac{c}{t_f} = \frac{0.5 * (b - 2 * r - t_w)}{t_f} = 3,85$$

Uvjet za klasu 1: $\frac{c}{t_f} \leq 9 \varepsilon = 9$

Pojasnice su klase 1

Poprečni presjek je klase 1.



Otpornost poprečnog presjeka:

- Savijanje (Y-Y):

$$M_{c,Rd}^Y = M_{pl,Rd} = \frac{W_{pl,y} * f_y}{\gamma_{m0}} = \frac{88,30 * 23,5}{1} = 2075,05 \text{ (kNcm)} = 20,75 \text{ (kNm)}$$

$$M_{c,Rd}^Y = 20,75 \text{ (kNm)} \geq M_{Ed}^Y = 3,20 \text{ (kNm)}$$

- Savijanje (Z-Z):

$$M_{c,Rd}^Z = M_{pl,Rd} = \frac{W_{pl,z} * f_y}{\gamma_{m0}} = \frac{19,30 * 23,5}{1} = 653,55 \text{ (kNcm)} = 6,54 \text{ (kNm)}$$

$$M_{c,Rd}^Z = 6,54 \text{ (kNm)} \geq M_{Ed}^Z = 5,85 \text{ (kNm)}$$

- Posmik (Z)

$$\frac{h_w}{t_w} = \frac{h - 2 * t_f}{t_w} = \frac{12,60}{0,5} = 25,20 \leq 72 \frac{\epsilon}{\eta} = 72 \frac{1,00}{1,20} = 60,0$$

Nije potrebna kontrola izbočavanja hrpta uslijed djelovanja posmika!

$$A_{v,Z} = A - 2 * b * t_f + (t_w + 2 * r) * t_f = 7,51 \text{ (cm}^2) \geq \eta * h_w * t_w = 7,48 \text{ (cm}^2) \quad \text{Uvjet zadovoljen!}$$

$$V_{Rd}^Z = V_{pl,Rd} = \frac{A_{v,z} * f_y}{\sqrt{3} * \gamma_{m0}} = \frac{7,51 * 23,5}{1,7321} = 101,89 \text{ (kN)}$$

$$V_{Rd}^Z = 101,89 \text{ (kN)} \geq V_{Ed}^Z = 2,61 \text{ (kN)}$$

- Posmik (Y)

$$\frac{h_w}{t_w} = \frac{h - 2 * t_f}{t_w} = \frac{12,60}{0,5} = 25,20 \leq 72 \frac{\epsilon}{\eta} = 72 \frac{1,00}{1,20} = 60,0$$

Nije potrebna kontrola izbočavanja hrpta uslijed djelovanja posmika!

$$A_{v,Y} = A - \Sigma h_w * t_w \text{ (cm}^2) = 10,10 \geq \eta * h_w * t_w = 7,48 \text{ (cm}^2) \quad \text{Uvjet zadovoljen!}$$

$$V_{Rd}^Y = V_{pl,Rd} = \frac{A_{v,z} * f_y}{\sqrt{3} * \gamma_{m0}} = \frac{10,10 * 23,5}{1,7321} = 137,03 \text{ (kN)}$$

$$V_{Rd}^Y = 137,03 \text{ (kN)} \geq V_{Ed}^Y = 4,55 \text{ (kN)}$$

- Savijanje:

$$L_{CR} = 4,90 \text{ (m)} = 490 \text{ (cm)} \quad z_G = \frac{h}{2} = 7 \text{ (cm)}$$

$$k = 1,0 \quad C_1 = 1,127$$

$$k_w = 1,0 \quad C_2 = 0,454$$



$$M_{CR} = C_1 * \frac{\pi^2 * E * I_z}{(k * L_{CR})^2} * \left[\sqrt{\left(\frac{k}{k_w}\right)^2 * \frac{I_w}{I_z} + \frac{(k * L_{CR})^2 * G * I_T}{\pi^2 * E * I_z} + (C_2 * z_g)^2} - C_2 * z_g \right] = 899,20 \text{ (kNcm)} = 9,00 \text{ (kNm)}$$

$$\lambda_{LT} = \sqrt{\frac{W_{PLY} * f_y}{M_{CR}}} = 1,519 \geq \lambda_{LT,0} = 0,4$$

Reduciramo $M_{c,Rd}$ zbog mogućnosti instabiliteta elementa.

Faktor imperfekcije: $\alpha_{LT} = 0,21$ ← Krivulja izvijanja : a $\left\{ \begin{array}{l} \frac{h}{b} = 0,92 \leq 2 \\ \text{Vruće valjani I presjek} \end{array} \right.$

$$\Phi_{LT} = 0,5 * (1 + \alpha_{LT}(\lambda_{LT} - 0,2) + \lambda_{LT}^2) = 1,792$$

$$\chi_{LT} = \frac{1}{\Phi_{LT} * \sqrt{\Phi_{LT}^2 - \lambda_{LT}^2}} = 0,365$$

$$M_{B,Rd} = \chi_{LT} * \frac{W_{pl,y} * f_y}{\gamma_{m1}} = 756,73 \text{ (kNcm)} = 7,57 \text{ (kNm)} \geq M_{Ed}^Y = 5,85 \text{ (kNm)}$$

Profil IPE 140 zadovoljava otpornost elementa s iskoristivosti od 77,28 %.

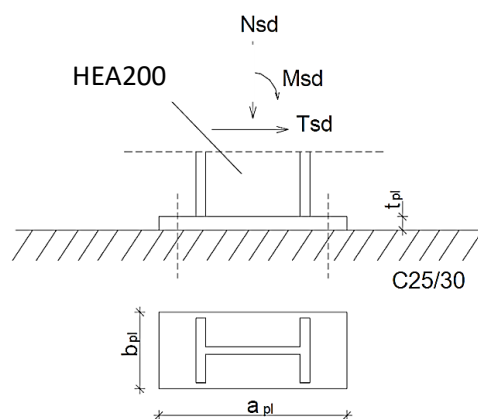
6. DIMENZIONIRANJE SPOJEVA ELEMENATA KONSTRUKCIJE

Proračun spojeva odrađen je nakon dimenzioniranja svih elemenata konstrukcije te su sukladno tome uzeti dijagrami reznih sila s usvojenim profilima kao mjerodavni.

6.1. UPETI SPOJ TEMELJ - STUP (P1 – POZICIJA 23)

| GSN 3 | |
|------------------------|--|
| $M_{Ed} = 37,31$ (kNm) | |
| $V_{Ed} = 7,99$ (kN) | |
| $N_{Ed} = 17,46$ (kN) | |

| PODATCI O PROFILU | | | |
|-------------------|------|--------------------------------|-----|
| b (cm) | 20,0 | t_F (cm) | 1,0 |
| h (cm) | 19,0 | t_w (cm) | 0,7 |
| PODATCI O VIJCIMA | | | |
| ϕ (mm) | M22 | $f_{y,B}$ (N/mm ²) | 300 |
| K.V. | 5,6 | $f_{u,B}$ (N/mm ²) | 500 |



Skica upetog spoja temelj stup

Desni stup

1D internal forces

Values: M_y

Linear calculation

Combination: GSN3

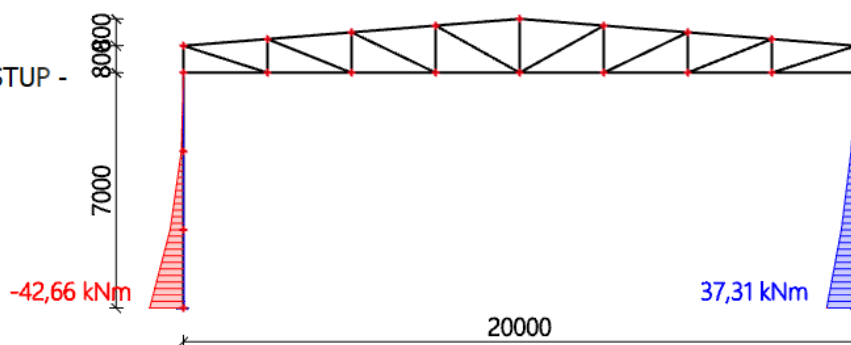
Coordinate system: Member

Extreme 1D: Global

Selection: All

Filter: Cross-section = 1STUP -

HEA200



**1D internal forces**Values: V_z

Linear calculation

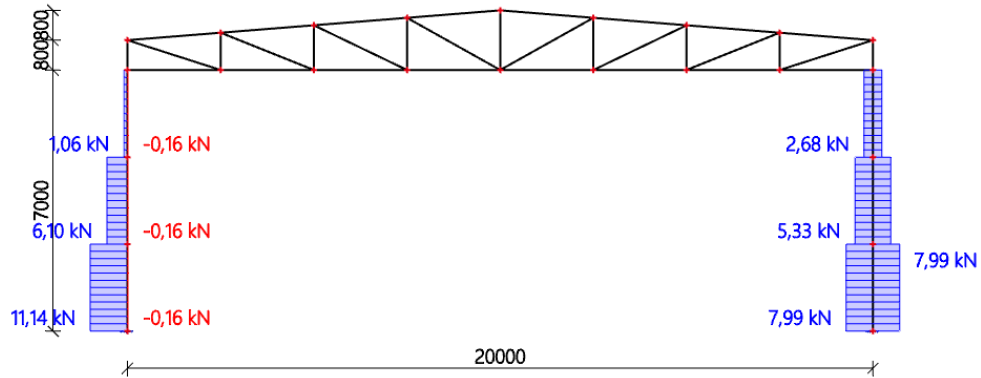
Combination: GSN3

Coordinate system: Member

Extreme 1D: Member

Selection: All

Filter: Cross-section = 1STUP - HEA200

**1D internal forces**Values: N

Linear calculation

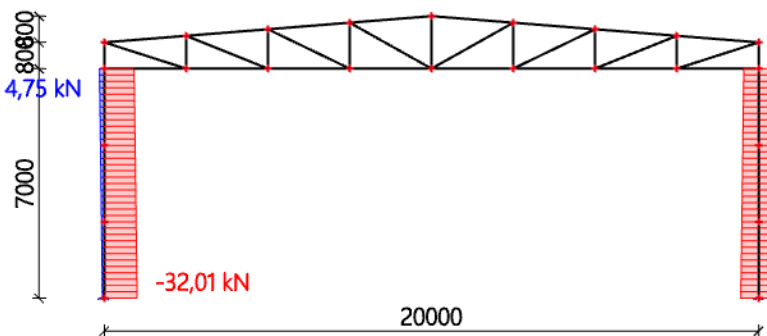
Combination: GSN3

Coordinate system: Member

Extreme 1D: Global

Selection: All

Filter: Cross-section = 1STUP - HEA200



$$N_P^M = \frac{M_{Ed}}{h-t_f} = \frac{37,31}{0,19-0,010} = 196,67 \text{ (kN)}$$

$$N_P^N = \frac{A^P}{A} N_{Ed} = \frac{20 \cdot 1}{53,8} 17,46 = 14,67 \text{ (kN)}$$

Ukupna sila u vlačnoj pojasnici:

$$F_{W,Ed} = N_P = N_P^M - N_P^N = 196,67 - 14,67 = 182,00 \text{ (kN)}$$

$$a_{MAX} = 0,7 \cdot t_{MIN} = 0,7 \cdot 0,7 = 0,49 \text{ (cm)}$$

→ Usvojeno: $a = 4 \text{ (mm)}$

Otpornost vara:

$$\text{Duljina vara pojasnice: } l = 2 \cdot 200 = 400$$



Duljina vara hrpta : $l = 2 \cdot 170 = 340$

- Uzdužna sila:

$$F_{W,Rd} = \frac{F_{W,Rk}}{1,25} \cdot \frac{L_{var}^F}{100} = \frac{129,0}{1,25} \cdot \frac{400}{100} = 412,80 \text{ (kN)} \geq F_{W,Ed} = 182,00 \text{ (kN)}$$

- Poprečna sila:

$$F_{W,Rd} = \frac{F_{W,Rk}}{1,25} \cdot \frac{L_{var}^W}{100} = \frac{129,0}{1,25} \cdot \frac{340}{100} = 350,88 \text{ (kN)} \geq V_{Ed} = 7,99 \text{ (kN)}$$

Proračun vijaka:

Za M 22: $C_{MIN} = 2d + a\sqrt{2} = 2 \cdot 22 + 4 \cdot 1,41 = 49,6 \text{ (mm)} \rightarrow$ Usvojeno: $C = 50 \text{ (mm)}$

$$e = \frac{M_{Ed}}{N_{Ed}} = \frac{37,13}{17,46} = 2,13 \text{ (m)}$$

$$X_1 = C + h - \frac{t_f}{2} = 50 + 190 - 5 = 235,00 \text{ (mm)} = 0,235 \text{ (m)}$$

$$X_2 = e - \frac{h}{2} + \frac{t_f}{2} = 2130 - 95 + 5 = 2040 \text{ (mm)} = 2,04 \text{ (m)}$$

$$N_{Ed} \cdot X_2 = F_{T,Ed} \cdot X_1 \rightarrow F_{T,Ed} = N_{Ed} \cdot \frac{X_2}{X_1} = 17,46 \cdot \frac{2,04}{0,235} = 151,57 \text{ (kN)}$$

- Uzdužna sila:

Otpornost vijka na vlak:

$$F_{T,Rd} = \frac{F_{T,Rk}}{1,25} = \frac{136,4}{1,25} = 109,12 \text{ (kN)} \geq \frac{F_{T,Ed}}{2} = 75,79 \text{ (kN)}$$

- Posmik:

$$F_{V,Rd} = \frac{F_{V,Rk}}{1,25} = \frac{90,9}{1,25} = 72,72 \text{ (kN)} \geq \frac{V_{Ed}}{4} = 2,00 \text{ (kN)}$$

- Interakcija:

$$\frac{F_{V,Ed}}{F_{V,Rd}} + \frac{F_{T,Ed}}{1,4 \cdot F_{T,Rd}} = 0,028 + 0,496 = 0,52 \leq 1,00$$

Proračun dimenzija pločice:

$$a_{PL}^{MIN} = h + 2(c + e_1) = 190 + 2(50 + 55) = 400 \text{ (mm)}$$

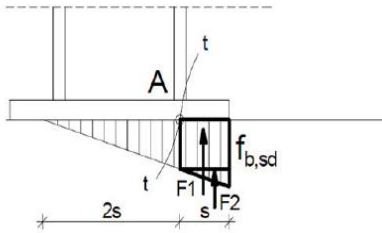
$$b_{PL}^{MIN} = b + 2a\sqrt{2} + 20 \text{ (mm)} = 200 + 2 \cdot 4 \cdot \sqrt{2} + 20 \text{ (mm)} = 231,31 \text{ (mm)}$$

$$b_{PL}^{MIN} = p_2 + 2e_2 = 75 + 2 \cdot 45 = 165 \text{ (mm)}$$

Usvojene dimenzije pločice: 400 x 240 (mm)



Proračun debljine pločice:



Pritisak po omotaču rupe:

$$F_{B,Rd} = \frac{F_{B,Rk} t_{PL}}{1.25 \cdot 10} = \frac{151,3 t_{PL}}{1.25 \cdot 10} = 12,104 t_{PL} \geq F_{B,Ed} = \frac{V_{Ed}}{4} = 2,00 \text{ (kN)}$$

Savijanje pločice zbog odgovora betona:

$$S = (400 - 190 + 10) / 2 = 110,0 \text{ (mm)} = 11,0 \text{ (cm)}$$

$$R = F_{T,Ed} + N_{Ed} = 151,58 + 17,46 = 169,04 \text{ (kN)}$$

Naprezanje u betonu:

$$f_{b,Ed} = 2R / (3 \cdot s \cdot b_{PL}) = 338,08 / (3 \cdot 11,0 \cdot 24) \text{ (kN/cm}^2\text{)} = 0,427 \leq f_{c,Rd} = \frac{f_{ck}}{1,5} = 1,67 \text{ (kN/cm}^2\text{)}$$

Savijanje pločice:

$$M_{Ed} = \frac{2}{3} \cdot f_{b,sd} \cdot s \cdot b_{pl} \cdot \frac{s}{2} + \frac{\frac{1}{3} f_{b,sd} \cdot s \cdot b}{2} \cdot \frac{2}{3} s = \frac{2}{3} \cdot 4270 \cdot 0,11 \cdot 0,24 \cdot \frac{0,11}{2} + \frac{\frac{1}{3} \cdot 4270 \cdot 0,11 \cdot 0,24}{2} \cdot \frac{2}{3} \cdot 0,11 = 4,13 + 1,30 = 5,43 \text{ kNm}$$

Savijanje pločice zbog vlačnih vijaka:

$$M_{Ed} = F_{T,Ed} \left(c + \frac{t_f}{2} \right) = 151,58 (0,05 + 0,005) = 8,34 \text{ (kNm)}$$

$$M_{Ed}^{MAX} \leq \frac{W_{MIN} \cdot f_y}{1,10} \rightarrow W_{min} = \frac{1,1 \cdot M_{Ed}^{MAX}}{f_y} = \frac{b_{PL} \cdot t_{PL}^2}{6} \rightarrow t_{PL} = \sqrt{\frac{1,1 \cdot M_{Ed} \cdot 6}{b_{PL} \cdot f_y}} = \sqrt{\frac{1,1 \cdot 834 \cdot 6}{24 \cdot 23,5}} = 3,12$$

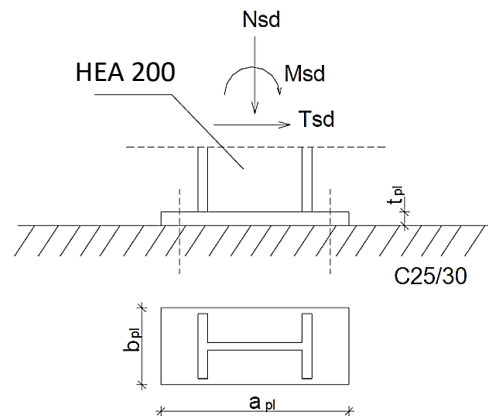
Usvojene dimenzije pločice : 400 x 240 x 32 (mm)



Dokaz nosivosti na osnovu kombinacije GSN 2:

| GSN 2 | |
|------------|-------------|
| $M_{Ed} =$ | 50,85 (kNm) |
| $V_{Ed} =$ | 17,10 (kN) |
| $N_{Ed} =$ | 78,50 (kN) |

| PODATCI O PROFILU | | | |
|-------------------|------|--------------------------------|-----|
| b (cm) | 20,0 | t_F (cm) | 1,0 |
| h (cm) | 19,0 | t_w (cm) | 0,7 |
| PODATCI O VIJCIMA | | | |
| ϕ (mm) | M22 | $f_{y,B}$ (N/mm ²) | 300 |
| K.V. | 5,6 | $f_{u,B}$ (N/mm ²) | 500 |



Skica upetog spoja temelj stup

GSN 2

Lijevi stup

1D internal forces

Values: M_y

Linear calculation

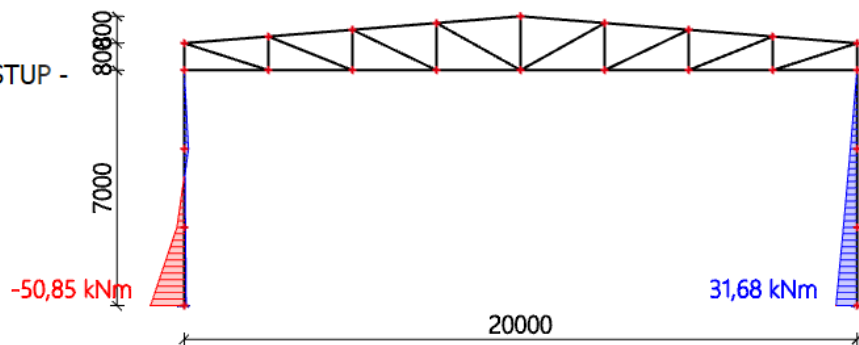
Combination: GSN2

Coordinate system: Member

Extreme 1D: Global

Selection: All

Filter: Cross-section = 1STUP - HEA200



**1D internal forces**Values: V_z

Linear calculation

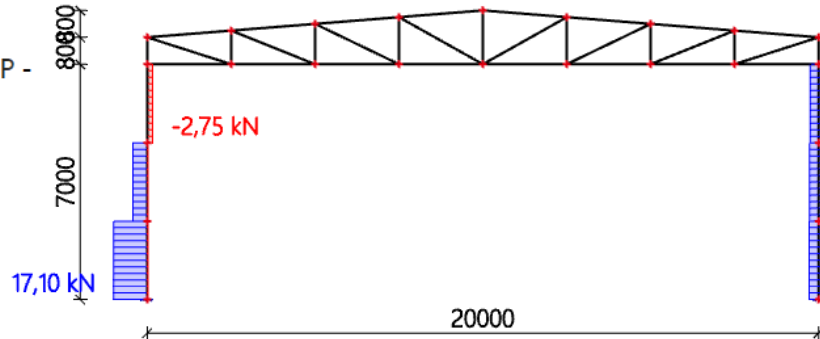
Combination: GSN2

Coordinate system: Member

Extreme 1D: Global

Selection: All

Filter: Cross-section = 1STUP - HEA200

**1D internal forces**Values: N

Linear calculation

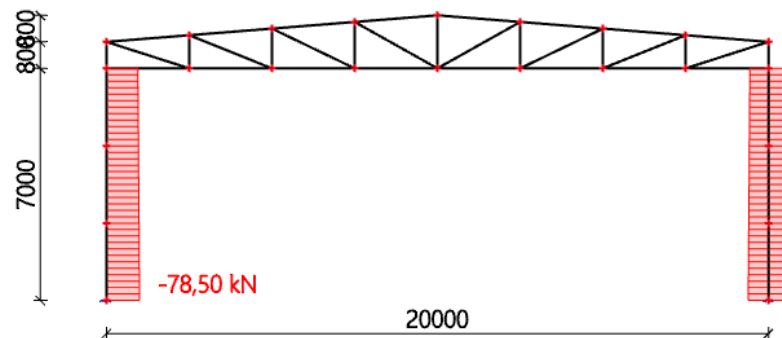
Combination: GSN2

Coordinate system: Member

Extreme 1D: Global

Selection: All

Filter: Cross-section = 1STUP - HEA200



$$N_P^M = \frac{M_{Ed}}{h-t_f} = \frac{50,85}{0,19-0,010} = 282,50 \text{ (kN)}$$

$$N_P^N = \frac{A^P}{A} N_{Ed} = \frac{20 \cdot 1}{53,8} 78,50 = 29,18 \text{ (kN)}$$

Ukupna sila u vlačnoj pojasnici:

$$F_{W,Ed} = N_P = N_P^M + N_P^N = 282,50 + 29,18 = 311,68 \text{ (kN)}$$

$$a_{MAX} = 0,7 \cdot t_{MIN} = 0,7 \cdot 0,7 = 0,49 \text{ (cm)} \quad \rightarrow \text{Usvojeno: } a = 4 \text{ (mm)}$$

Otpornost vara:

$$\text{Duljina vara pojasnice: } l = 2 \cdot 200 = 400$$

$$\text{Duljina vara hrpta: } l = 2 \cdot 170 = 340$$



- Uzdužna sila:

$$F_{W,Rd} = \frac{F_{W,Rk}}{1.25} \cdot \frac{L_{var}^F}{100} = \frac{129,0}{1.25} \cdot \frac{400}{100} = 412,80 \text{ (kN)} \geq F_{W,Ed} = 253,32 \text{ (kN)}$$

- Poprečna sila:

$$F_{W,Rd} = \frac{F_{W,Rk}}{1.25} \cdot \frac{L_{var}^W}{100} = \frac{129,0}{1.25} \cdot \frac{340}{100} = 350,88 \text{ (kN)} \geq V_{Ed} = 17,10 \text{ (kN)}$$

Proračun vijaka:

$$\text{Za M 22: } C_{MIN} = 2d + a\sqrt{2} = 2 \cdot 22 + 4 \cdot 1,41 = 49,6 \text{ (mm)} \rightarrow \text{Usvojeno: } C = 50 \text{ (mm)}$$

$$e = \frac{M_{Ed}}{N_{Ed}} = \frac{50,85}{78,50} = 0,6478 \text{ (m)}$$

$$X_1 = C + h - \frac{t_f}{2} = 50 + 190 - 5 = 235,00 \text{ (mm)} = 0,235 \text{ (m)}$$

$$X_2 = e - \frac{h}{2} + \frac{t_f}{2} = 647,8 - 95 + 5 = 557,8 \text{ (mm)} = 0,558 \text{ (m)}$$

$$N_{Ed} \cdot X_2 = F_{T,Ed} \cdot X_1 \rightarrow F_{T,Ed} = N_{Ed} \cdot \frac{X_2}{X_1} = 78,50 \cdot \frac{0,558}{0,235} = 189,40 \text{ (kN)}$$

- Uzdužna sila:

Otpornost vijka na vlak:

$$F_{T,Rd} = \frac{F_{T,Rk}}{1.25} = \frac{136,4}{1.25} = 109,12 \text{ (kN)} \geq \frac{F_{T,Ed}}{2} = 93,2 \text{ (kN)}$$

- Posmik:

$$F_{V,Rd} = \frac{F_{V,Rk}}{1.25} = \frac{90,9}{1.25} = 72,72 \text{ (kN)} \geq \frac{V_{Ed}}{4} = 4,28 \text{ (kN)}$$

- Interakcija:

$$\frac{F_{V,Ed}}{F_{V,Rd}} + \frac{F_{T,Ed}}{1,4 \cdot F_{T,Rd}} = 0,059 + 0,610 = 0,67 \leq 1,00$$

Proračun dimenzija pločice:

$$a_{PL}^{MIN} = h + 2(c + e_1) = 190 + 2(50 + 55) = 400 \text{ (mm)}$$

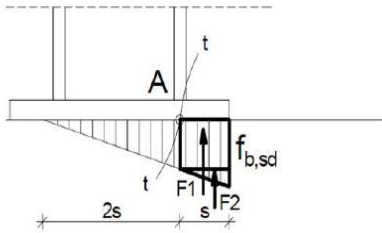
$$b_{PL}^{MIN} = b + 2a\sqrt{2} + 20 \text{ (mm)} = 200 + 2 \cdot 4 \cdot \sqrt{2} + 20 \text{ (mm)} = 231,31 \text{ (mm)}$$

$$b_{PL}^{MIN} = p_2 + 2e_2 = 75 + 2 \cdot 45 = 165 \text{ (mm)}$$

Usvojene dimenzije pločice: 400 x 240 (mm)



Proračun debljine pločice:



Pritisak po omotaču rupe:

$$F_{B,Rd} = \frac{F_{B,Rk} t_{PL}}{1.25 \cdot 10} = \frac{151,3 t_{PL}}{1.25 \cdot 10} = 12,104 t_{PL} \geq F_{B,Ed} = \frac{V_{Ed}}{4} = 4,28 \text{ (kN)}$$

Savijanje pločice zbog odgovora betona:

$$S = (400 - 190 + 10) / 2 = 110,0 \text{ (mm)} = 11,0 \text{ (cm)}$$

$$R = F_{T,Ed} + N_{Ed} = 186,40 + 78,50 = 164,90 \text{ (kN)}$$

Naprezanje u betonu:

$$f_{b,Ed} = 2R / (3 \cdot s \cdot b_{PL}) = 329,80 / (3 \cdot 11 \cdot 24) \text{ (kN/cm}^2\text{)} = 0,416 \leq f_{c,Rd} = \frac{f_{ck}}{1,5} = 1,67 \text{ (kN/cm}^2\text{)}$$

Savijanje pločice:

$$M_{Ed} = \frac{2}{3} \cdot f_{b,Ed} \cdot s \cdot b_{pl} \cdot \frac{s}{2} + \frac{\frac{1}{3} f_{b,sd} \cdot s \cdot b}{2} \cdot \frac{2}{3} s = \frac{2}{3} \cdot 4160 \cdot 0,11 \cdot 0,24 \cdot \frac{0,11}{2} + \frac{\frac{1}{3} 4160 \cdot 0,11 \cdot 0,24}{2} \cdot \frac{2}{3} \cdot 0,11 = 4,03 + 1,34 = 5,37 \text{ kNm}$$

Savijanje pločice zbog vlačnih vijaka:

$$M_{Ed} = F_{T,Ed} \left(c + \frac{t_f}{2} \right) = 186,40 (0,05 + 0,005) = 10,25 \text{ (kNm)}$$

$$M_{Ed}^{MAX} \leq \frac{W_{MIN} \cdot f_y}{1,10} \rightarrow W_{min} = \frac{1,1 \cdot M_{Ed}^{MAX}}{f_y} = \frac{b_{PL} \cdot t_{PL}^2}{6} \rightarrow t_{PL} = \sqrt{\frac{1,1 \cdot M_{Ed} \cdot 6}{b_{PL} \cdot f_y}} = \sqrt{\frac{1,1 \cdot 10,25 \cdot 6}{24 \cdot 23,5}} = 3,46$$

Konačno usvojene dimenzije pločice : **400 x 240 x 35 (mm)**

6.2. VLAČNI NASTAVAK REŠETKE (P3 – POZICIJA 25)

$$N_{Ed} = 214,05$$

DONJI POJAS - CFRHS 90x90x5

KONTROLA VAROVA

Određivanje maksimalne debljine vara:

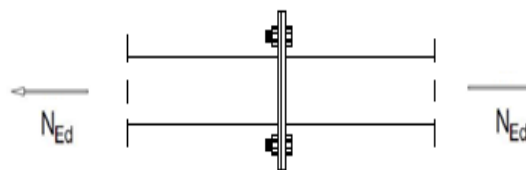
$$a_{max} = 0.7 \cdot t_{min} = 0.7 \cdot 5 = 3,5 \text{ mm}$$

odabrano $a = 3,5 \text{ mm}$

Otpornost vara

$$L_w = 0 = 3,5 \cdot 90 = 315 \text{ mm}$$

$$F_{w,Rd} = \frac{F_{w,Rk}}{\gamma_{Mw}} \cdot \frac{L_w}{100} = \frac{90,9}{1,25} \cdot \frac{315}{100} = 229,07 \text{ kN} > N_{Ed} = 214,05 \text{ kN}$$



Skica vlačnog nastavka rešetke

PRORAČUN VIJAKA

Pretpostavka: vijci M22 k.v. 5.6.

$n = 4$ vijka

Otpornost vijaka na vlak

$$F_{t,Rd} = \frac{F_{t,Rk}}{\gamma_{M1}} = \frac{136,4}{1,25} = 109,12 \text{ kN}$$

$$F_{t,Ed} = \frac{N_{Ed}}{4} = \frac{214,05}{4} = 53,51 \text{ kN} < F_{t,Rd} = 109,12 \text{ kN}$$

PRORAČUN PLOČE

Proračun dimenzija ploče:

$$c = 2d + a\sqrt{2} = 2 \cdot 22 + 3,5\sqrt{2} = 48,50 \text{ mm}$$

$$b_{pl,min} = 2e_2 + p_2 = 2 \cdot 45 + 75 = 165 \text{ mm}$$

$$b_{pl,min} = b + 2a\sqrt{2} + 20 = 90 + 9,90 + 20 = 119,9 \text{ mm}$$

Odabrane dimenzije ploče su 265x265 mm



Proračun minimalne debljine ploče t_{pl} :

$$e = 25 \text{ mm}$$

$$b_{pl} = 265 \text{ mm}$$

$$M_{Ed} = 2 \cdot F_{t,Ed} \cdot e = 2 \cdot 53,51 \cdot 0,055 = 5,89 \text{ kNm}$$

$$M_{Ed} \leq \frac{W_{min} \cdot f_y}{1,1} \rightarrow W_{min} = \frac{1,1 \cdot M_{Ed}}{f_y} = \frac{b_{pl} \cdot t_{pl}^2 \cdot \sigma_{min}}{6}$$

$$\rightarrow t_{pl}^{min} = \sqrt{\frac{1,1 \cdot M_{Ed} \cdot 6}{b_{pl} \cdot f_y}} = \sqrt{\frac{1,1 \cdot 589 \cdot 6}{26,5 \cdot 23,5}} = 2,5 \text{ cm}$$

Zadovoljava ploča debljine $t_{pl} = 25 \text{ mm}$

Odabrane dimenzije ploče su **265x265x25mm.**



6.3. NASTAVAK GORNJEG POJASA (P5 – POZICIJA 27)

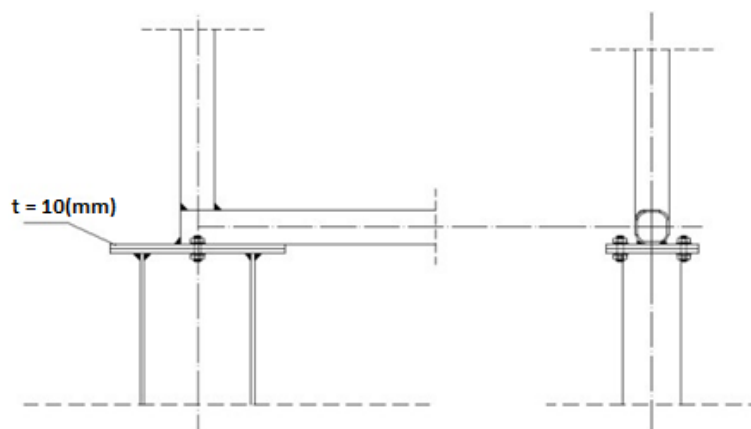
Budući da u gornjem pojasu rešetke prevladavaju tlačne sile koje djeluju stabilizirajuće na spoj radi jednostavnosti proračuna mogli bismo usvojiti iste dimenzije spoja kao i za nastavak donjeg pojasa rešetke (vlačnog nastavka rešetke), no zbog konstruktivnih razloga usvajamo veće dimenzije ploče.

Napomena: U jednoj od kombinacija prema GSN-u na mjestu nastavka gornjeg pojasa javlja se vlačna sila značajno manjeg iznosa od one u donjem pojasu. S obzirom da se radi o profilu koji za razliku od donjeg pojasa ima veće geometrijske karakteristike (gornji pojas CFRHS 120x120x6, donji pojas CFRHS 90x90x5) radi jednostavnosti izvedbe možemo usvojiti iste dimenzije spoja kao za vlačni nastavak rešetke.

Odabrane dimenzije ploče su **280x280x25mm**.

Konačno usvojeni vijci **M22 K.V. 5.6**.

6.4. SPOJ STUP REŠETKA (P2 – POZICIJA 24)



Skica spoja stup - rešetka

| DJELOVANJA: |
|------------------------------|
| $N_{ED} = 98,10$ (kN) (tlak) |
| $V_{ED} = 1,95$ (kN) |

| PODACI O POPREČNOM PRESJEKU CFRHS 90/90/5 | | | |
|--|-----------|--------------------------------|------|
| b(cm) | 9 | t(cm) | 0,5 |
| h(cm) | 9 | | |
| PODATCI O PROFILU HEA 200 | | | |
| b (cm) | 20 | t_F (cm) | 1 |
| h (cm) | 19 | t_w (cm) | 0,65 |
| PODATCI O VIJCIMA | | | |
| ϕ (mm) | $\phi 22$ | $f_{y,B}$ (N/mm ²) | 300 |
| K.V. | 5.6. | $f_{u,B}$ (N/mm ²) | 500 |

Otpornost vara:

Duljina vara pojasnice: $l = 2 \cdot 200 = 400$

Duljina vara hrpta: $l = 2 \cdot 170 = 340$

Maksimalna debljina vara $a_{MAX} = 0,7 \cdot t_{MIN} = 0,7 \cdot 6,5 = 4,55$ (mm) \rightarrow Usvojeno: $a = 4$ (mm)

Kontrola varova:

- Uzdužna sila:

$$F_{W,Rd} = \frac{F_{W,Rk}}{1,25} \cdot \frac{L_{var} F}{100} = \frac{103,9}{1,25} \cdot \frac{400}{100} = 332,48 \text{ (kN)} \geq F_{W,Ed} = 98,10 \text{ (kN)}$$



- Poprečna sila:

$$F_{W,Rd} = \frac{F_{W,Rk}}{1,25} \cdot \frac{L_{var}^W}{100} = \frac{103,9}{1,25} \cdot \frac{340}{100} = 282,61 \text{ (kN)} \geq V_{Ed} = 1,95 \text{ (kN)}$$

Proračun vijaka:

$$\text{Za M 22: } C_{MIN} = 2d + a\sqrt{2} = 2 \cdot 22 + 4\sqrt{2} = 49,66 \text{ (mm)} \rightarrow \text{Usvojeno: } C = 50 \text{ (mm)}$$

Otpornost vijka na posmik:

$$F_{V,Rd} = \frac{F_{V,Rk}}{1,25} = \frac{90,9}{1,25} = 72,72 \text{ (kN)} \geq \frac{V_{Ed}}{4} = 0,49 \text{ (kN)}$$

Proračun dimenzija pločice:

$$b_{pl,min} = b + 2 \cdot a\sqrt{2} + 20 = 200 + 2 \cdot 4\sqrt{2} + 20 = 231,31 \text{ (mm)}$$

$$a_{pl,min} = h + 2 \cdot (c + e_1) = 190 + 2 \cdot (50 + 55) = 400 \text{ (mm)}$$

Odabrano: 240 x 240 (mm) (usvajamo manje dimenzije spojne pločice)

Proračun debljine ploče t_{pl} :

Pritisak po omotaču rupe od osnovnog materijala:

$$F_{v,Ed} = \frac{V_{Ed}}{2} = 0,975 \text{ (kN)} < F_{b,Ed} = \frac{F_{b,Rk}}{\gamma_{Mb}} \cdot \frac{t_{pl}}{10} \rightarrow t_{pl} > \frac{F_{b,Ed} \cdot \gamma_{Mb} \cdot 10}{F_{b,Rk}}$$
$$t_{pl} > \frac{0,975 \cdot 1,25 \cdot 10}{151,3} = 0,081 \text{ (mm)}$$

Savijanje ploče od vlačnih vijaka:

$$M_{Ed} = F_{t,Ed} \cdot c = 98,1 \cdot 0,081 = 7,946 \text{ (kNm)}$$

$$\rightarrow t_{pl,min} = \sqrt{\frac{1,1 \cdot M_{Ed} \cdot 6}{b_{pl} \cdot f_y}} = \sqrt{\frac{1,1 \cdot 7,946 \cdot 6}{23,1 \cdot 23,5}} = 0,98 \text{ (cm)} \rightarrow 9,8 \text{ (mm)}$$

Usvojene dimenzije ploče su: **240 x 240 x 10 mm.**

Konačno usvojeni vijci: **M22 K.V. 5.6. (2 vijka)**



6.5. SPOJ KROVNA PODROŽNICA - GORNJI POJAS (P4 – POZICIJA 26)

| DJELOVANJA: |
|---|
| $V_{ED,Y} = 0,98$ (kN) |
| $V_{ED,Z} = 3,43$ (kN) (vjetar odižući) |

| PODACI O POPREČNOM PRESJEKU SHS 120/120/6 | | | |
|--|------|---------------------------------------|------|
| b(cm) | 12 | t(cm) | 0,6 |
| h(cm) | 12 | | |
| PODATCI O PROFILU IPE 200 | | | |
| h (cm) | 20 | t _F (cm) | 0,90 |
| b (cm) | 10 | t _w (cm) | 0,60 |
| PODATCI O VIJCIMA | | | |
| φ (mm) | φ 22 | f _{y,B} (N/mm ²) | 300 |
| K.V. | 5.6. | f _{u,B} (N/mm ²) | 500 |

Maksimalna debljina vara $a_{MAX} = 0,7 \cdot t_{MIN} = 0,7 \cdot 6,0 = 4,20$ (mm) → Usvojeno: $a = 4$ (mm)

Otpornost vara:

$$L_w = 0 = 4 \cdot 120 = 480 \text{ mm}$$

$$F_{w,Rd} = \frac{F_{w,Rk}}{\gamma_{Mw}} \cdot \frac{L_w}{100} = \frac{103,9}{1,25} \cdot \frac{480}{100} = 398,98 \text{ kN} > V_{ed,z} = 12,64 \text{ kN}$$

Otpornost vijaka na vlak:

$$F_{t,Rd} = \frac{F_{t,Rk}}{\gamma_{M1}} = \frac{136,4}{1,25} = 109,12 \text{ kN}$$

$$F_{t,Ed} = \frac{V_{z,ed}}{4} = \frac{3,43}{4} = 0,858 \text{ kN} < F_{t,Rd} = 109,12 \text{ kN}$$

Otpornost vijaka na posmik:

$$F_{v,Rd} = \frac{F_{v,Rk}}{\gamma_{M1}} = \frac{90,9}{1,25} = 72,72 \text{ kN}$$

$$F_{v,Ed} = \frac{V_{y,ed}}{4} = \frac{0,98}{4} = 0,245 \text{ kN} < F_{v,Rd} = 72,72 \text{ kN}$$

Spoj podrožnice na gornji pojas izvest će se zavarivanjem pravokutne ploče na gornji pojas nosača dimenzija **240x100x10 mm**.

Konačno usvojeni vijci: **M22 K.V. 5.6.**



7. LITERATURA

- [1] Prof.dr.sc. Ivica Boko: Predavanja Osnove metalnih konstrukcija

- [2] Materijali sa vježbi: Osnove metalnih konstrukcija, katedra za metalne i drvene konstrukcije

- [3] B. Androić; D. Dumović; I. Džeba: Metalne konstrukcije 1, Institut građevinarstva Hrvatske, Zagreb, 1994.

- [4] B. Androić; D. Dumović; I. Džeba: Metalne konstrukcije 2, Institut građevinarstva Hrvatske, Zagreb, 1994.

- [5] FGAG repozitorij: Repozitorij Fakulteta Građevinarstva, arhitekture i geodezije, Sveučilište u Splitu

- [6] HRN EN 1991-1-1:2012 EC1: Opća djelovanja – Dio 1-1: Obujamske težine, vlastite težine i uporabna opterećenja zgrada

- [7] HRN EN 1991-1-3:2012 EC1: Opća djelovanja – Dio 1-3: Opterećenja snijegom

- [8] HRN EN 1991-1-4:2012 EC1: Opća djelovanja – Dio 1-4: Djelovanja vjetra

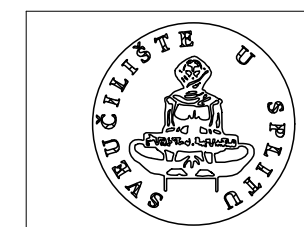
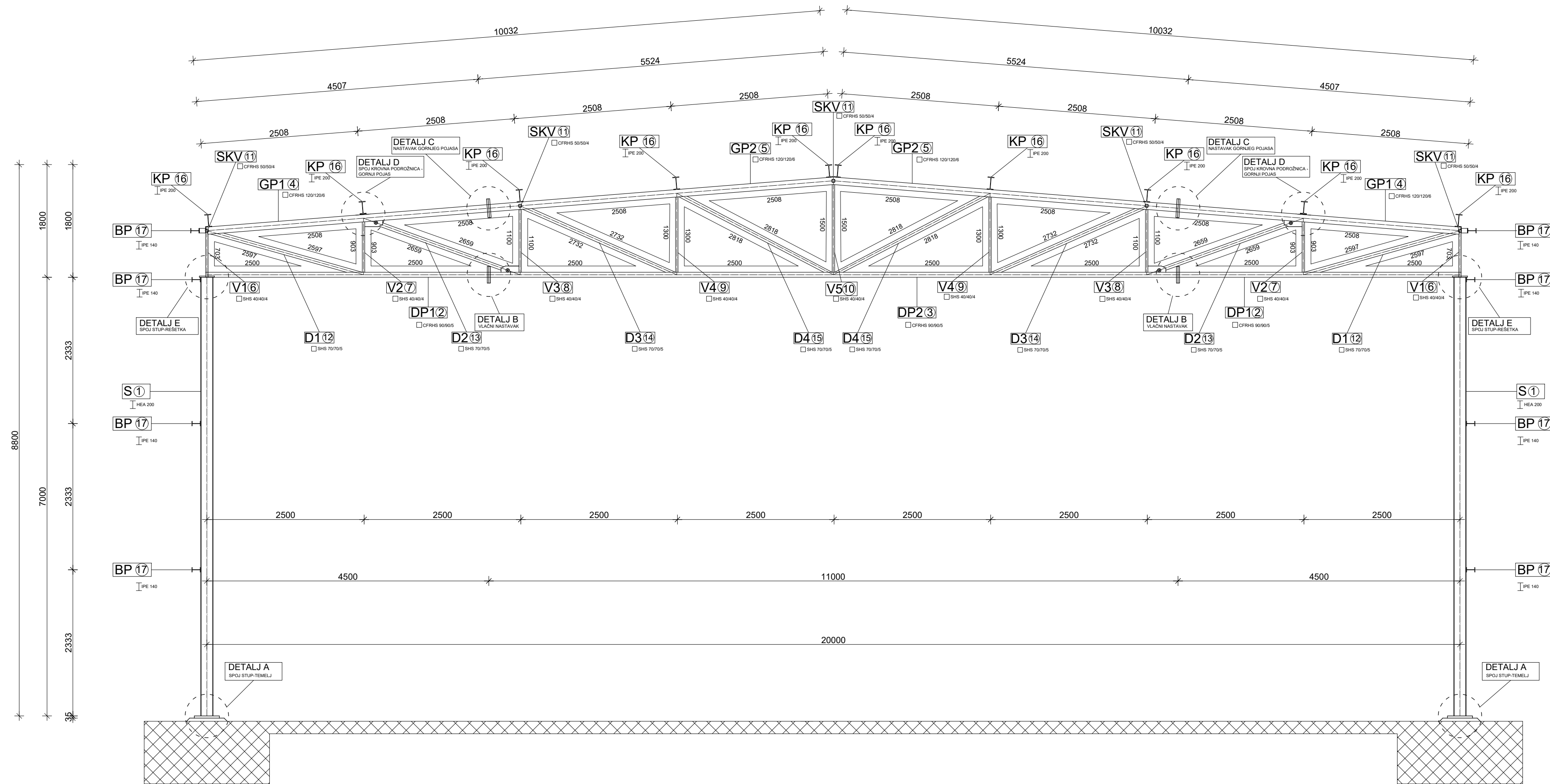
- [9] HRN EN 1993-1-1:2014 EC3: Projektiranje čeličnih konstrukcija – Dio 1-1: Opća pravila i pravila za zgrade



8. NACRTI

PRESJEK KROZ GLAVNI OKVIR

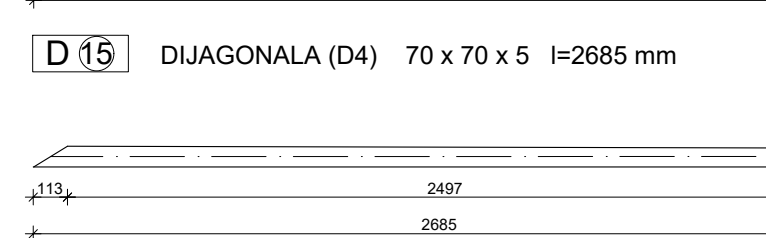
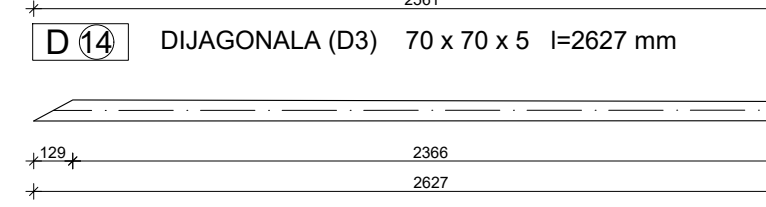
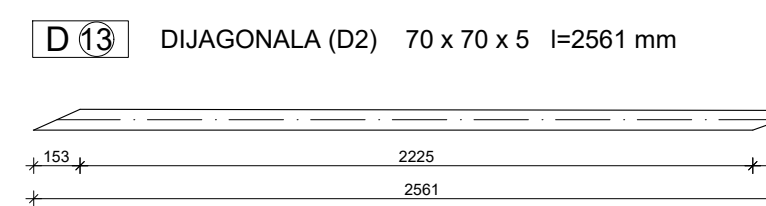
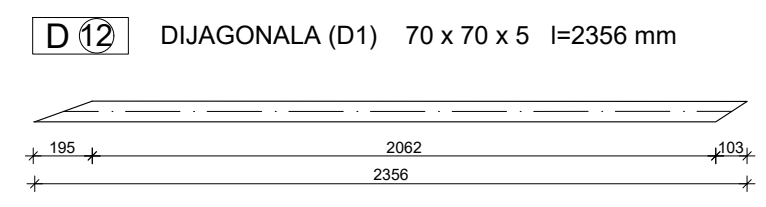
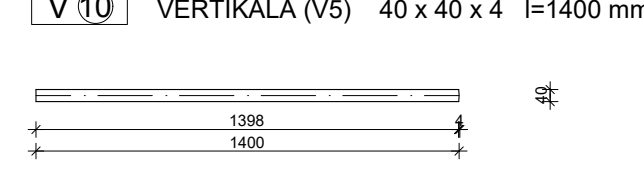
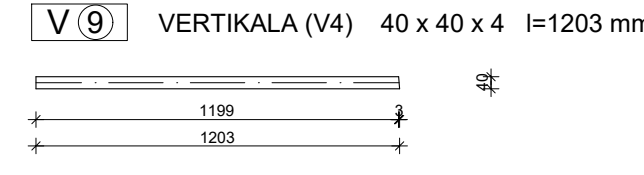
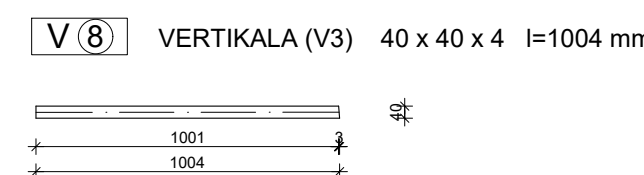
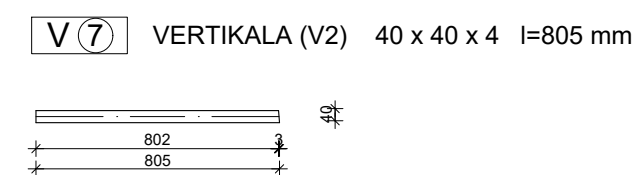
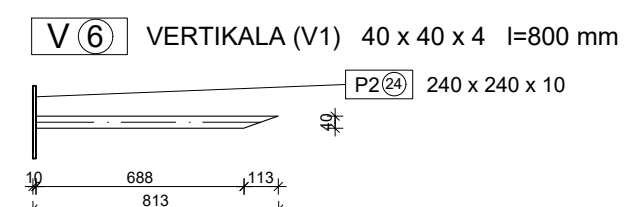
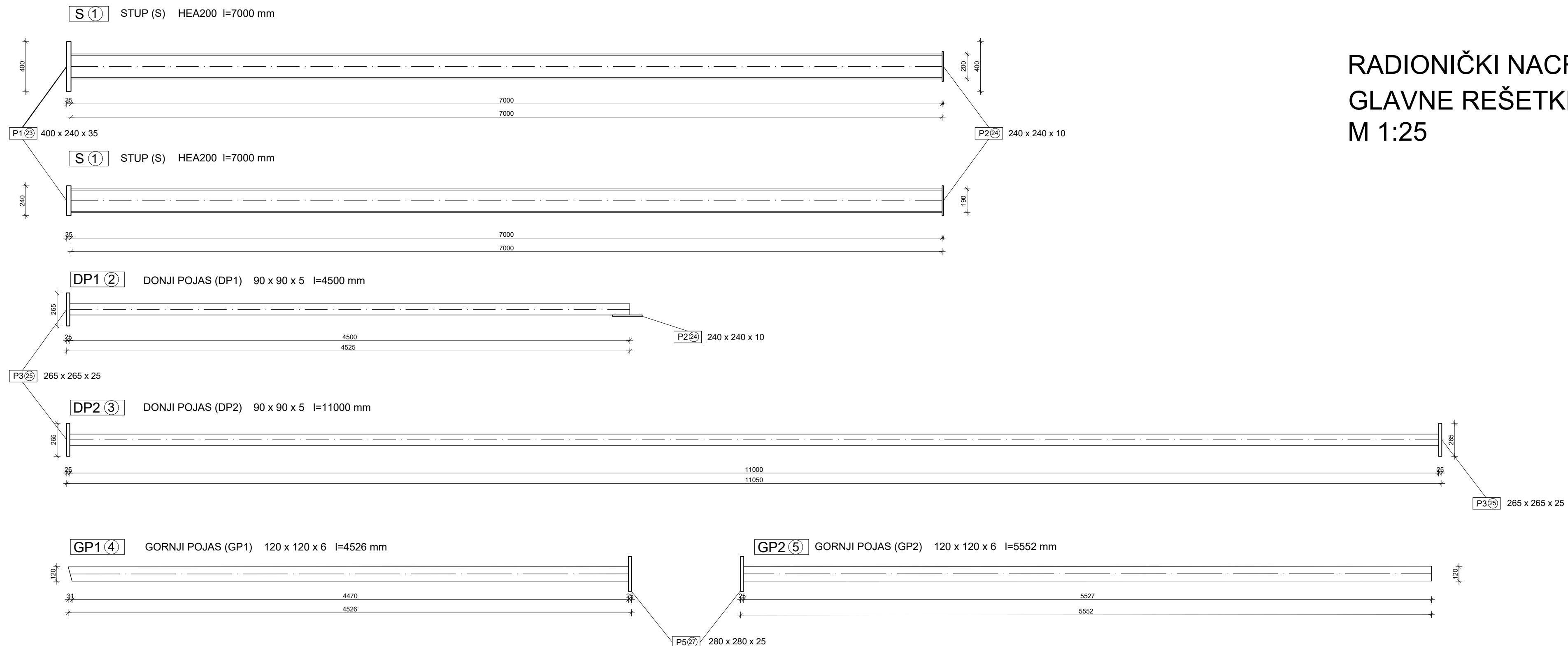
M 1:50



SVEUČILIŠTE U SPLITU,
FAKULTET GRAĐEVINARSTVA
ARHITEKTURE I GEODEZIJE
21000 SPLIT, MATICE HRVATSKE 15

| | | |
|---|---------------------|--------------|
| OSNOVE METALNIH KONSTRUKCIJA | | |
| PROJEKTIRANJE I DIMENZIONIRANJE METALNE HALE | | |
| STUDENT: NATALI RADIĆ | PREDMETNI NASTAVNIK | IVICA BOKO |
| | ASISTENT | MARKO GORETA |
| SADRŽAJ: PRESJEK KROZ GLAVI OKVIR | MJERILO: 1 : 50 | |
| DATUM: 09.06.2024. | PRILOG: 2 | |

RADIONIČKI NACRT GLAVNE REŠETKE I STUPA M 1:25



| Pozicija | Element | Poprečni presjek | Površina(mm ²) | Duljina (mm) | Masa (kg/m ³) | Broj komada | Masa (kg) |
|----------|---------|------------------|----------------------------|--------------|---------------------------|-------------|--------------------|
| 1 | S | HEA 200 | 10599 | 7000 | 42,3 | 22 | 6514,20 |
| 2 | DP1 | CFRHS 90/90/5 | 1670 | 4500 | 13,1 | 22 | 1296,90 |
| 3 | DP2 | CFRHS 90/90/5 | 1670 | 11000 | 13,1 | 11 | 1585,10 |
| 4 | GP1 | CFRHS 120/120/6 | 2700 | 4526 | 21,2 | 22 | 2110,93 |
| 5 | GP2 | CFRHS 120/120/6 | 2700 | 5552 | 21,2 | 22 | 2589,45 |
| 6 | V1 | SHS 40/40/4 | 559 | 813 | 4,39 | 22 | 78,52 |
| 7 | V2 | SHS 40/40/4 | 559 | 805 | 4,39 | 22 | 82,09 |
| 8 | V3 | SHS 40/40/4 | 559 | 1004 | 4,39 | 22 | 96,97 |
| 9 | V4 | SHS 40/40/4 | 559 | 1203 | 4,39 | 22 | 116,19 |
| 10 | V5 | SHS 40/40/4 | 559 | 1400 | 4,39 | 22 | 135,21 |
| 12 | D1 | SHS 70/70/5 | 1270 | 2356 | 9,99 | 22 | 517,80 |
| 13 | D2 | SHS 70/70/5 | 1270 | 2561 | 9,99 | 22 | 562,86 |
| 14 | D3 | SHS 70/70/5 | 1270 | 2627 | 9,99 | 22 | 577,36 |
| 15 | D4 | SHS 70/70/5 | 1270 | 2685 | 9,99 | 22 | 590,11 |
| | | | | | | | Σ= 16856,69 |

Svi elementi su klase čelika S235



SVEUČILIŠTE U SPLITU,
FAKULTET GRAĐEVINARSTVA
ARHITEKTURE I GEODEZIJE
21000 SPLIT, MATICE HRVATSKE 15

OSNOVE METALNIH KONSTRUKCIJA

PROJEKTIRANJE I DIMENZIONIRANJE
METALNE HALE

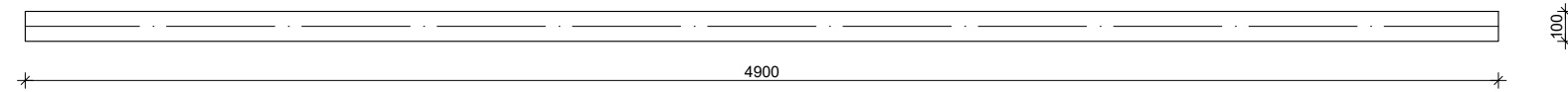
STUDENT: NATALI RADIĆ
PREDMETNI NASTAVNIK: IVICA BOKO
ASISTENT: MARKO GORETA

SADRŽAJ: RADIONIČKI NACRT GLAVNE REŠETKE I STUPA
MJERILO: 1 : 25

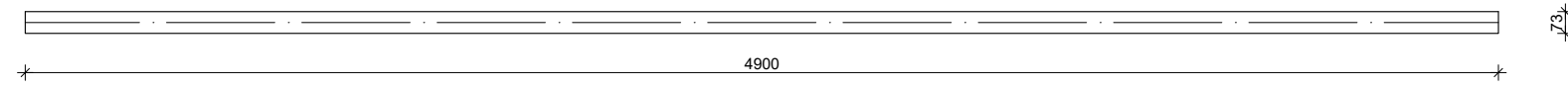
DATUM: 09.06.2024.
PRILOG: **3**

RADIONIČKI NACRT SEKUNDARNE KONSTRUKCIJE M 1:25

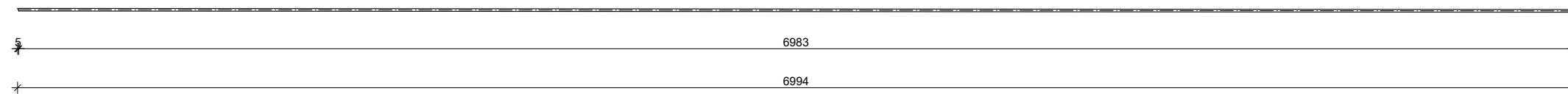
KP 16 KROVNA PODROŽNICA (KP) IPE 200 L=4900 mm



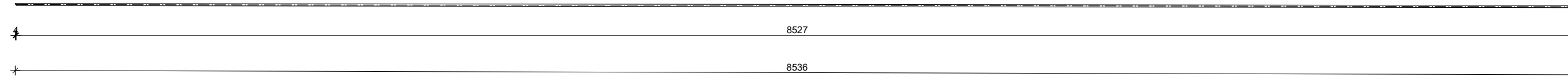
BP 17 BOČNA PODROŽNICA (BP) IPE 140 L=4900 mm



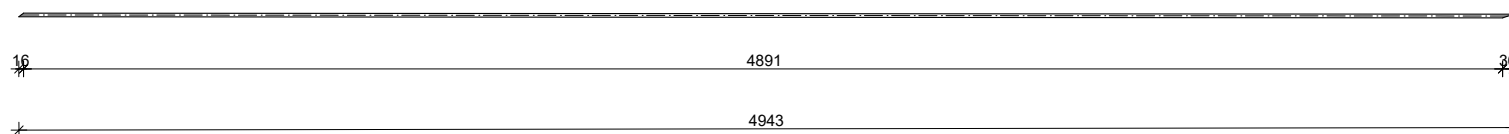
SKD 18 KROVNI SPREGOVI DIJAGONALE (SKD) RND12 L=6994 mm



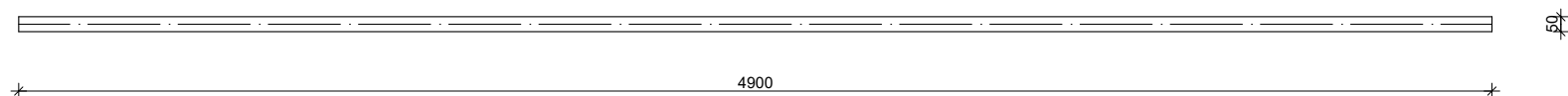
SB1 19 BOČNI SPREGOVI(SB1) RND12 L=8536 mm



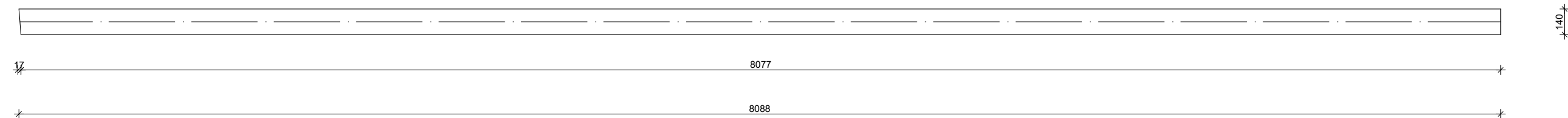
SB2 20 BOČNI SPREGOVI(SB2) RD12 L=4943 mm



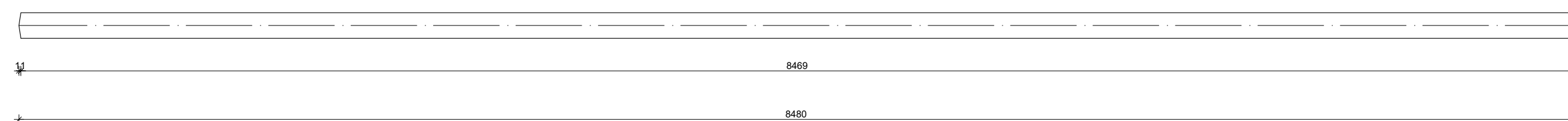
SKV 11 KROVNI SPREGOVI VERTIKALE (SKV) CFRHS 50 x 50 x 4 L=4900 mm



ZS1 21 ZABATNI STUP(ZS1) HEA140 L=8088 mm



ZS2 22 ZABATNI STUP(ZS2) HEA140 L=8480 mm

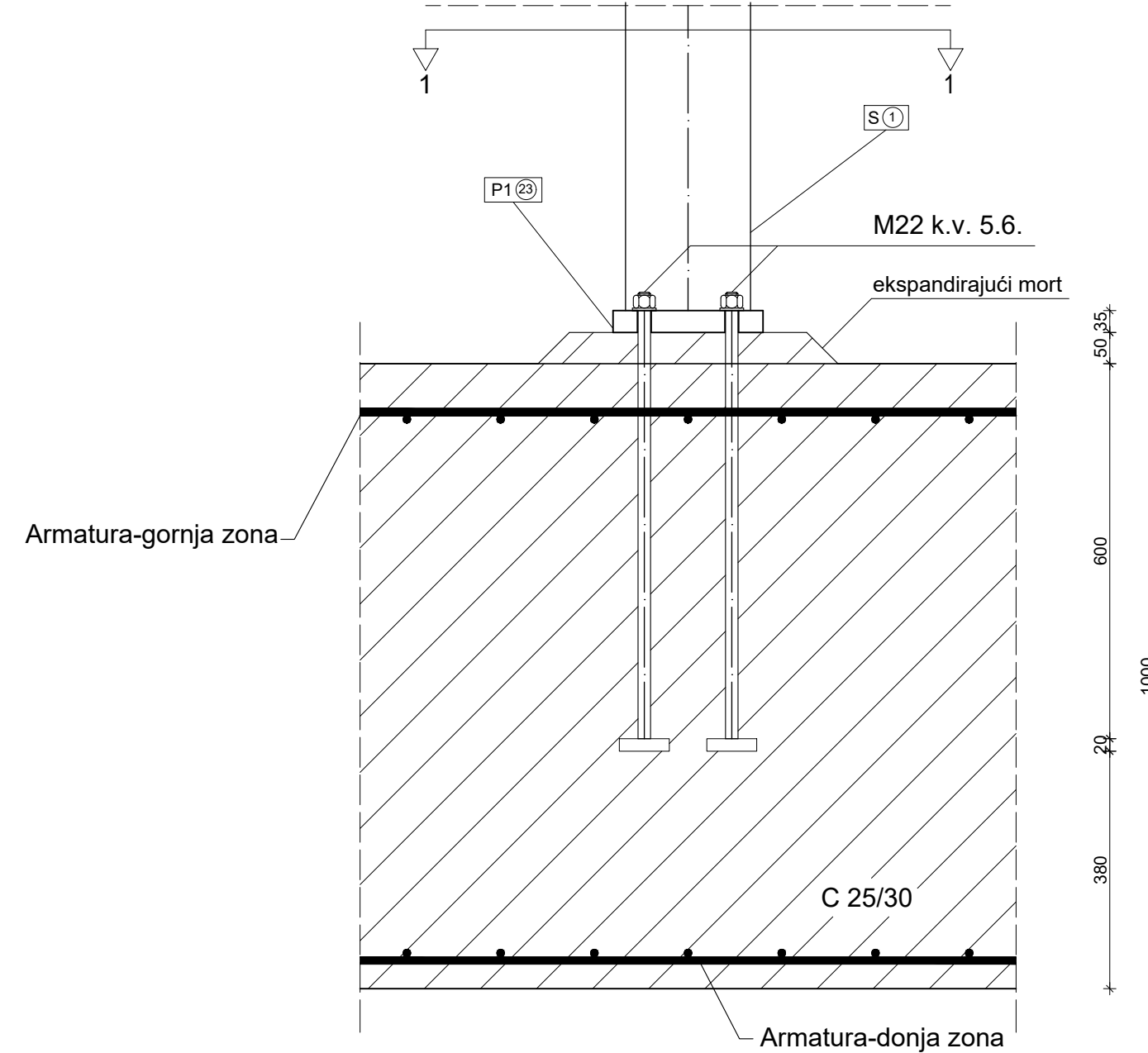
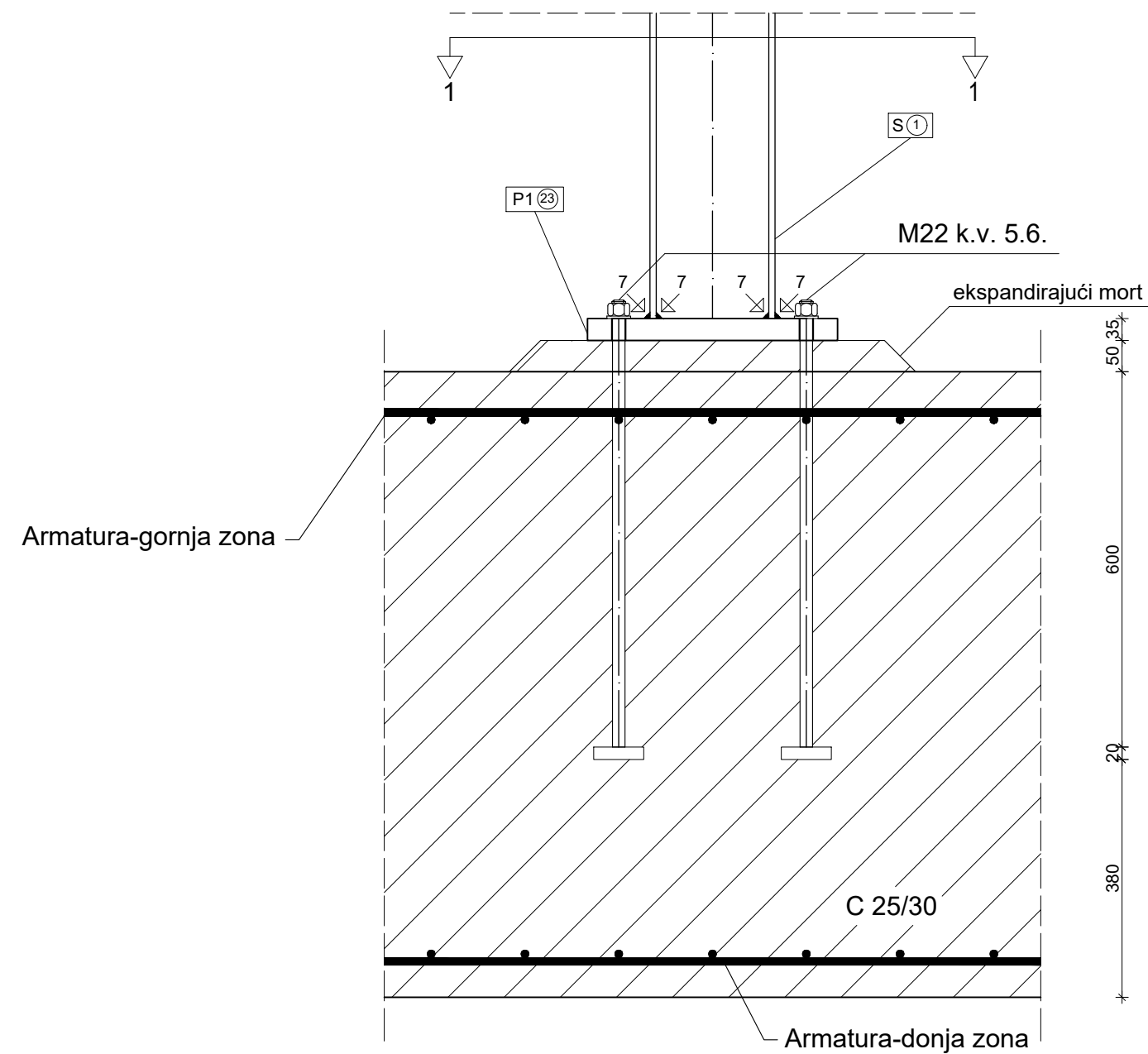


| Pozicija | Element | Poprečni presjek | Površina(mm ²) | Duljina (mm) | Masa (kg/m ¹) | Broj komada | Masa (kg) |
|----------|---------|------------------|----------------------------|--------------|---------------------------|-------------|--------------------|
| 16 | KP | IPE 200 | 2848 | 4900 | 22,4 | 110 | 12073,6 |
| 17 | BP | IPE 140 | 1643 | 4900 | 12,9 | 80 | 5056,8 |
| 18 | SKD | RND12 | 113,02 | 6994 | 0,89 | 16 | 99,60 |
| 19 | SB1 | RND12 | 113,02 | 8536 | 0,89 | 8 | 60,78 |
| 20 | SB2 | RND12 | 113,02 | 4943 | 0,89 | 8 | 35,19 |
| 11 | SKV | CFRHS 50X50X4 | 6950 | 4900 | 5,5 | 20 | 539,00 |
| 21 | Z1 | HEA140 | 3140 | 8088 | 24,7 | 4 | 799,09 |
| 22 | Z2 | HEA140 | 3140 | 8480 | 24,7 | 2 | 418,91 |
| | | | | | | | Σ= 19054,08 |

Svi elementi su klase čelika S235

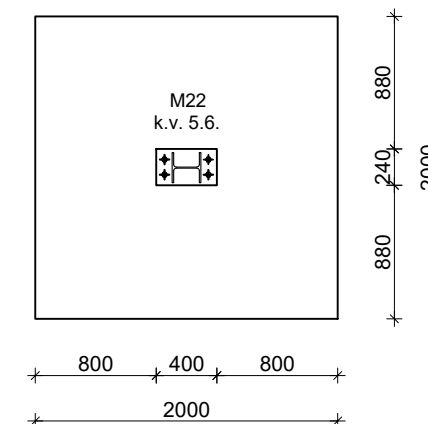
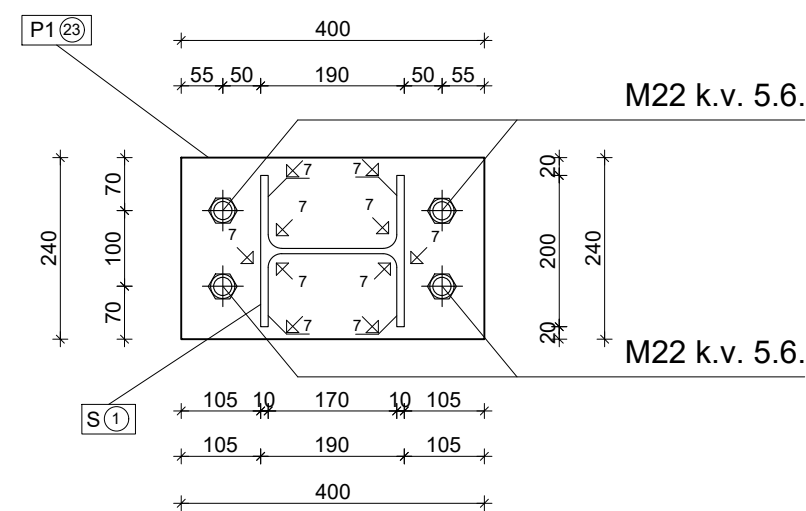
| | | | |
|--|---|--------------|--|
|  <p>SVEUČILIŠTE U SPLITU, FAKULTET GRAĐEVINARSTVA ARHITEKTURE I GEODEZIJE 21000 SPLIT, MATICE HRVATSKE 15</p> | OSNOVE METALNIH KONSTRUKCIJA | | |
| | PROJEKTIRANJE I DIMENZIONIRANJE METALNE HALE | | |
| STUDENT: NATALI RADIĆ | PREDMETNI NASTAVNIK | IVICA BOKO | |
| | ASISTENT | MARKO GORETA | |
| SADRŽAJ: RADIONIČKI NACRT SEKUNDARNE KONSTRUKCIJE | MJERILO: 1 : 25 | | |
| DATUM: 09.06.2024. | PRILOG: 4 | | |

DETALJ "A" SPOJ STUP - TEMELJ M 1:10



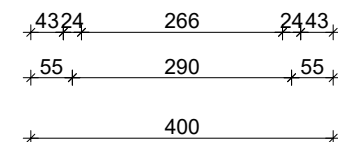
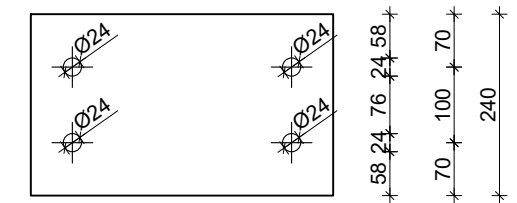
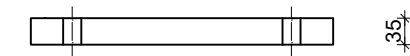
PRESJEK 1-1

TLOCRT TEMELJA
M 1:50



PLOČICA

P1 (23) 400/240/35 S235



SVEUČILIŠTE U SPLITU,
FAKULTET GRAĐEVINARSTVA
ARHITEKTURE I GEODEZIJE
21000 SPLIT, MATICE HRVATSKE 15

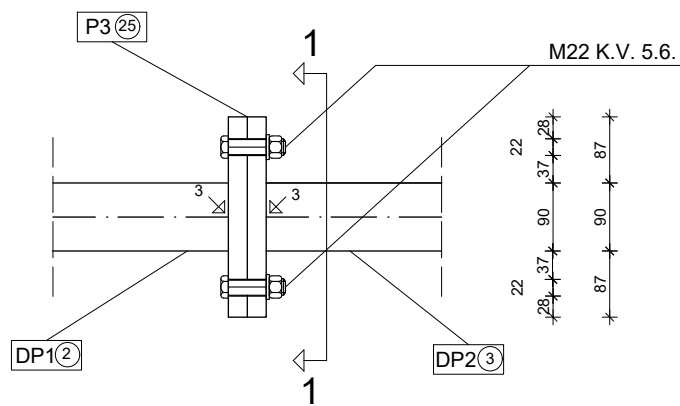
OSNOVE METALNIH KONSTRUKCIJA

PROJEKTIRANJE I DIMENZIONIRANJE METALNE HALE

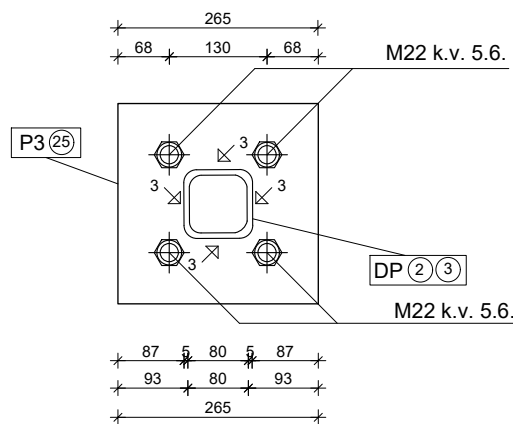
| | | |
|--|------------------------------------|----------------------------|
| STUDENT: NATALI RADIĆ | PREDMETNI NASTAVNIK ASISTENT | IVICA BOKO MARKO GORETA |
| SADRŽAJ: DETALJ "A" SPOJ STUP - TEMELJ | MJERILO: 1 : 10 | |
| DATUM: 09.06.2024. | PRILOG: 5 | |

DETALJ "B" VLAČNI NASTAVAK REŠETKE

M 1:10

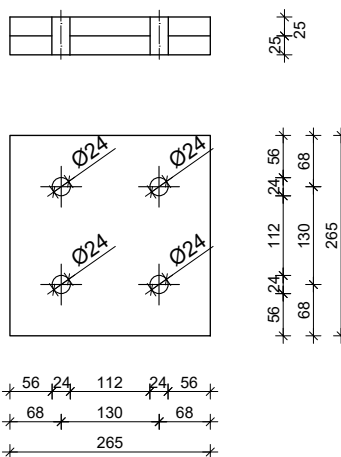


PRESJEK 1-1



PLOČICA

P3 (25) 265/265/25 S235



SVEUČILIŠTE U SPLITU,
FAKULTET GRAĐEVINARSTVA
ARHITEKTURE I GEODEZIJE
21000 SPLIT, MATICE HRVATSKE 15

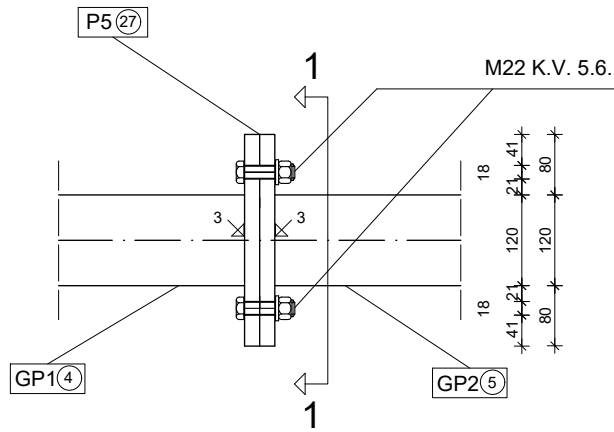
OSNOVE METALNIH KONSTRUKCIJA

PROJEKTIRANJE I DIMENZIONIRANJE METALNE HALE

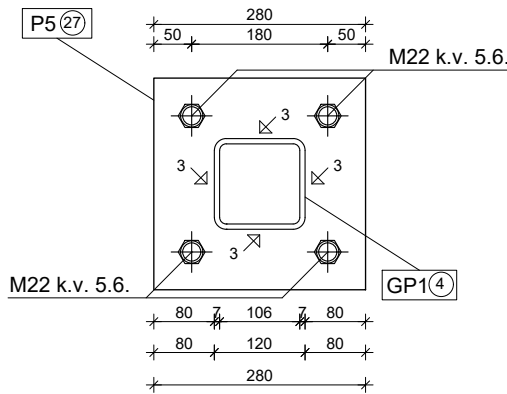
| | | |
|---|------------------------|-----------------|
| STUDENT: NATALI RADIĆ | PREDMETNI NASTAVNIK | IVICA BOKO |
| | ASISTENT | MARKO GORETA |
| SADRŽAJ: DETALJ "B" VLAČNI NASTAVAK REŠETKE | | MJERILO: 1 : 10 |
| DATUM: 09.06.2024. | | PRILOG: 6 |

DETALJ "C" NASTAVAK GORNJEG POJASA

M 1:10

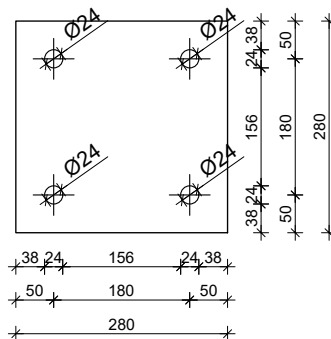
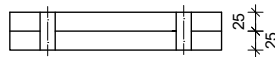


PRESJEK 1-1



PLOČICA

P5 (27) 280/280/25 S235



SVEUČILIŠTE U SPLITU,
FAKULTET GRAĐEVINARSTVA
ARHITEKTURE I GEODEZIJE
21000 SPLIT, MATICE HRVATSKE 15

OSNOVE METALNIH KONSTRUKCIJA

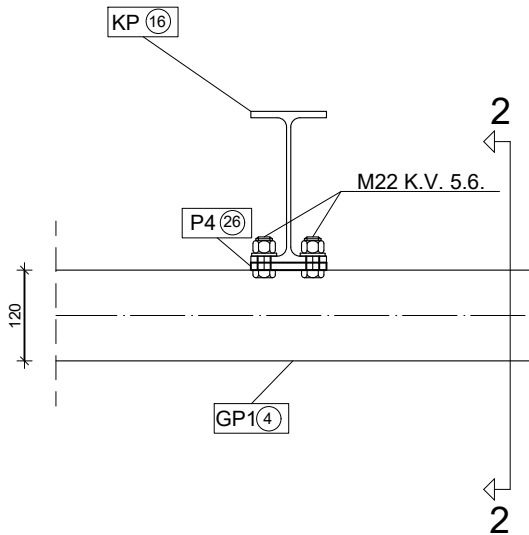
PROJEKTIRANJE I DIMENZIONIRANJE METALNE HALE

| | | |
|--|------------------------|--------------|
| STUDENTI: NATALI RADIĆ | PREDMETNI NASTAVNIK | IVICA BOKO |
| | ASISTENT | MARKO GORETA |
| SADRŽAJ: DETALJ "C" NASTAVAK GORNJEG POJASA | MJERILO: 1 : 10 | |
| DATUM: 09.06.2024. | PRILOG: 7 | |

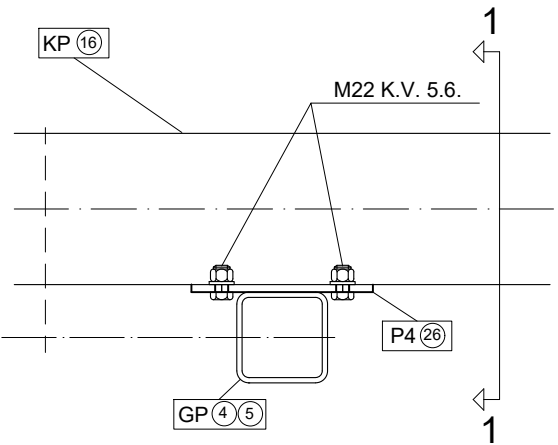
DETALJ "D" SPOJ KROVNA PODROŽNICA - GORNJI POJAS

M 1:10

PRESJEK 1-1

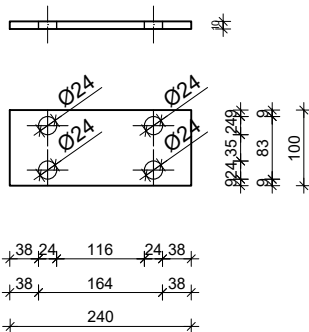


PRESJEK 2-2



PLOČICA

P4 (26) 240/100/10 S235

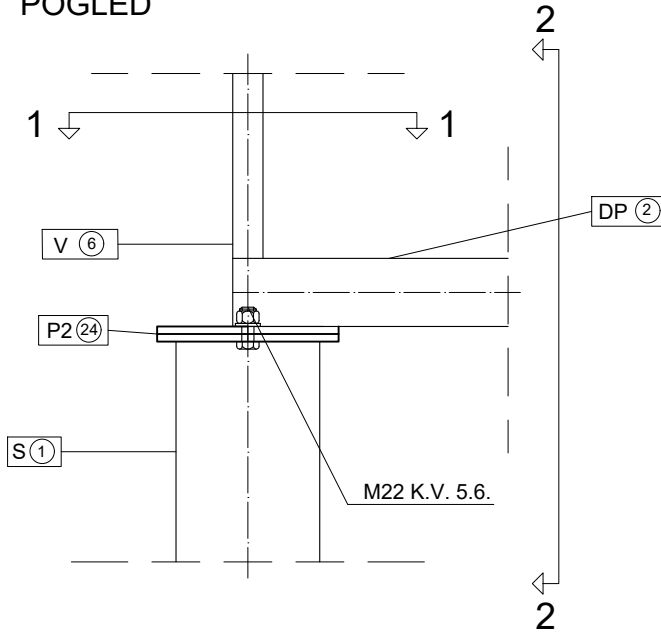


| | | |
|--|---|------------------|
|  <p>SVEUČILIŠTE U SPLITU, FAKULTET GRAĐEVINARSTVA ARHITEKTURE I GEODEZIJE 21000 SPLIT, MATICE HRVATSKE 15</p> | OSNOVE METALNIH KONSTRUKCIJA | |
| | PROJEKTIRANJE I DIMENZIONIRANJE METALNE HALE | |
| STUDENTI: NATALI RADIĆ | PREDMETNI NASTAVNIK | IVICA BOKO |
| | ASISTENT | MARKO GORETA |
| SADRŽAJ: DETALJ "D" SPOJ KROVNA PODROŽNICA - GORNJI POJAS | | MJERILO: 1 : 10 |
| DATUM: 09.06.2024. | | PRILOG: 8 |

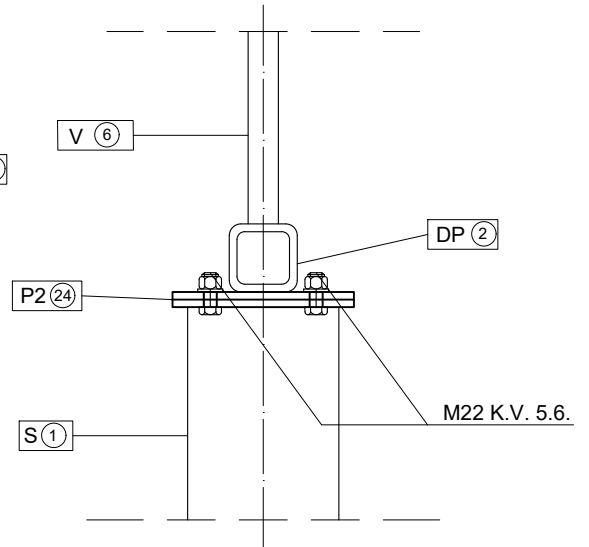
DETALJ "E" ZGLOBNI SPOJ STUP - REŠETKA

M 1:10

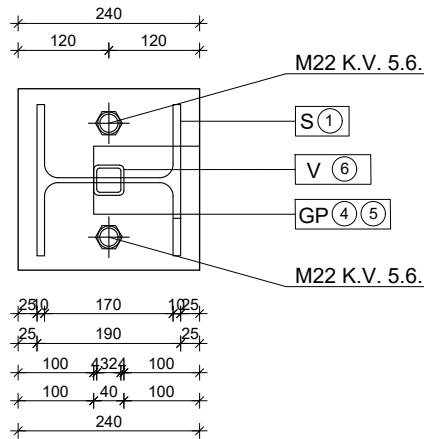
POGLED



PRESJEK 2-2

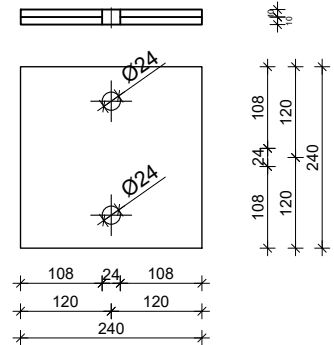


PRESJEK 1-1



PLOČICA

P2 (24) 240/240/10 S235



OSNOVE METALNIH KONSTRUKCIJA

PROJEKTIRANJE I DIMENZIONIRANJE METALNE HALE

| | | |
|--|------------------------|-----------------|
| STUDENTI: NATALI RADIĆ | PREDMETNI NASTAVNIK | IVICA BOKO |
| | ASISTENT | MARKO GORETA |
| SADRŽAJ: DETALJ "E" ZGLOBNI SPOJ STUP - REŠETKA | | MJERILO: 1 : 10 |
| DATUM: 09.06.2024. | | PRILOG: 9 |

KONAČNI ISKAZ MATERIJALA

M 1:10

| Poz. | Element | Poprečni presjek | Površina(mm ²) | Duljina (mm) | Masa (kg/m') | Broj komada | Masa (kg) | |
|------|--------------------------------|------------------|----------------------------|--------------|--------------|-------------|-----------|-------------------------|
| 1 | S | HEA 200 | 10599 | 7000 | 42,3 | 22 | 6514,20 | |
| 2 | DP1 | CFRHS 90/90/5 | 1670 | 4500 | 13,1 | 22 | 1296,90 | |
| 3 | DP2 | CFRHS 90/90/5 | 1670 | 11000 | 13,1 | 11 | 1585,10 | |
| 4 | GP1 | CFRHS 120/120/6 | 2700 | 4526 | 21,2 | 22 | 2110,93 | |
| 5 | GP2 | CFRHS 120/120/6 | 2700 | 5552 | 21,2 | 22 | 2589,45 | |
| 6 | V1 | SHS 40/40/4 | 559 | 813 | 4,39 | 22 | 78,52 | |
| 7 | V2 | SHS 40/40/4 | 559 | 805 | 4,39 | 22 | 82,09 | |
| 8 | V3 | SHS 40/40/4 | 559 | 1004 | 4,39 | 22 | 96,97 | |
| 9 | V4 | SHS 40/40/4 | 559 | 1203 | 4,39 | 22 | 116,19 | |
| 10 | V5 | SHS 40/40/4 | 559 | 1400 | 4,39 | 22 | 135,21 | |
| 11 | SKV | CFRHS 50/50/4 | 6950 | 4900 | 5,5 | 20 | 539,00 | |
| 12 | D1 | SHS 70/70/5 | 1270 | 2356 | 9,99 | 22 | 517,80 | |
| 13 | D2 | SHS 70/70/5 | 1270 | 2561 | 9,99 | 22 | 562,86 | |
| 14 | D3 | SHS 70/70/5 | 1270 | 2627 | 9,99 | 22 | 577,36 | |
| 15 | D4 | SHS 70/70/5 | 1270 | 2685 | 9,99 | 22 | 590,11 | |
| 16 | KP | IPE 200 | 2848 | 4900 | 22,4 | 110 | 12073,6 | |
| 17 | BP | IPE 140 | 1643 | 4900 | 12,9 | 80 | 5056,8 | |
| 18 | SKD | RD12 | 113,02 | 6994 | 0,89 | 16 | 99,60 | |
| 19 | SB1 | RD12 | 113,02 | 8536 | 0,89 | 8 | 60,78 | |
| 20 | SB2 | RD12 | 113,02 | 4943 | 0,89 | 8 | 35,19 | |
| 21 | ZS1 | HEA140 | 3140 | 8088 | 24,7 | 4 | 799,09 | |
| 22 | ZS2 | HEA140 | 3140 | 8480 | 24,7 | 2 | 418,91 | |
| | Pločice | Dimenzije (mm) | | | | | | |
| 23 | P1 | 400 x 240 x 35 | | | | | 22 | 580,27 |
| 24 | P2 | 240 x 240 x 10 | | | | | 44 | 189,95 |
| 25 | P3 | 265 x 265 x 25 | | | | | 44 | 606,39 |
| 26 | P4 | 240 x 100 x 10 | | | | | 110 | 207,24 |
| 27 | P5 | 280 x 280 x 25 | | | | | 44 | 676,98 |
| | Σ | | | | | | | 38197,46 |
| | SPOJNA SREDSTVA + 2% | | | | | | | 736,95 |
| | UKUPNA MASA KONSTRUKCIJE | | | | | | | 38934,41 |
| | TLOCRTNA POVRŠINA KONSTRUKCIJE | | | | | | | 980 m ² |
| | UKUPNO (kg / m ²) | | | | | | | 39,73 kg/m ² |



SVEUČILIŠTE U SPLITU,
FAKULTET GRAĐEVINARSTVA
ARHITEKTURE I GEODEZIJE
21000 SPLIT, MATICE HRVATSKE 15

OSNOVE METALNIH KONSTRUKCIJA

PROJEKTIRANJE I DIMENZIONIRANJE
METALNE HALE

STUDENTI: NATALI RADIĆ

PREDMETNI
NASTAVNIK

IVICA BOKO

ASISTENT

MARKO GORETA

SADRŽAJ: KONAČNI ISKAZ MATERIJALA

DATUM: 09.06.2024.

MJERILO: 1 : 10

PRILOG: 10